

矩阵积分与可积系统

(学习笔记) 0.97 版

曲豆豆 整理

2024 年 10 月 2 日



图: 曲豆豆穿上博士服, 就好像真的是博士一样.

目录

1	矩阵积分	4
1.1	Virasoro 约束	4
1.2	特征值表示, 正规矩阵模型	8
1.3	随机矩阵, 行列式表示	13
1.4	积分核, 特征值联合密度, Dyson 公式	15
2	正交多项式	20
2.1	Heine 公式与 Hankel 行列式公式	22
2.2	三项递推关系	25
2.3	Christoffel-Darboux 公式	29
2.4	微分递推关系, 弦方程	33
2.5	例子: Hermite 多项式	36
3	Toda 方程簇及其约化	41
3.1	经典 Toda 链	41
3.2	Toda 方程簇与正交多项式	46
3.3	平移算子表示, tau 函数	50
3.4	Volterra 方程簇与无色散 KdV 方程簇	54
4	Riemann-Hilbert 问题	58
4.1	折叠矩阵, 微分-差分-形变系统	59
4.2	三项递推矩阵的逆	63
4.3	正交多项式的 Hilbert 变换	66
4.4	等单值性与 Riemann-Hilbert 问题	73
4.5	零曲率方程, 谱曲线	76

4.6	等单值 τ 函数	81
4.7	附录: 定理 4.21 的证明	84
5	KP 方程簇与 Hirota 双线性方程	88
5.1	正交多项式的 Sato 公式	89
5.2	双线性方程	90
5.3	Hirota 导数与 KP 方程	92

1. 矩阵积分

矩阵模型在弦论、拓扑学 (纽结理论)、数论、可积系统, 乃至无线通信、晶体生长等众多数学物理领域中都有重要应用. 笔者希望尽快熟悉矩阵模型与可积系统之间的关系, 故整理此学习笔记.

1.1 Virasoro 约束

给定正整数 N , 记 **1-矩阵模型的配分函数**

$$\mathcal{Z}_N(\mathbf{t}) := \int_{\mathbb{R}^{N \times N}} \mathbf{e}^{\sum_{k=0}^{\infty} t_k \text{tr}(H^k)} \mathrm{d}H, \quad (1.1)$$

在这里, 积分变量 H 取遍所有 $N \times N$ 实方阵, 体积元 $\mathrm{d}H := \prod_{i,j=1}^n \mathrm{d}H_{ij}$, 而 $\mathbf{t} = (t_0, t_1, \dots)$ 为无穷多个形式变元, 视为 \mathcal{Z}_N 的自变量.

(1.1) 右边的积分为形式上的 N^2 -重积分, 我们暂不考虑其收敛性. 一般来说, 在常见的矩阵模型里, 积分变量 H 的积分区域往往是全体厄米特矩阵、全体酉矩阵或者全体正交矩阵之类的, 不过在这里为了省事, 姑且假装积分区域为全体 $N \times N$ 实矩阵; 而被积函数也可以更复杂, 我们这里所考虑的是某种意义上最简单的情形.

我们来研究配分函数(1.1)的基本性质.

习题 1.1.(关联函数, n -点函数) 记号承上, 给定 $n \geq 0$, 以及 $a_1, a_2, \dots, a_n \geq 0$, 记关联函数

$$\begin{aligned} & \langle \text{tr}(H^{a_1}) \text{tr}(H^{a_2}) \cdots \text{tr}(H^{a_n}) \rangle \\ &:= \int_{\mathbb{R}^{N \times N}} \text{tr}(H^{a_1}) \text{tr}(H^{a_2}) \cdots \text{tr}(H^{a_n}) \mathbf{e}^{\sum_{k=0}^{\infty} t_k \text{tr}(H^k)} \mathrm{d}H, \end{aligned} \quad (1.2)$$

则如下等式成立:

$$\langle \text{tr}(H^{a_1}) \text{tr}(H^{a_2}) \cdots \text{tr}(H^{a_n}) \rangle = \frac{\partial^n \mathcal{Z}_N(\mathbf{t})}{\partial t_{a_1} \cdots \partial t_{a_n}}. \quad (1.3)$$

证明. 直接求导验证即可. □

关联函数(1.2)也俗称 **n -点函数**. 当然众所周知, 配分函数、关联函数这些名词都来自于各种理论物理.

(1.1)的右边即使再怪异, 也不过是一个 N^2 -重积分. 既然是重积分, 就可以**换元积分**, 并且有连工科生都知道的“换元要乘雅可比”. 然而一般工科生不知道的是, 换元可以看作一种**对称**, 而对称性蕴含**守恒律**, 而守恒律就比较深刻了.

一般的变量代换形如

$$H \mapsto \tilde{H} := f(H),$$

其中 f 是关于矩阵 H 的矩阵值函数. 我们考虑一类连续变换, 即假装 $H \mapsto f(H)$ 是由恒等变换 $H \mapsto H$ “连续地”形变而来. 于是自然会考虑这族变换的**无穷小生成元**, 其通常形如

$$H \mapsto H + \varepsilon \sum_{k=0}^{\infty} a_k H^k,$$

这里的形式变元 ε 视为无穷小量, a_k 为常数. 上述无穷小变换构成的线性空间具有如下的一组“基”:

$$H \mapsto \tilde{H} := H + \varepsilon H^{n+1}, \quad n = -1, 0, 1, 2, \dots, \quad (1.4)$$

或者用更物理一些的写法: $\delta H = \varepsilon H^{n+1}$.

给定整数 $n \geq -1$, 我们对配分函数(1.1)的右边作换元积分(1.4), 看看会发生什么事情. 首先我们有

$$\begin{aligned}
 \mathcal{Z}_N(\mathbf{t}) &= \int_{\mathbb{R}^{N \times N}} \mathbf{e}^{\sum_{k=0}^{\infty} t_k \text{tr}(\tilde{H}^k)} d\tilde{H} = \int_{\mathbb{R}^{N \times N}} \mathbf{e}^{\sum_{k=0}^{\infty} t_k \text{tr}[(H + \varepsilon H^{n+1})^k]} d\tilde{H} \\
 &= \int_{\mathbb{R}^{N \times N}} \mathbf{e}^{\sum_{k=0}^{\infty} t_k \text{tr}(H^k)} \prod_{k=0}^{\infty} (1 + \varepsilon k t_k \text{tr}(H^{n+k}) + o(\varepsilon)) d\tilde{H} \\
 &= \int_{\mathbb{R}^{N \times N}} \mathbf{e}^{\sum_{k=0}^{\infty} t_k \text{tr}(H^k)} \left(1 + \varepsilon \sum_{k=0}^{\infty} k t_k \text{tr}(H^{n+k}) + o(\varepsilon) \right) d\tilde{H} \quad (1.5)
 \end{aligned}$$

原则上我们只需要把上式右边展开至关于 ε 的 1 阶小量. 接下来的一个关键的技术性问题是, 如何处理体积元 $d\tilde{H}$.

引理 1.2. 记号承上, 对于变量代换 $\tilde{H} = H + \varepsilon H^{n+1}$, 成立

$$d\tilde{H} = \left(1 + \varepsilon \sum_{s=0}^n \text{tr}(H^s) \text{tr}(H^{n-s}) + o(\varepsilon) \right) dH. \quad (1.6)$$

证明. 无非就是去计算相应雅可比矩阵 \mathbf{J} 的行列式, 只不过这个雅可比矩阵 \mathbf{J} 的尺寸是 $N^2 \times N^2$. 对于 $1 \leq i, j, k, \ell \leq N$, 雅可比矩阵 \mathbf{J} 的 $(ij, k\ell)$ -矩阵元为

$$\begin{aligned}
 \frac{\partial \tilde{H}_{ij}}{\partial H_{k\ell}} &= \left(\frac{\partial \tilde{H}}{\partial H_{k\ell}} \right)_{ij} = \left(\frac{\partial H}{\partial H_{k\ell}} + \varepsilon \frac{\partial H^{n+1}}{\partial H_{k\ell}} \right)_{ij} \\
 &= \left(\frac{\partial H}{\partial H_{k\ell}} + \varepsilon \sum_{s=0}^n H^s \frac{\partial H}{\partial H_{k\ell}} H^{n-s} \right)_{ij} \\
 &= \delta_{k\ell, ij} + \varepsilon \sum_{s=0}^n (H^s)_{ik} (H^{n-s})_{\ell j}.
 \end{aligned}$$

注意对任意 N^2 阶方阵 \mathbf{X} , 有众所周知的等式

$$\det(\mathbf{I} + \varepsilon \mathbf{X}) = 1 + \varepsilon \operatorname{tr}(\mathbf{X}) + o(\varepsilon),$$

其中 \mathbf{I} 为单位矩阵. 利用此式立刻得到

$$\begin{aligned} \det \mathbf{J} &= 1 + \varepsilon \sum_{s=0}^n \sum_{i,j=1}^N (H^s)_{ii} (H^{n-s})_{jj} + o(\varepsilon) \\ &= 1 + \varepsilon \sum_{s=0}^n \operatorname{tr}(H^s) \operatorname{tr}(H^{n-s}) + o(\varepsilon), \end{aligned}$$

从而命题得证. □

妥善处理体积元 $d\tilde{H}$ 之后继续前进, 就能得到本节主要结果:

定理 1.3. (*Virasoro* 约束). 记号承上, 则对任意整数 $n \geq -1$, 配分函数(1.1)满足如下 *Virasoro* 约束:

$$L_n \mathcal{Z}_N(\mathbf{t}) = 0, \quad (1.7)$$

其中二阶线性微分算子

$$L_n := \sum_{s=0}^n \frac{\partial^2}{\partial t_s \partial t_{n-s}} + \sum_{k=0}^{\infty} k t_k \frac{\partial}{\partial t_{n+k}}. \quad (1.8)$$

证明. 将(1.6)代入(1.5), 整理得

$$\begin{aligned} \mathcal{Z}_N(\mathbf{t}) &= \mathcal{Z}_N(\mathbf{t}) + \varepsilon \int_{\mathbb{R}^{N \times N}} \mathbf{e}^{\sum_{k=0}^{\infty} t_k \operatorname{tr}(H^k)} \\ &\quad \times \left(\sum_{k=0}^{\infty} k t_k \operatorname{tr}(H^{n+k}) + \sum_{s=0}^n \operatorname{tr}(H^s) \operatorname{tr}(H^{n-s}) \right) dH + o(\varepsilon). \end{aligned}$$

比较上式两边 ε^1 -项系数, 并注意性质1.1, 即可得证. □

注记 1.4. 线性算子 $\{L_n\}_{n \geq -1}$ 满足如下 **Virasoro** 交换关系

$$[L_n, L_m] = (n - m)L_{n+m}, \quad (1.9)$$

这可以由具体表达式(1.8)暴力验证, 也可以从无穷小变换(1.4)的角度直接看出来.

1.2 特征值表示, 正规矩阵模型

相比上一小节的(1.1), 我们更习惯考虑如下厄米特矩阵模型:

$$\mathcal{Z}_N := \int_{\text{Herm}(N)} e^{-\text{tr} V(H)} dH, \quad (1.10)$$

其中 $\text{Herm}(N) := \{H \in \mathbb{C}^{N \times N} \mid H^\dagger = H\}$ 为 N 阶厄米特矩阵之全体, $V(H)$ 关于 H 的形式幂级数, 例如可以取 $V(H) = \sum_{k=0}^{\infty} t_k H^k$; 而 $\text{Herm}(N)$ 上的勒贝格测度 dH 为

$$dH := \prod_{i=1}^N dH_{ii} \cdot \prod_{j < k} dH_{jk}^{(1)} dH_{jk}^{(2)}, \quad (1.11)$$

其中 $H_{jk}^{(1)}$ 与 $H_{jk}^{(2)}$ 分别为矩阵元 H_{jk} 的实部与虚部.

众所周知, 厄米特矩阵酉相似于实对角阵: 对任意 $H \in \text{Herm}(N)$, 存在酉矩阵 $U \in \text{U}(N)$ 以及实对角阵 $\Lambda = \text{diag}(\lambda_0, \dots, \lambda_{N-1})$ 使得

$$H = U^\dagger \Lambda U. \quad (1.12)$$

此时, 注意到矩阵积分(1.10)的被积函数

$$e^{-\text{tr} V(H)} = e^{-\text{tr}(U^\dagger V(\Lambda) U)} = e^{-\text{tr} V(\Lambda)} = \prod_{i=0}^{N-1} e^{-V(\lambda_i)}$$

只与积分变元 H 的 N 个特征值有关, 故某种意义上说, 为计算 H 取遍全体厄米特矩阵的积分(1.10), 只需要计算让 H 的 N 个特征值取遍 \mathbb{R}^N 的某个 N -重积分. 本小节就来实现这个想法.

我们注意, (1.12)其实给出了如下映射:

$$\begin{aligned} \mathbb{R}^N \times \frac{\mathbf{U}(N)}{\mathbf{U}(1)^N} &\rightarrow \mathbf{Herm}(N) \\ (\Lambda, [U]) &\mapsto U^\dagger \Lambda U, \end{aligned} \quad (1.13)$$

其中

$$\begin{aligned} \mathbb{R}^N &\cong \left\{ \Lambda = \begin{pmatrix} \lambda_0 & & \\ & \ddots & \\ & & \lambda_{N-1} \end{pmatrix} \middle| \lambda_i \in \mathbb{R}, 0 \leq i \leq N-1 \right\}, \\ \mathbf{U}(1)^N &\cong \left\{ \Theta = \begin{pmatrix} e^{i\theta_0} & & \\ & \ddots & \\ & & e^{i\theta_{N-1}} \end{pmatrix} \middle| \theta_i \in \mathbb{R}, 0 \leq i \leq N-1 \right\}, \end{aligned}$$

并且对于 $U \in \mathbf{U}(N)$, $[U] := \{\Theta U \mid \Theta \in \mathbf{U}(1)^N\} \in \frac{\mathbf{U}(N)}{\mathbf{U}(1)^N}$. 容易验证(1.13)是良定的光滑映射, 并且

$$\dim_{\mathbb{R}} \left(\mathbb{R}^N \times \frac{\mathbf{U}(N)}{\mathbf{U}(1)^N} \right) = N^2 = \dim_{\mathbb{R}} \mathbf{Herm}(N).$$

我们将通过此映射来对重积分(1.10)作换元积分.

在(1.10)的右边, 不妨只考虑 H 的特征值两两互异的情况, 这样的 H 构成 $\mathbf{Herm}(N)$ 的一个稠密开集. 再注意 H 的 N 个特征值的顺序, 从而易知

$$\begin{aligned} \mathcal{Z}_N &:= \int_{\mathbf{Herm}(N)} e^{-\text{tr } V(H)} dH \\ &= \frac{1}{N!} \iint_{\mathbb{R}^N \times \frac{\mathbf{U}(N)}{\mathbf{U}(1)^N}} \prod_{k=0}^{N-1} e^{-\text{tr } V(\lambda_k)} \cdot \det \left(\frac{dH}{d\Lambda d[U]} \right) d\Lambda d[U], \end{aligned} \quad (1.14)$$

其中 $d\Lambda = d\lambda_0 \cdots d\lambda_{N-1}$ 为 \mathbb{R}^N 上的标准勒贝格测度, 而 $d[U]$ 为 $\frac{U(N)}{U(1)^N}$ 上的平移不变测度, 其在单位元 $[I]$ 处的切空间

$$T_{[I]} \frac{U(N)}{U(1)^N} \cong \frac{\mathfrak{u}(N)}{\mathfrak{u}(1)^{\oplus N}} = \left\{ X \in \mathbb{C}^{N \times N} \left| \begin{array}{l} X^\dagger = -X; \\ X_{ii} = 0, 1 \leq i \leq N \end{array} \right. \right\}$$

处的表达式为

$$d[U] = \prod_{i < j} dX_{ij}^{(1)} dX_{ij}^{(2)}. \quad (1.15)$$

与(1.11)类似, 我们用 $X_{ij}^{(1)}, X_{ij}^{(2)}$ 分别表示 X_{ij} 的实部与虚部.

关键的技术问题依然是计算重积分换元的雅可比行列式:

引理 1.5. 记号承上, 则

$$\det \left(\frac{dH}{d\Lambda d[U]} \right) = \Delta(\Lambda)^2, \quad (1.16)$$

其中

$$\Delta(\Lambda) = \Delta(\lambda_0, \dots, \lambda_{N-1}) := \prod_{i < j} (\lambda_j - \lambda_i). \quad (1.17)$$

证明之前, 我们回忆如下众所周知的 **Vandermonde** 行列式:

$$\Delta(\Lambda) := \prod_{i < j} (\lambda_j - \lambda_i) = \det \begin{pmatrix} 1 & 1 & \cdots & 1 \\ \lambda_0 & \lambda_1 & \cdots & \lambda_{N-1} \\ \vdots & \vdots & \ddots & \vdots \\ \lambda_0^{N-1} & \lambda_1^{N-1} & \cdots & \lambda_{N-1}^{N-1} \end{pmatrix}. \quad (1.18)$$

证明. 由于测度 $[dU]$ 的 $U(N)$ -平移不变性, 不妨只考虑在单位元 $U = I$ 处的情形. 注意 $U^\dagger = U^{-1}$, 从而对(1.12)两边微分得

$$\delta H = -U^\dagger \delta U \cdot U^\dagger \Lambda U + U^\dagger \delta \Lambda \cdot U + U^\dagger \Lambda \delta U$$

$$\begin{aligned}
&= -\delta U \cdot \Lambda + \delta \Lambda + \Lambda \delta U \\
&= \delta \Lambda + [\Lambda, \delta U],
\end{aligned}$$

其中切向量 $\delta \Lambda \in T_\Lambda \mathbb{R}^N \cong \mathbb{R}^N$, $\delta U \in T_{[U]} \frac{U(N)}{U(1)^N}$. 从而得到

$$(\delta H)_{ij} = \delta_{ij}(\delta \Lambda)_{ii} + (\lambda_{i-1} - \lambda_{j-1})(\delta U)_{ij},$$

换言之, 对任意 $1 \leq i < j \leq N$ 以及 $1 \leq k \leq N$ 都有

$$\begin{aligned}
(\delta H)_{kk} &= (\delta \Lambda)_{kk}, \\
(\delta H)_{ij}^{(1)} &= (\lambda_{i-1} - \lambda_{j-1})(\delta U)_{ij}^{(1)}, \\
(\delta H)_{ij}^{(2)} &= (\lambda_{i-1} - \lambda_{j-1})(\delta U)_{ij}^{(2)},
\end{aligned}$$

于是

$$\begin{aligned}
\det \left(\frac{dH}{d\Lambda d[U]} \right) &= \prod_{\substack{i,j=1 \\ i < j}}^N (\lambda_{j-1} - \lambda_{i-1})^2 \\
&= \prod_{\substack{i,j=0 \\ i < j}}^{N-1} (\lambda_j - \lambda_i)^2 = \Delta(\Lambda)^2.
\end{aligned}$$

引理得证. □

由此我们立刻得到矩阵积分(1.10)的特征值表示:

定理 1.6. 厄米特矩阵积分(1.10)满足如下表达式:

$$\mathcal{Z}_N = \frac{c_N}{N!} \int_{\mathbb{R}^N} \Delta(\lambda_0, \dots, \lambda_{N-1})^2 \prod_{k=0}^{N-1} e^{-V(\lambda_k)} d\lambda_k, \quad (1.19)$$

其中 c_N 为齐性空间 $\frac{U(N)}{U(1)^N}$ 的关于不变测度(1.15)的体积.

证明. 将(1.16)代入(1.14)即可. □

下面考虑稍微一般的情形, 并从特征值表示的角度来重新定义矩阵积分. 众所周知, 复方阵 A 称为**正规矩阵**, 如果 $[A^\dagger, A] = 0$; 正规矩阵酉相似于复对角矩阵; 厄米特矩阵、酉矩阵都是正规矩阵的常见例子.

定义 1.7. 设 $\gamma \subseteq \mathbb{C}$ 是复平面内的一条可求长曲线, 则记

$$\mathcal{Z}_N(\gamma) := \frac{1}{N!} \int_{\gamma^N} \Delta(\lambda_0, \dots, \lambda_{N-1})^2 \prod_{k=0}^{N-1} e^{-V(\lambda_k)} d\lambda_k, \quad (1.20)$$

并称其为**正规矩阵积分**. 其中 $V(x)$ 为某个一元函数. 此外, 若曲线 γ 具有参数表示 $f: [0, 1] \rightarrow \mathbb{C}$, 则 $d\lambda = f'(t)dt$.

特别注意, 此时曲线 γ 上的测度 $d\lambda$ 未必正定, 而是一般的**复测度**. 由前文的讨论可以看出, 如果 $\gamma = \mathbb{R}$, 则相应的 $\mathcal{Z}_N(\gamma)$ 在相差常数倍意义下恰为厄米特矩阵积分(1.10); 而对于一般的曲线 γ , 记

$$\mathbf{H}_N(\gamma) := \left\{ U^\dagger \Lambda U \mid \begin{array}{l} U \in \mathbf{U}(N), \\ \Lambda = \text{diag}(\lambda_0, \dots, \lambda_{N-1}), \lambda_i \in \gamma \end{array} \right\} \quad (1.21)$$

为特征值全部位于 γ 上的**正规矩阵**之全体, 则类似方法可以验证

$$\mathcal{Z}_N(\gamma) \propto \int_{\mathbf{H}_N(\gamma)} e^{-\text{tr } V(H)} dH. \quad (1.22)$$

注记 1.8. 若 $V(x)$ 为全纯函数, 则(1.20)右边的被积函数也全纯, 从而 $\mathcal{Z}_N(\gamma)$ 在曲线 γ 的同伦形变下保持不变, 即只与 γ 的同伦类 $[\gamma]$ 有关.

1.3 随机矩阵, 行列式表示

从本小节开始, 我们将深入研究正规矩阵积分(1.20)

$$\mathcal{Z}_N(\gamma) := \frac{1}{N!} \int_{\gamma^N} \Delta(\lambda_0, \dots, \lambda_{N-1})^2 \prod_{k=0}^{N-1} e^{-V(\lambda_k)} d\lambda_k$$

的性质. 不妨借用概率论的语言, 将(1.22)中的积分变量 H 想象为概率空间 $\mathbf{H}_N(\gamma)$ 中的元素 (所谓随机矩阵), 此时 H 的特征值 $\lambda_0, \dots, \lambda_{N-1}$ 为随机变量, 其联合分布的概率密度为

$$R_N(\lambda_0, \dots, \lambda_{N-1}) := \frac{1}{\mathcal{Z}_N(\gamma)} \frac{1}{N!} \Delta(\lambda_0, \dots, \lambda_{N-1})^2 \prod_{i=0}^{N-1} e^{-V(\lambda_i)}, \quad (1.23)$$

其中 $\Delta(\Lambda) := \Delta(\lambda_0, \dots, \lambda_{N-1})$ 为 Vandermonde 行列式, 见(1.18). 需要注意, 这里仅仅是借助概率论语言: 上述 R_N 的函数值可以是一般的复数, 并非严格意义下的概率密度.

也可以谈论随机变量的期望. 对于函数

$$f: \mathbf{H}_N(\gamma) \rightarrow \mathbb{C},$$

如果 $f(H)$ 是酉相似不变的, 即 $f(H) = f(U^\dagger H U)$ 对任意 $U \in \mathbf{U}(N)$ 都成立, 则 $f(H)$ 可以表示为关于 H 的特征值的对称函数, 即存在 N 元对称函数 \tilde{f} 使得 $f(H) = \tilde{f}(\lambda_0, \dots, \lambda_{N-1})$. 此时称

$$\begin{aligned} \langle f(H) \rangle_N &:= \frac{1}{\mathcal{Z}_N(\gamma)} \frac{1}{N!} \int_{\gamma^N} \tilde{f}(\lambda_0, \dots, \lambda_{N-1}) \Delta(\lambda_0, \dots, \lambda_{N-1})^2 \\ &\quad \times \prod_{k=0}^{N-1} e^{-V(\lambda_k)} d\lambda_k \end{aligned} \quad (1.24)$$

为随机变量 $f(H)$ 的期望.

而本小节的主要结果是:

性质 1.9. (正规矩阵积分的行列式表示). 记 $m_k(\lambda) := \lambda^k$ 为 k 次首一单项式, 引入 \mathbb{C} -双线性型 $\langle \cdot | \cdot \rangle$ 如下:

$$\langle f | g \rangle := \int_{\gamma} f(\lambda) g(\lambda) e^{-V(\lambda)} d\lambda. \quad (1.25)$$

则正规矩阵积分(1.20)满足下述行列式公式:

$$\mathcal{Z}_N(\gamma) = \det_{0 \leq i, j \leq N-1} (\langle m_i | m_j \rangle). \quad (1.26)$$

证明. 将 Vandermonde 行列式(1.18)直接展开, 有

$$\Delta(\lambda_0, \dots, \lambda_{N-1}) = \det_{0 \leq i, j \leq N-1} (\lambda_i^j) = \sum_{\sigma \in S_N} (-1)^{|\sigma|} \prod_{i=0}^{N-1} \lambda_i^{\sigma(i)},$$

这里的 S_N 是指标集 $\{0, 1, \dots, N-1\}$ 的置换群. 于是

$$\begin{aligned} \mathcal{Z}_N(\gamma) &= \frac{1}{N!} \int_{\gamma^N} \sum_{\sigma, \tau \in S_N} (-1)^{|\sigma\tau|} \prod_{i=0}^{N-1} \lambda_i^{\sigma(i)+\tau(i)} \cdot \prod_{k=0}^{N-1} e^{-V(\lambda_k)} d\lambda_k \\ &= \int_{\gamma^N} \sum_{\sigma \in S_N} (-1)^{|\sigma|} \prod_{i=0}^{N-1} \lambda_i^{i+\sigma(i)} \cdot \prod_{k=0}^{N-1} e^{-V(\lambda_k)} d\lambda_k \\ &= \sum_{\sigma \in S_N} (-1)^{|\sigma|} \prod_{i=0}^{N-1} \left(\int_{\gamma} \lambda_i^i \cdot \lambda_i^{\sigma(i)} e^{-V(\lambda_i)} d\lambda_i \right) \\ &= \sum_{\sigma \in S_N} (-1)^{|\sigma|} \prod_{i=0}^{N-1} \langle m_i | m_{\sigma(i)} \rangle = \det_{0 \leq i, j \leq N-1} (\langle m_i | m_j \rangle), \end{aligned}$$

从而命题得证. □

注记 1.10. 对于 $k \geq 0$, 引入 k 阶矩

$$M_k := \int_{\gamma} \lambda^k e^{-V(\lambda)} d\lambda, \quad (1.27)$$

则容易看出, 行列式公式(1.26)可改写为

$$\mathcal{Z}_N(\gamma) = \det_{0 \leq i, j \leq N-1} (M_{i+j}), \quad (1.28)$$

这是一个 Hankel 行列式. 一般地, 如果 N 阶方阵 A 的矩阵元 A_{ij} 只与 $i+j$ 有关, 则称该方阵为 Hankel 矩阵, 其行列式为 Hankel 行列式.

由行列式的基本性质, 不难给出(1.26)的更一般表达式:

定理 1.11. 对每个非负整数 k , 任取首一多项式 $p_k, \tilde{p}_k \in \mathbb{C}[\lambda]$, 即

$$p_k(\lambda) = \lambda^k + \sum_{i=0}^{k-1} a_{ki} \lambda^i, \quad \tilde{p}_k(\lambda) = \lambda^k + \sum_{i=0}^{k-1} b_{ki} \lambda^i,$$

则行列式公式(1.26)等价于

$$\mathcal{Z}_N(\gamma) = \det_{0 \leq i, j \leq N-1} (\langle \tilde{p}_i | p_j \rangle). \quad (1.29)$$

证明. 对矩阵 $(\langle m_i | m_j \rangle)$ 作初等行、列变换即可, 留给读者. □

1.4 积分核, 特征值联合密度, Dyson 公式

我们将正规矩阵模型(1.20)中的积分变量 H 视为随机矩阵, 其特征值 $\lambda_0, \dots, \lambda_{N-1}$ 视为随机变量. 我们不仅可以谈论这 N 个随机变量的联

合密度(1.23), 还可以谈论前 k 个特征值的联合密度:

$$R_{N,k}(\lambda_0, \dots, \lambda_{k-1}) \\ := \frac{1}{\mathcal{Z}_N(\gamma)} \frac{1}{N!} \int_{\gamma^{N-k}} \Delta(\lambda_0, \dots, \lambda_{N-1})^2 \prod_{i=0}^{N-1} e^{-V(\lambda_i)} d\lambda_k \cdots d\lambda_{N-1}. \quad (1.30)$$

本小节将给出联合密度(1.30)的行列式表示.

首先考察 $k = N$ 的情形, 由定义可知 $R_{N,N}$ 恰为(1.23)中的 R_N . 在给出其行列式公式之前, 我们先引入一些记号. 对任意非负整数 k , 取定 k 次首一多项式 $p_k(\lambda), \tilde{p}_k(\lambda) \in \mathbb{C}[\lambda]$, 记

$$H_{ij} := \langle \tilde{p}_i | p_j \rangle, \quad i, j \geq 0, \quad (1.31)$$

其中双线性型 $\langle \cdot | \cdot \rangle$ 见(1.25). 记相应的无穷矩阵

$$\mathbf{H} := (H_{ij})_{i,j \geq 0} = \begin{pmatrix} H_{00} & H_{01} & H_{02} & \cdots \\ H_{10} & H_{11} & H_{12} & \cdots \\ H_{20} & H_{21} & H_{22} & \cdots \\ \vdots & \vdots & \vdots & \ddots \end{pmatrix}. \quad (1.32)$$

注意 \mathbf{H} 依赖于多项式 p_k, \tilde{p}_k 的选取.

对一般的无穷矩阵 $\mathbf{A} = (A_{ij})_{i,j \geq 0}$ 以及正整数 k , 记

$$\mathbf{A}_{[k]} := (A_{ij})_{0 \leq i,j \leq k-1} \quad (1.33)$$

为 \mathbf{A} 的左上角 $k \times k$ 子矩阵. 在此记号下, 行列式公式(1.29)可改写为

$$\mathcal{Z}_N(\gamma) = \det \mathbf{H}_{[N]}. \quad (1.34)$$

性质 1.12. 对于正规矩阵模型(1.20), 联合密度(1.23)满足等式

$$R_N(\lambda_0, \dots, \lambda_{N-1}) = \frac{1}{N!} \det_{0 \leq i, j \leq N-1} (K_N(\lambda_i, \lambda_j)), \quad (1.35)$$

其中核函数 $K_N(\lambda, \mu)$ 的定义如下:

$$K_N(\lambda, \mu) := \sum_{k, \ell=0}^{N-1} \left(p_k(\lambda) e^{-\frac{1}{2}V(\lambda)} \right) \left(\mathbf{H}_{[N]}^{-1} \right)_{k\ell} \left(\tilde{p}_\ell(\mu) e^{-\frac{1}{2}V(\mu)} \right). \quad (1.36)$$

证明. 对 Vandermonde 行列式(1.18)作初等行变换, 容易验证

$$\Delta(\lambda_0, \dots, \lambda_{N-1}) = \det_{0 \leq i, j \leq N-1} (p_i(\lambda_j)) = \det_{0 \leq i, j \leq N-1} (\tilde{p}_i(\lambda_j)),$$

再结合(1.34)直接计算得

$$\begin{aligned} R_N(\lambda_0, \dots, \lambda_{N-1}) &= \frac{1}{N!} \frac{1}{\mathcal{Z}_N(\gamma)} \Delta(\lambda_0, \dots, \lambda_{N-1})^2 \prod_{i=0}^{N-1} e^{-V(\lambda_i)} \\ &= \frac{1}{N!} \det_{0 \leq i, j \leq N-1} \left(p_i(\lambda_j) e^{-\frac{1}{2}V(\lambda_j)} \right) \det \left(\mathbf{H}_{[N]}^{-1} \right) \det_{0 \leq i, j \leq N-1} \left(\tilde{p}_i(\lambda_j) e^{-\frac{1}{2}V(\lambda_j)} \right) \\ &= \frac{1}{N!} \det_{0 \leq i, j \leq N-1} (K_N(\lambda_i, \lambda_j)), \end{aligned}$$

命题得证. □

由(1.36)不难看出, 核函数 $K_N(\lambda, \mu)$ 实际上与首一多项式 p_k, \tilde{p}_k 的选取无关 (虽然矩阵 \mathbf{H} 依赖于 p_k, \tilde{p}_k 的选取), 进而容易验证对称性

$$K_N(\lambda, \mu) = K_N(\mu, \lambda).$$

此外, 以下公式也容易直接验证:

性质 1.13. 设 $K_N(\lambda, \mu)$ 为(1.36)式所定义的核函数, 则

$$\int_{\gamma} K_N(\lambda, \lambda) d\lambda = N, \quad (1.37)$$

$$\int_{\gamma} K_N(\lambda, z) K_N(z, \mu) dz = K_N(\lambda, \mu). \quad (1.38)$$

证明. 由相关定义(1.25)(1.31)(1.36)直接验证即可. 细节留给读者. \square

下面我们给出(1.30)在 $k = N - 1$ 情形下的行列式表示:

性质 1.14. 记号承上, 则有

$$R_{N,N-1}(\lambda_0, \dots, \lambda_{N-2}) = \frac{1}{N!} \det_{0 \leq i, j \leq N-2} (K_N(\lambda_i, \lambda_j)). \quad (1.39)$$

证明. 由行列式公式(1.35)以及核函数的性质(1.37)(1.38), 直接计算得

$$\begin{aligned} R_{N,N-1}(\lambda_0, \dots, \lambda_{N-2}) &= \int_{\gamma} R_{N,N}(\lambda_0, \dots, \lambda_{N-2}; \lambda_{N-1}) d\lambda_{N-1} \\ &= \frac{1}{N!} \int_{\gamma} \det_{0 \leq i, j \leq N-1} (K_N(\lambda_i, \lambda_j)) d\lambda_{N-1} \\ &= \frac{1}{N!} \sum_{\sigma \in S_N} (-1)^{|\sigma|} \int_{\gamma} \prod_{i=0}^{N-1} K_N(\lambda_i, \lambda_{\sigma(i)}) d\lambda_{N-1} \\ &= \frac{1}{N!} \sum_{\substack{\sigma \in S_N \\ \sigma(N-1)=N-1}} (-1)^{|\sigma|} \prod_{i=0}^{N-2} K_N(\lambda_i, \lambda_{\sigma(i)}) \int_{\gamma} K_N(\lambda_{N-1}, \lambda_{N-1}) d\lambda_{N-1} \\ &\quad + \frac{1}{N!} \sum_{\ell=0}^{N-2} \sum_{\substack{\sigma \in S_N \\ \sigma^{-1}(N-1)=\ell}} (-1)^{|\sigma|} \prod_{\substack{0 \leq i \leq N-2 \\ i \neq \ell}} K_N(\lambda_i, \lambda_{\sigma(i)}) \end{aligned}$$

$$\begin{aligned}
& \times \int_{\gamma} K_N(\lambda_{\ell}, \lambda_{N-1}) K_N(\lambda_{N-1}, \lambda_{\sigma(N-1)}) d\lambda_{N-1} \\
& = \frac{1}{N!} \cdot N \sum_{\substack{\sigma \in S_N \\ \sigma(N-1)=N-1}} (-1)^{|\sigma|} \prod_{i=0}^{N-2} K_N(\lambda_i, \lambda_{\sigma(i)}) \\
& \quad + \frac{1}{N!} \sum_{\ell=0}^{N-2} \sum_{\substack{\sigma \in S_N \\ \sigma^{-1}(N-1)=\ell}} (-1)^{|\sigma|} \prod_{\substack{0 \leq i \leq N-2 \\ i \neq \ell}} K_N(\lambda_i, \lambda_{\sigma(i)}) \cdot K_N(\lambda_{\ell}, \lambda_{\sigma(N-1)}),
\end{aligned}$$

上式中的 S_N 是指标集 $\{0, 1, \dots, N-1\}$ 的置换群. 为处理上式最右边的第二项, 我们略用一点组合数学技巧. 对于 $\sigma \in S_N$, 如果 $\sigma^{-1}(N-1) = \ell \neq N-1$, 则定义 $\tau \in S_{N-1}$ 如下:

$$\tau(i) := \begin{cases} \sigma(N-1), & i = \ell, \\ \sigma(i), & i \neq \ell. \end{cases}$$

则当 σ 取遍集合 $\{\sigma \in S_N \mid \sigma^{-1}(N-1) \neq N-1\}$ 时, 相应的 τ 取遍 S_{N-1} , 并且每个 $\tau \in S_{N-1}$ 被重复计数 $(N-1)$ 次. 再注意 $(-1)^{|\tau|} = (-1)^{|\sigma|+1}$, 从而继续化简整理得

$$\begin{aligned}
& R_{N,N-1}(\lambda_0, \dots, \lambda_{N-2}) \\
& = \frac{1}{N!} \cdot N \sum_{\sigma \in S_{N-1}} (-1)^{|\sigma|} \prod_{i=0}^{N-2} K_N(\lambda_i, \lambda_{\sigma(i)}) \\
& \quad + \frac{1}{N!} \cdot (N-1) \sum_{\tau \in S_{N-1}} (-1)^{|\tau|+1} \prod_{0 \leq i \leq N-1} K_N(\lambda_{\ell}, \lambda_{\tau(N-1)}) \\
& = \frac{N - (N-1)}{N!} \det_{0 \leq i, j \leq N-2} (K_N(\lambda_i, \lambda_j)) = \frac{1}{N!} \det_{0 \leq i, j \leq N-2} (K_N(\lambda_i, \lambda_j)),
\end{aligned}$$

命题得证. □

对于一般的 $1 \leq k \leq N$, 我们有如下 **Dyson** 公式:

定理 1.15. (Dyson). 对于 $1 \leq k \leq N$, 联合密度(1.30)满足

$$R_{N,k}(\lambda_0, \dots, \lambda_{k-1}) = \frac{(N-k)!}{N!} \det_{0 \leq i, j \leq k-1} (K_N(\lambda_i, \lambda_j)). \quad (1.40)$$

证明. 对 k 归纳. 起始步 $k = N$ 已证明. 归纳步 $k \rightarrow k-1$ 的验证方法与性质 1.14 的证明过程完全类似, 细节留给读者. 证毕. \square

特别地, $R_{N,1}(\lambda) = \frac{1}{N} K_N(\lambda, \lambda)$.

2. 正交多项式

我们注意, 正规矩阵积分(1.20)的行列式公式(1.29)

$$\mathcal{Z}_N(\gamma) = \det_{0 \leq i, j \leq N-1} (\langle \tilde{p}_i | p_j \rangle)$$

与首一多项式 p_k, \tilde{p}_k 的选取无关, 从而我们不妨 $p_k = \tilde{p}_k$, 并取特殊的 p_k 使得相关表达式更简洁. 一种自然的想法是选取**正交多项式**: 容易验证对每个 $k \geq 0$, 存在 k 次**首一**多项式 $p_k(x) \in \mathbb{C}[x]$ 使得

$$\langle p_k | p_\ell \rangle := \int_{\gamma} p_k(x) p_\ell(x) e^{-V(x)} dx = h_k \delta_{k\ell} \quad (2.1)$$

对任意 $k, \ell \geq 0$ 都成立, 其中 h_k 为非零常数.

上述多项式的存在唯一性是显然的: 从 $p_0(x) = 1$ 开始, 用众所周知的 **Gram-Schmidt** 正交化算法即可依次得到 p_1, p_2, \dots . 需要注意:

- 我们要求 p_k 是**首一**多项式, 于是并不能保证 p_k 关于 $\langle \cdot | \cdot \rangle$ 的模长 $\sqrt{h_k}$ 是 1. 换言之, $\{p_k\}_{k \geq 0}$ 两两正交, 但一般不是单位正交的.
- 正交多项式族 $\{p_k\}_{k \geq 0}$ 只与势函数 $V(x)$ 有关, 被 $V(x)$ 唯一确定.

- 对于 $k \geq 0$, 单项式 $m_k(x) := x^k$ 可以表示为 $p_0(x), p_1(x), \dots, p_k(x)$ 的 \mathbb{C} -线性组合, 因此对于 $0 \leq j < k$ 成立

$$\langle m_j | p_k \rangle := \int_{\gamma} x^j p_k(x) e^{-V(x)} dx = 0.$$

在本章我们总取定正交多项式 $\{p_k\}_{k \geq 0}$. 此时 Gram 矩阵(1.32)

$$\mathbf{H} = \begin{pmatrix} h_0 & & & \\ & h_1 & & \\ & & h_2 & \\ & & & \ddots \end{pmatrix} \quad (2.2)$$

是 (无穷维) 对角矩阵, 行列式公式(1.29)(1.34)可改写为

$$\mathcal{Z}_N(\gamma) = \det \mathbf{H}_{[N]} = \prod_{k=0}^{N-1} h_k. \quad (2.3)$$

引入正交多项式 p_k 的归一化函数

$$\psi_k(x) := \frac{p_k(x)}{\sqrt{h_k}} e^{-\frac{1}{2}V(x)}, \quad (2.4)$$

则正交性(2.1)等价于

$$\int_{\gamma} \psi_k(x) \psi_{\ell}(x) dx = \delta_{k\ell}, \quad (2.5)$$

并且核函数(1.36)的表达式可改写为

$$K_N(x, y) = \sum_{k=0}^{N-1} \psi_k(x) \psi_k(y). \quad (2.6)$$

2.1 Heine 公式与 Hankel 行列式公式

给定势函数 $V(x)$, 我们来计算相应的正交多项式 p_k . 一个有意思的结果是, p_k 可以表示为 $k \times k$ 正规矩阵模型的某个期望(1.24), 此乃正交多项式的 **Heine 公式**:

定理 2.1. (Heine). 给定势函数 $V(x)$, 则相应的正交多项式 p_k 满足

$$\begin{aligned} p_k(x) &= \langle \det(x - H) \rangle_k \\ &:= \frac{1}{k!} \frac{1}{\mathcal{Z}_k(\gamma)} \int_{\gamma^k} \Delta(\lambda_0, \dots, \lambda_{k-1})^2 \prod_{i=0}^{k-1} (x - \lambda_i) e^{-V(\lambda_i)} d\lambda_i. \end{aligned} \quad (2.7)$$

我们回忆, 上式中的 H 是取值于 $H_k(\gamma)$, 见(1.21), 的 $k \times k$ 随机矩阵; 而 $\det(x - H) \in \mathbb{C}[x]$ 恰为矩阵 H 的**特征多项式**, 它显然是关于 x 的 k 次首一多项式. 此外, 当 $k = 0$ 时, 特别规定 0×0 矩阵的行列式为 1.

证明. 由(2.7)所定义的 $p_k(x)$ 显然是关于 x 的 p 次首一多项式, 于是只需要验证正交性条件 $\langle p_j | p_k \rangle = 0$ 即可. 直接计算得

$$\begin{aligned} \langle p_j | p_k \rangle &= \frac{1}{k!} \frac{1}{\mathcal{Z}_k(\gamma)} \int_{\gamma} p_j(\lambda_k) e^{-V(\lambda_k)} d\lambda_k \\ &\quad \times \int_{\gamma^k} \Delta(\lambda_0, \dots, \lambda_{k-1})^2 \prod_{i=0}^{k-1} (\lambda_k - \lambda_i) e^{-V(\lambda_i)} d\lambda_i \\ &= \frac{1}{k!} \frac{1}{\mathcal{Z}_k(\gamma)} \int_{\gamma^{k+1}} \Delta(\lambda_0, \dots, \lambda_{k-1}) p_j(\lambda_k) \\ &\quad \times \Delta(\lambda_0, \dots, \lambda_{k-1}) \prod_{i=0}^{k-1} (\lambda_k - \lambda_i) \cdot \prod_{i=0}^k e^{-V(\lambda_i)} d\lambda_i. \end{aligned} \quad (2.8)$$

由 Vandermonde 行列式的性质(1.18)易知

$$\Delta(\lambda_0, \dots, \lambda_{k-1}) \prod_{i=0}^{k-1} (\lambda_k - \lambda_i) = \Delta(\lambda_0, \dots, \lambda_{k-1}; \lambda_k),$$

$$\Delta(\lambda_0, \dots, \lambda_{k-1}) p_j(\lambda_k) = \det \left(\begin{array}{cccc|c} 1 & 1 & \cdots & 1 & 1 \\ \lambda_0 & \lambda_1 & \cdots & \lambda_{k-1} & \lambda_k \\ \vdots & \vdots & & \vdots & \vdots \\ \lambda_0^{k-1} & \lambda_1^{k-1} & \cdots & \lambda_{k-1}^{k-1} & \lambda_k^{k-1} \\ \hline 0 & 0 & \cdots & 0 & p_j(\lambda_k) \end{array} \right).$$

将(2.8)最右边的 $(k+1)$ -重积分的积分变元 $\lambda_0, \dots, \lambda_k$ 作轮换 $\lambda_i \mapsto \lambda_{i+s}$, 其中 s 取遍 $\mathbb{Z}/(k+1)\mathbb{Z}$, 容易验证

$$\begin{aligned} \langle p_j | p_k \rangle &= \frac{1}{(k+1)!} \frac{1}{\mathcal{Z}_k(\gamma)} \\ &\times \int_{\gamma^{k+1}} \det \left(\begin{array}{cccc|c} 1 & 1 & \cdots & 1 & 1 \\ \lambda_0 & \lambda_1 & \cdots & \lambda_{k-1} & \lambda_k \\ \vdots & \vdots & & \vdots & \vdots \\ \lambda_0^{k-1} & \lambda_1^{k-1} & \cdots & \lambda_{k-1}^{k-1} & \lambda_k^{k-1} \\ \hline p_j(\lambda_0) & p_j(\lambda_1) & \cdots & p_j(\lambda_{k-1}) & p_j(\lambda_k) \end{array} \right) \\ &\times \Delta(\lambda_0, \dots, \lambda_{k-1}; \lambda_k) \prod_{i=0}^k e^{-V(\lambda_i)} d\lambda_i. \end{aligned}$$

注意 $j < k$, 从而上式右边的矩阵的最后一行 $(p_j(\lambda_0), \dots, p_j(\lambda_k))$ 能够表示为前 k 行的线性组合, 从而该矩阵的行列式为零, 从而得到 $\langle p_j | p_k \rangle = 0$. 定理证毕. \square

除了上述 Heine 公式, 正交多项式 $p_k(x)$ 也有类似(1.28)的 Hankel 行列式表达式:

性质 2.2. 记号承上, 则正交多项式 $p_k(x)$ 满足

$$p_k(x) = \frac{1}{\mathcal{Z}_k(\gamma)} \det \left(\begin{array}{cccc|c} M_0 & M_1 & \cdots & M_{k-1} & 1 \\ M_1 & M_2 & \cdots & M_k & x \\ \vdots & \vdots & & \vdots & \vdots \\ M_{k-1} & M_k & \cdots & M_{2k-2} & x^{k-1} \\ \hline M_k & M_{k+1} & \cdots & M_{2k-1} & x^k \end{array} \right), \quad (2.9)$$

其中 $M_k := \int_{\gamma} \lambda^k \mathbf{e}^{-V(\lambda)} \mathrm{d}\lambda$ 为 k 阶矩, 见(1.27).

证明. 将(2.9)右边的行列式按第 $(k+1)$ 列展开, 并注意(1.28), 易知(2.9)中的 $p_k(x)$ 确实是关于 x 的 k 次首一多项式.

只需再验证正交性. 这只需要验证 $\langle m_j | p_k \rangle = 0$ 对任意 $j < k$ 都成立即可, 其中 $m_j(x) := x^j$ 为单项式. 注意到

$$\begin{aligned} & \langle m_j | p_k \rangle \\ &= \frac{1}{\mathcal{Z}_k(\gamma)} \int_{\gamma} \det \left(\begin{array}{cccc|c} M_0 & M_1 & \cdots & M_{k-1} & 1 \\ M_1 & M_2 & \cdots & M_k & x \\ \vdots & \vdots & & \vdots & \vdots \\ M_{k-1} & M_k & \cdots & M_{2k-2} & x^{k-1} \\ \hline M_k & M_{k+1} & \cdots & M_{2k-1} & x^k \end{array} \right) x^j \mathbf{e}^{-V(x)} \mathrm{d}x \\ &= \frac{1}{\mathcal{Z}_k(\gamma)} \det \left(\begin{array}{cccc|c} M_0 & M_1 & \cdots & M_{k-1} & M_j \\ M_1 & M_2 & \cdots & M_k & M_{j+1} \\ \vdots & \vdots & & \vdots & \vdots \\ M_{k-1} & M_k & \cdots & M_{2k-2} & M_{j+k-1} \\ \hline M_k & M_{k+1} & \cdots & M_{2k-1} & M_{j+k} \end{array} \right). \end{aligned}$$

由于 $j < k$, 从而上式等号最右边的矩阵的最后一列与之前某列相同, 故相应的行列式为 0. 综上, 命题得证. \square

2.2 三项递推关系

关于势函数 $V(x)$ 的正交多项式 $p_k(x)$ 是 k 次首一的, 从而 $x p_k(x)$ 是 $(k+1)$ 次首一的, 因此它可以唯一表示为 $\{p_0(x), \dots, p_{k+1}(x)\}$ 的 \mathbb{C} -线性组合, 即存在一族常数 $\{\tilde{Q}_{kj} \mid 0 \leq j \leq k\}$ 使得

$$x p_k(x) = p_{k+1}(x) + \sum_{j=0}^k \tilde{Q}_{kj} p_j(x).$$

而我们更习惯用(2.4)中的归一化函数 $\psi_k(x)$ 将上式重新写为

$$x \psi_k(x) = \sum_{j=0}^{k+1} Q_{kj} \psi_j(x), \quad (2.10)$$

其中 $\{Q_{kj} \mid k \geq 0, 0 \leq j \leq k+1\}$ 为常数, 此时易知

$$Q_{k,k+1} = \sqrt{\frac{h_{k+1}}{h_k}}. \quad (2.11)$$

引入无穷列向量与无穷矩阵

$$\psi(x) = \begin{pmatrix} \psi_0(x) \\ \psi_1(x) \\ \psi_2(x) \\ \vdots \end{pmatrix}, \quad Q = \begin{pmatrix} Q_{00} & Q_{01} & Q_{02} & \cdots \\ Q_{10} & Q_{11} & Q_{12} & \cdots \\ Q_{20} & Q_{21} & Q_{22} & \cdots \\ \vdots & \vdots & \vdots & \ddots \end{pmatrix} \quad (2.12)$$

(当 $j > k+1$ 时规定 $Q_{kj} = 0$), 则(2.10)也可以改写为

$$x \psi(x) = Q \psi(x). \quad (2.13)$$

而一个重要的观察是:

定理 2.3. (2.12)中的矩阵 \mathbf{Q} 是对称的, 即

$$\mathbf{Q}^T = \mathbf{Q}, \quad (2.14)$$

从而 $Q_{ij} \neq 0$ 仅当 $|i - j| \leq 1$. 换言之, \mathbf{Q} 形如

$$\mathbf{Q} = \begin{pmatrix} S_0 & \gamma_1 & & \\ \gamma_1 & S_1 & \gamma_2 & \\ & \gamma_2 & S_2 & \ddots \\ & & \ddots & \ddots \end{pmatrix}, \quad \gamma_k := \sqrt{\frac{h_k}{h_{k-1}}} \quad (2.15)$$

其中 S_0, S_1, \dots 为常数.

证明. 由以下显然的事实

$$\int_{\gamma} (x\psi_k(x)) \psi_{\ell}(x) dx = \int_{\gamma} \psi_k(x) (x\psi_{\ell}(x)) dx$$

以及正交性(2.5)可得 $Q_{k\ell} = Q_{\ell k}$, 因此 $\mathbf{Q}^T = \mathbf{Q}$. 定理得证. \square

换言之, \mathbf{Q} 的非零元只位于主对角线以及上下两条副对角线上, 形如这样的矩阵称为 **3-对角矩阵**. 特别地, 对任意正整数 k , \mathbf{Q}^k 良定义. 此外, 对任意多项式 $f(x) = a_0 + a_1x + \dots + a_nx^n$, 相应的 $f(\mathbf{Q}) := a_0\mathbf{I} + a_1\mathbf{Q} + \dots + a_n\mathbf{Q}^n$. 由(2.13)易得

$$f(x)\psi(x) = f(\mathbf{Q})\psi(x). \quad (2.16)$$

在记号(2.15)下, $p_k(x)$ 的递推关系为

$$p_0(x) = 1, \quad p_1(x) = x - S_0, \quad (2.17)$$

$$p_{k+1}(x) = (x - S_k)p_k(x) - \gamma_k^2 p_{k-1}(x), \quad k \geq 1, \quad (2.18)$$

称为三项递推关系. 而另一方面, 考察 \mathbf{Q} 的左上角 $k \times k$ 子矩阵

$$\mathbf{Q}_{[k]} = \begin{pmatrix} S_0 & \gamma_1 & & & \\ \gamma_1 & S_1 & \ddots & & \\ & \ddots & \ddots & \ddots & \\ & & & \ddots & \gamma_{k-1} \\ & & & \gamma_{k-1} & S_{k-1} \end{pmatrix}.$$

作为一道简单的本科低年级工科线性代数习题, 容易验证行列式 $D_k(x) := \det(x\mathbf{I}_{[k]} - \mathbf{Q}_{[k]})$, 即 $\mathbf{Q}_{[k]}$ 的特征多项式, 满足如下递推关系:

$$D_{k+1}(x) = (x - S_k)D_k(x) - \gamma_k^2 D_{k-1}(x).$$

该递推关系恰好与正交多项式 $p_k(x)$ 的三项递推关系(2.18)相同. 再比较初值, 立刻得到:

性质 2.4. 正交多项式 $p_k(x)$ 满足

$$p_k(x) = \det(x - \mathbf{Q})_{[k]} \quad (2.19)$$

与上一小节的 Heine 公式(2.7)比较, 我们有

$$\langle \det(x - H) \rangle_k = \det(x - \mathbf{Q})_{[k]}. \quad (2.20)$$

一般来说, 对于随机矩阵 H 的某个函数的期望, 往往等于将 H 换成 \mathbf{Q} 并去掉 $\langle \rangle$ 之后的表达式的值. 例如上式, 以及如下定理:

定理 2.5. 对于单变量多项式函数 $f(x)$ 以及任意正整数 N , 下述关系成立:

$$\langle \text{tr} f(H) \rangle_N = \text{tr} f(\mathbf{Q})_{[N]}, \quad (2.21)$$

其中随机变量的期望 $\langle \rangle$ 的定义见(1.24).

证明. 回顾 Vandermonde 行列式的定义, 并结合行列式的基本性质 (初等变换) 可知

$$\begin{aligned}\Delta(\lambda_0, \dots, \lambda_{N-1}) &= \det_{0 \leq i, j \leq N-1} (\lambda_i^j) = \det_{0 \leq i, j \leq N-1} (p_j(\lambda_i)) \\ &= \sum_{\sigma \in S_N} (-1)^{|\sigma|} \prod_{i=0}^{N-1} p_{\sigma(i)}(\lambda_i),\end{aligned}$$

再结合(2.3)–(2.5)以及(2.16), 可得

$$\begin{aligned}& \langle \text{tr} f(H) \rangle_N \\ &= \frac{1}{N!} \frac{1}{\mathcal{Z}_N(\gamma)} \int_{\gamma^N} \Delta(\lambda_0, \dots, \lambda_{N-1})^2 \left(\sum_{k=0}^{N-1} f(\lambda_k) \right) \prod_{\ell=0}^{N-1} e^{-V(\lambda_\ell)} d\lambda_\ell \\ &= \frac{1}{N!} \frac{1}{\prod_{i=0}^{N-1} h_i} \sum_{k=0}^{N-1} \sum_{\sigma, \tau \in S_N} (-1)^{|\sigma\tau|} \\ & \quad \times \int_{\gamma^N} \prod_{i,j=0}^{N-1} f(\lambda_k) p_{\sigma(i)}(\lambda_i) p_{\tau(j)}(\lambda_j) \prod_{\ell=0}^{N-1} e^{-V(\lambda_\ell)} d\lambda_\ell \\ &= \frac{1}{N!} \frac{1}{\prod_{i=0}^{N-1} h_i} \sum_{k=0}^{N-1} \sum_{\sigma, \tau \in S_N} (-1)^{|\sigma\tau|} \langle f p_{\sigma(k)} | p_{\tau(k)} \rangle \prod_{\substack{0 \leq i \leq N-1 \\ i \neq k}} \langle p_{\sigma(i)} | p_{\tau(i)} \rangle \\ &= \frac{1}{N!} \frac{1}{\prod_{i=0}^{N-1} h_i} \sum_{k=0}^{N-1} \sum_{\sigma \in S_N} \langle f p_{\sigma(k)} | p_{\sigma(k)} \rangle \frac{\prod_{i=0}^{N-1} h_i}{h_k} \\ &= \sum_{k=0}^{N-1} \frac{1}{h_k} \langle f p_k | p_k \rangle = \sum_{k=0}^{N-1} \int_{\gamma} f(x) \psi_k(x) \cdot \psi_k(x) dx \\ &= \sum_{k=0}^{N-1} f(\mathbf{Q})_{kk} = \text{tr} f(\mathbf{Q})_{[N]},\end{aligned}$$

定理得证. □

2.3 Christoffel-Darboux 公式

利用算子 \mathbf{Q} , 我们也可以化简积分核 $K_N(x, y)$ 的表达式(2.6). 对于 $N \geq 1$, 引入无穷矩阵

$$\mathbf{\Pi}_N := \begin{pmatrix} \mathbf{I}_{N \times N} & \mathbf{0}_{N \times \infty} \\ \mathbf{0}_{\infty \times N} & \mathbf{0}_{\infty \times \infty} \end{pmatrix}, \quad (2.22)$$

则(2.6)等价于如下矩阵形式:

$$K_N(x, y) = \boldsymbol{\psi}^T(x) \mathbf{\Pi}_N \boldsymbol{\psi}(y). \quad (2.23)$$

由(2.13), 并注意 $\mathbf{Q}^T = \mathbf{Q}$, 我们立刻得到

$$(y - x)K_N(x, y) = \boldsymbol{\psi}^T(x) [\mathbf{\Pi}_N, \mathbf{Q}] \boldsymbol{\psi}(y). \quad (2.24)$$

我们称上式右边的

$$\mathbf{A}^{[N]} := [\mathbf{\Pi}_N, \mathbf{Q}] \quad (2.25)$$

为 **Christoffel-Darboux** 矩阵. 直接计算可知

$$\mathbf{A}^{[N]} = \gamma_N (\mathbf{E}_{N-1, N} - \mathbf{E}_{N, N-1}), \quad (2.26)$$

从而将(2.24)改写为

性质 2.6. (*Christoffel-Darboux 公式*). 记号承上, 则

$$K_N(x, y) = \gamma_N \frac{\psi_{N-1}(x)\psi_N(y) - \psi_N(x)\psi_{N-1}(y)}{y - x}. \quad (2.27)$$

注意上式右边只出现了 ψ_{N-1} 与 ψ_N , 这比(2.6)式更简洁. 取极限 $y \rightarrow x$, 我们还能得到

$$K_N(x, x) = \gamma_N \lim_{y \rightarrow x} \frac{\psi_{N-1}(x)\psi_N(y) - \psi_N(x)\psi_{N-1}(y)}{y - x}$$

$$= \gamma_N (\psi_{N-1}(x)\psi'_N(x) - \psi_N(x)\psi'_{N-1}(x)).$$

正交多项式 $p_N(x)$ 有 Heine 型公式(2.7)与行列式型公式(2.19); 类似地, 积分核 $K_N(x, y)$ 也有这两种类型的公式.

性质 2.7. 记号承上, 则对任意正整数 N 都有

$$K_N(x, y) = \frac{e^{-\frac{1}{2}V(x)}e^{-\frac{1}{2}V(y)}}{h_{N-1}} \langle \det(x - H)(y - H) \rangle_{N-1}. \quad (2.28)$$

证明. 将 $(y - x) \langle \det(x - H)(y - H) \rangle_{N-1}$ 自然视为 $\mathbb{C}[y][x]$ 中的元素, 即关于 x 的 $\mathbb{C}[y]$ -系数的一元多项式. 在此意义下, 显然它是关于 x 的 N 次多项式, 并且最高次项 x^N 的系数为

$$-\langle \det(y - H) \rangle_{N-1} = -p_{N-1}(y),$$

因此存在 $\{c_j(y)\}_{j=0}^{N-1} \subseteq \mathbb{C}[y]$ 使得

$$\begin{aligned} & (y - x) \frac{e^{-\frac{1}{2}V(x)}e^{-\frac{1}{2}V(y)}}{h_{N-1}} \langle \det(x - H)(y - H) \rangle_{N-1} \\ &= -\gamma_N \psi_N(x) \psi_{N-1}(y) + \sum_{j=0}^{N-1} c_j(y) \psi_j(x). \end{aligned}$$

对照 Christoffel-Darboux 公式(2.27), 只需验证

$$c_j(y) = \begin{cases} 0 & 0 \leq j \leq N-2, \\ \gamma_N \psi_N(y) & j = N-1. \end{cases} \quad (2.29)$$

而由正交关系(2.5), 我们直接得到

$$c_j(y) = \int_{\gamma} (y - x) \frac{e^{-\frac{1}{2}V(x)}e^{-\frac{1}{2}V(y)}}{h_{N-1}} \langle \det(x - H)(y - H) \rangle_{N-1} \psi_j(x) dx$$

$$\begin{aligned}
&= \frac{e^{-\frac{1}{2}V(y)}}{\sqrt{h_j h_{N-1}}} \frac{1}{(N-1)! \mathcal{Z}_{N-1}(\gamma)} \int_{\gamma^N} (y-x) p_j(x) e^{-V(x)} \\
&\quad \times \Delta(\lambda_0, \dots, \lambda_{N-2})^2 \left(\prod_{i=0}^{N-2} (x - \lambda_i)(y - \lambda_i) \right) \left(\prod_{i=0}^{N-2} e^{-V(\lambda_i)} d\lambda_i \right) dx \\
&= \frac{e^{-\frac{1}{2}V(y)}}{\sqrt{h_j h_{N-1}}} \frac{1}{(N-1)! \mathcal{Z}_{N-1}(\gamma)} \int_{\gamma^N} p_j(\lambda_{N-1}) \Delta(\lambda_0, \dots, \lambda_{N-2}) \\
&\quad \times \Delta(\lambda_0, \dots, \lambda_{N-1}) \prod_{i=0}^{N-1} (y - \lambda_i) e^{-V(\lambda_i)} d\lambda_i, \tag{2.30}
\end{aligned}$$

其中积分变元 x 被重命名为 λ_{N-1} . 之后采用与定理2.1证明过程完全相同的变元轮换技巧, 即注意

$$p_j(\lambda_{N-1}) \Delta(\lambda_0, \dots, \lambda_{N-2}) = \det \left(\begin{array}{cccc|c} 1 & 1 & \cdots & 1 & 1 \\ \lambda_0 & \lambda_1 & \cdots & \lambda_{N-2} & \lambda_{N-1} \\ \vdots & \vdots & & \vdots & \vdots \\ \lambda_0^{N-2} & \lambda_1^{N-2} & \cdots & \lambda_{N-2}^{N-2} & \lambda_{N-1}^{N-2} \\ \hline 0 & 0 & \cdots & 0 & p_j(\lambda_{N-1}) \end{array} \right),$$

可知当 $j < N-1$ 时(2.30)右边的重积分为0, 即 $c_j(y) = 0$.

而当 $j = N-1$ 时, 直接计算得

$$\begin{aligned}
c_{N-1}(y) &= \frac{e^{-\frac{1}{2}V(y)}}{\sqrt{h_{N-1} h_{N-1}}} \frac{1}{(N-1)! \mathcal{Z}_{N-1}(\gamma)} \frac{1}{N} \\
&\quad \times \int_{\gamma^N} \Delta(\lambda_0, \dots, \lambda_{N-1})^2 \prod_{i=0}^{N-1} (y - \lambda_i) e^{-V(\lambda_i)} d\lambda_i \\
&= \frac{e^{-\frac{1}{2}V(y)}}{h_{N-1}^{\frac{3}{2}}} \frac{\mathcal{Z}_N(\gamma)}{\mathcal{Z}_{N-1}(\gamma)} \langle \det(y - H) \rangle_N = \frac{e^{-\frac{1}{2}V(y)}}{\sqrt{h_{N-1}}} p_N(y) = \gamma_N \psi_N(y).
\end{aligned}$$

综上, 命题得证. □

将(2.28)中的随机矩阵 H 替换为 \mathbf{Q} , 并去掉期望 $\langle \rangle$, 如此得到的行列式型公式也是对的:

性质 2.8. 记号承上, 则对任意正整数 N 都有

$$K_N(x, y) = \frac{e^{-\frac{1}{2}V(x)}e^{-\frac{1}{2}V(y)}}{h_{N-1}} \det \left((x - \mathbf{Q})(y - \mathbf{Q}) \right)_{[N-1]}. \quad (2.31)$$

证明. 对 N 归纳. 注意我们特别规定 0×0 矩阵的行列式为 1, 从而容易验证起始步 $N = 1$ 成立. 由(2.15)直接计算验证可知

$$\left((x - \mathbf{Q})(y - \mathbf{Q}) \right)_{[N]} = (x - \mathbf{Q})_{[N]}(y - \mathbf{Q})_{[N]} + \gamma_N^2 \begin{pmatrix} \mathbf{0}_{(N-1) \times (N-1)} \\ 1 \end{pmatrix}$$

从而有

$$\begin{aligned} & \det \left((x - \mathbf{Q})(y - \mathbf{Q}) \right)_{[N]} \\ &= \det \left((x - \mathbf{Q})_{[N]}(y - \mathbf{Q})_{[N]} \right) + \gamma_N^2 \det \left((x - \mathbf{Q})_{[N]}(y - \mathbf{Q})_{[N]} \right)_{[N-1]} \\ &= \det(x - \mathbf{Q})_{[N]} \det(y - \mathbf{Q})_{[N]} + \gamma_N^2 \det \left((x - \mathbf{Q})(y - \mathbf{Q}) \right)_{[N-1]} \\ &= p_N(x)p_N(y) + \gamma_N^2 \det \left((x - \mathbf{Q})(y - \mathbf{Q}) \right)_{[N-1]}. \end{aligned}$$

因此由归纳假设以及(2.6)可得

$$\begin{aligned} & \frac{e^{-\frac{1}{2}V(x)}e^{-\frac{1}{2}V(y)}}{h_N} \det \left((x - \mathbf{Q})(y - \mathbf{Q}) \right)_{[N]} \\ &= \frac{e^{-\frac{1}{2}V(x)}e^{-\frac{1}{2}V(y)}}{h_N} \left(p_N(x)p_N(y) + \gamma_N^2 \det \left((x - \mathbf{Q})(y - \mathbf{Q}) \right)_{[N-1]} \right) \\ &= \psi_N(x)\psi_N(y) + K_N(x, y) = K_{N+1}(x, y), \end{aligned}$$

从而得证. □

2.4 微分递推关系, 弦方程

除了三项递推关系(2.13)(2.18), 我们也关心正交多项式所满足的微分方程, 即怎样将 $p_k(x)$ 的导函数 $p'_k(x)$ 表示为更低次多项式 $\{p_0(x), \dots, p_{k-1}(x)\}$ 的线性组合. 根据以往经验, 我们不妨考虑相应的归一化函数, 即(2.4)中的 $\psi_k(x)$. 从现在起, 我们不妨假定势函数 $V(x)$ 是关于 x 的多项式 (或者形式幂级数), 其形如

$$V(x) = \sum_{k=1}^{d+1} \frac{t_k}{k} x^k, \quad (2.32)$$

其中 $d \geq 1$ 为 $V'(x) = \sum_{k=0}^d t_{k+1} x^k$ 的次数, t_1, \dots, t_{d+1} 为形式参数.

对(2.4)两边求导, 得到

$$\psi'_k(x) = \frac{1}{\sqrt{h_k}} \left(p'_k(x) - \frac{1}{2} V'(x) p_k(x) \right) e^{-\frac{1}{2} V(x)}. \quad (2.33)$$

注意上式右边大括号内是 $(k+d)$ 次多项式, 从而易知上式右边可以表示为 $\psi_0(x), \dots, \psi_{k+d}(x)$ 的 \mathbb{C} -线性组合. 换言之, 存在 (常系数) 无穷矩阵 $\mathbf{P} = (P_{kj})_{k,j=0}^{\infty}$ 使得

$$\frac{d}{dx} \psi(x) = \mathbf{P} \psi(x), \quad (2.34)$$

并且当 $j > k+d$ 时 $P_{kj} = 0$.

性质 2.9. 矩阵 \mathbf{P} 与 \mathbf{Q} 满足如下等式:

$$\mathbf{P}^T = -\mathbf{P}, \quad \mathbf{P} = -\frac{1}{2} (V'(\mathbf{Q})_u - V'(\mathbf{Q})_l), \quad (2.35)$$

其中 \mathbf{X}_u 与 \mathbf{X}_l 分别为无穷矩阵 \mathbf{X} 的严格上三角部分与严格下三角部分.

证明. 由分部积分

$$\int_{\gamma} \psi'_k(x) \psi_j(x) dx = - \int_{\gamma} \psi_k(x) \psi'_j(x) dx,$$

立刻得到 $P_{kj} = -P_{jk}$, 即 $\mathbf{P}^T = -\mathbf{P}$.

利用(2.16)式, 继续整理(2.33)如下:

$$\sum_{j=0}^{k+d} P_{kj} \psi_j(x) = -\frac{1}{2} \sum_{j=0}^{k+d} (V'(\mathbf{Q}))_{kj} \psi_j(x) + \frac{1}{\sqrt{h_k}} p'_k(x) e^{-\frac{1}{2}V(x)}. \quad (2.36)$$

注意上式右边第二项形如 $\psi_0(x), \dots, \psi_{k-1}(x)$ 的 \mathbb{C} -线性组合, 对 $\{\psi_j(x)\}_{j \geq k}$ 的系数无贡献. 因此, 当 $j \geq k$ 时, 比较上式两边 $\psi_j(x)$ 的系数得

$$P_{kj} = -\frac{1}{2} (V'(\mathbf{Q}))_{kj}, \quad j \geq k,$$

从而 $\mathbf{P}_u = -\frac{1}{2} V'(\mathbf{Q})_u$. 再注意 \mathbf{P} 的反对称性与 \mathbf{Q} 的对称性, 有

$$\mathbf{P}_l = -(\mathbf{P}_u)^T = \frac{1}{2} (V'(\mathbf{Q})_u)^T = \frac{1}{2} V'(\mathbf{Q})_l.$$

之后由 $\mathbf{P} = \mathbf{P}_u + \mathbf{P}_l$ 即可完成证明. □

上述命题的证明过程还可以被抠得更细一些:

性质 2.10. 记号承上, 则以下等式成立:

$$V'(\mathbf{Q})_{k,k-1} = \frac{k}{\gamma_k}, \quad V'(\mathbf{Q})_{kk} = 0, \quad (2.37)$$

$$[\mathbf{Q}, \mathbf{P}] = \mathbf{I}, \quad (2.38)$$

其中 \mathbf{I} 为无穷维单位矩阵, γ_k 的定义见(2.15).

证明. 在(2.36)式的右边, 注意 $p'_k(x) = kx^{k-1} + \dots$, 于是比较(2.36)两边 $\psi_{k-1}(x)$ 的系数得

$$P_{k,k-1} = -\frac{1}{2}V'(\mathbf{Q})_{k,k-1} + \frac{k}{\gamma_k}.$$

另一方面, 由(2.35)得 $P_{k,k-1} = \frac{1}{2}V'(\mathbf{Q})_{k,k-1}$, 故 $V'(\mathbf{Q})_{k,k-1} = \frac{k}{\gamma_k}$. 类似地, 比较(2.36)两边 $\psi_k(x)$ 的系数立刻得到 $V'(\mathbf{Q})_{kk} = 0$. 最后, 注意

$$\begin{aligned} [\mathbf{Q}, \mathbf{P}]\psi &= \mathbf{Q} \frac{d}{dx} \psi - \mathbf{P} x \psi = \frac{d}{dx} (\mathbf{Q} \psi) - x (\mathbf{P} \psi) \\ &= \left(\frac{d}{dx} \circ x - x \circ \frac{d}{dx} \right) \psi = \psi, \end{aligned}$$

展开并比较系数可得 $[\mathbf{Q}, \mathbf{P}] = \mathbf{I}$. 命题得证. □

由(2.37)可以得到配分函数 $\mathcal{Z}_N(\gamma)$ 的弦方程:

性质 2.11. (弦方程). 对于 $V(x) = \sum_{k=1}^{d+1} \frac{t_k}{k} x^k$, 则(1.20)所定义的配分函数 \mathcal{Z}_N 满足如下等式:

$$\sum_{j=1}^d j t_{j+1} \frac{\partial \log \mathcal{Z}_N}{\partial t_j} = N t_1, \quad (2.39)$$

$$\sum_{j=1}^{d+1} j t_j \frac{\partial \log \mathcal{Z}_N}{\partial t_j} = -N^2. \quad (2.40)$$

证明. 由(1.22)式可知, 存在常数 c_N 使得

$$\mathcal{Z}_N = c_N \int_{\mathbf{H}_N(\gamma)} e^{-\text{tr } V(H)} dH,$$

再结合(2.21)可得

$$\begin{aligned}\frac{\partial \mathcal{Z}_N}{\partial t_k} &= -\frac{c_N}{k} \int_{H_N(\gamma)} \text{tr}(H^k) e^{-\text{tr} V(H)} dH \\ &= -\frac{\mathcal{Z}_N}{k} \langle \text{tr}(H^k) \rangle_N = -\frac{\mathcal{Z}_N}{k} \text{tr}(\mathbf{Q}^k)_{[N]},\end{aligned}$$

从而有

$$\text{tr}(\mathbf{Q}^k)_{[N]} = -k \frac{\partial \log \mathcal{Z}_N}{\partial t_k}. \quad (2.41)$$

因此, 由(2.37)可知

$$0 = \text{tr}(V'(\mathbf{Q}))_{[N]} = \sum_{j=0}^d t_{j+1} \text{tr}(\mathbf{Q}^j)_N = N t_1 - \sum_{j=1}^d j t_{j+1} \frac{\partial \log \mathcal{Z}_N}{\partial t_j}.$$

再注意 $(\mathbf{Q}V'(\mathbf{Q}))_{kk} = \gamma_k \cdot \frac{k}{\gamma_k} + \gamma_{k+1} \cdot \frac{k+1}{\gamma_{k+1}} = 2k + 1$, 从而

$$N^2 = \text{tr}(\mathbf{Q}V'(\mathbf{Q}))_{[N]} = \sum_{j=1}^{d+1} t_j \text{tr}(\mathbf{Q}^j)_{[N]} = - \sum_{j=1}^{d+1} j t_j \frac{\partial \log \mathcal{Z}_N}{\partial t_j},$$

从而命题得证. □

2.5 例子: Hermite 多项式

我们考察一个重要的例子: 若势函数

$$V(x) = \frac{1}{2}x^2,$$

并且积分路径 $\gamma = \mathbb{R}$, 则相应的正交多项式 $p_k(x)$ 是著名的 **Hermite 多项式**, 我们把它重新记为 $\mathfrak{h}_k(x)$. 注意此时 $V'(x) = x$, 从而相应的算子 \mathbf{Q} 满足 $V'(\mathbf{Q}) = \mathbf{Q}$, 于是由(2.37)立即解得

$$\gamma_k = \sqrt{k}, \quad S_k = 0, \quad (2.42)$$

于是

$$\boldsymbol{Q} = \begin{pmatrix} 0 & \sqrt{1} & & & \\ \sqrt{1} & 0 & \sqrt{2} & & \\ & \sqrt{2} & 0 & \sqrt{3} & \\ & & \sqrt{3} & 0 & \ddots \\ & & & \ddots & \ddots \end{pmatrix}, \boldsymbol{P} = \frac{1}{2} \begin{pmatrix} 0 & -\sqrt{1} & & & \\ \sqrt{1} & 0 & -\sqrt{2} & & \\ & \sqrt{2} & 0 & -\sqrt{3} & \\ & & \sqrt{3} & 0 & \ddots \\ & & & \ddots & \ddots \end{pmatrix}.$$

第 0 个正交多项式总是恒为 1 的常值多项式, 即 $\mathfrak{h}_0(x) = 1$. 因此

$$h_0 = \langle \mathfrak{h}_0 | \mathfrak{h}_0 \rangle = \int_{\mathbb{R}} \mathfrak{h}_0(x) \mathfrak{h}_0(x) \mathbf{e}^{-\frac{x^2}{2}} \mathrm{d}x = \int_{\mathbb{R}} \mathbf{e}^{-\frac{x^2}{2}} \mathrm{d}x = \sqrt{2\pi}.$$

再结合(2.15)(2.42)可得

$$h_k = \sqrt{2\pi} k!,$$

从而有

$$\int_{\mathbb{R}} \mathfrak{h}_k(x) \mathfrak{h}_j(x) \mathbf{e}^{-\frac{x^2}{2}} \mathrm{d}x = \delta_{kj} \sqrt{2\pi} k!,$$

并且相应的归一化函数 $\psi_k(x)$ 为

$$\psi_k(x) = \frac{1}{\sqrt{\sqrt{2\pi} k!}} \mathfrak{h}_k(x) \mathbf{e}^{-\frac{x^2}{4}}. \quad (2.43)$$

此时, 递推关系(2.13)(2.34)等价于

$$x\psi_k(x) = \sqrt{k}\psi_{k-1}(x) + \sqrt{k+1}\psi_{k+1}(x) \quad (2.44)$$

$$\psi'_k(x) = -\frac{x}{2}\psi_k(x) + \sqrt{k}\psi_{k-1}(x). \quad (2.45)$$

反复使用以上两式, 可以得到 $\psi_k(x)$ 所满足的微分方程

$$\psi''_k(x) + \left(k + \frac{1}{2} - \frac{x^2}{4}\right) \psi_k(x) = 0. \quad (2.46)$$

利用(2.43)可将以上关于 ψ_k 的方程都改写为关于 \mathfrak{h}_k 的方程:

$$\mathfrak{h}_{k+1}(x) = x\mathfrak{h}_k(x) - k\mathfrak{h}_{k-1}(x), \quad \mathfrak{h}'_k(x) = k\mathfrak{h}_{k-1}(x), \quad (2.47)$$

$$\mathfrak{h}''_k(x) - x\mathfrak{h}'_k(x) + k\mathfrak{h}_k(x) = 0. \quad (2.48)$$

此外, 相应的 Christoffel-Darboux 公式(2.27)为

$$\sum_{k=0}^{N-1} \psi_k(x)\psi_k(y) = \sqrt{N} \frac{\psi_{N-1}(x)\psi_N(y) - \psi_N(x)\psi_{N-1}(y)}{y-x}, \quad (2.49)$$

$$\sum_{k=0}^{N-1} \frac{\mathfrak{h}_k(x)\mathfrak{h}_k(y)}{k!} = \frac{1}{(N-1)!} \frac{\mathfrak{h}_{N-1}(x)\mathfrak{h}_N(y) - \mathfrak{h}_N(x)\mathfrak{h}_{N-1}(y)}{y-x}. \quad (2.50)$$

对上式取极限 $y \rightarrow x$, 并注意(2.47), 整理得到

$$\mathfrak{h}_N^2(x) - \mathfrak{h}_{N+1}(x)\mathfrak{h}_{N-1}(x) = (N-1)! \sum_{k=0}^{N-1} \frac{\mathfrak{h}_k^2(x)}{k!}. \quad (2.51)$$

特别地, 当 $x \in \mathbb{R}$ 时, $\mathfrak{h}_N^2(x) - \mathfrak{h}_{N+1}(x)\mathfrak{h}_{N-1}(x) > 0$, 此乃 **Turán** 不等式.

由 $\mathfrak{h}_0(x) = 1$ 以及递推关系(2.47)可得前几个 Hermite 多项式:

$$\mathfrak{h}_1(x) = x,$$

$$\mathfrak{h}_2(x) = x^2 - 1,$$

$$\mathfrak{h}_3(x) = x^3 - 3x,$$

$$\mathfrak{h}_4(x) = x^4 - 6x^2 + 3,$$

$$\mathfrak{h}_5(x) = x^5 - 10x^3 + 15x,$$

$$\mathfrak{h}_6(x) = x^6 - 15x^4 + 45x^2 - 15,$$

$$\mathfrak{h}_7(x) = x^7 - 21x^5 + 105x^3 - 105x,$$

$$\mathfrak{h}_8(x) = x^8 - 28x^6 + 210x^4 - 420x^2 + 105,$$

$$\begin{aligned}\mathfrak{h}_9(x) &= x^9 - 36x^7 + 378x^5 - 1260x^3 + 945x, \\ \mathfrak{h}_{10}(x) &= x^{10} - 45x^8 + 630x^6 - 3150x^4 + 4725x^2 - 945.\end{aligned}$$

我们还可以用多种方式写出 Hermite 多项式的通项:

习题 2.12. 记 $\partial_x := \frac{d}{dx}$ 为微分算子, 则 $\mathfrak{h}_k(x)$ 满足如下等式:

$$\mathfrak{h}_k(x) = (x - \partial_x)^k \cdot 1 = e^{\frac{1}{2}x^2} (-\partial_x)^k e^{-\frac{1}{2}x^2} = e^{-\frac{1}{2}\partial_x^2} x^k, \quad (2.52)$$

$$\sum_{k=0}^{\infty} \frac{\mathfrak{h}_k(x)}{k!} t^k = e^{xt - \frac{1}{2}t^2}. \quad (2.53)$$

证明. 由(2.47)可知 $\mathfrak{h}_{k+1}(x) = (x - \partial_x)\mathfrak{h}_k(x)$, 从而易知

$$\mathfrak{h}_k(x) = (x - \partial_x)^k \cdot 1.$$

注意 $[x, \partial_x] = 1$ 以及 $[x, [x, \partial_x]] = [\partial_x, [x, \partial_x]] = 0$, 从而由李理论中的 Zassenhaus 公式 (Baker-Campbell-Hausdorff 公式的变种) 得

$$\begin{aligned}\sum_{k=0}^{\infty} \frac{\mathfrak{h}_k(x)}{k!} t^k &= \sum_{k=0}^{\infty} \frac{t^k (x - \partial_x)^k}{k!} \cdot 1 = e^{t(x - \partial_x)} \cdot 1 \\ &= \left(e^{tx} e^{-t\partial_x} e^{-\frac{1}{2}t^2[x, -\partial_x]} \right) \cdot 1 = e^{xt - \frac{1}{2}t^2}.\end{aligned}$$

再由 $\partial_x e^{xt} = t e^{xt}$ 易知对任意 (在 0 处解析的) 函数 $f(x)$ 都有 $f(\partial_x) e^{xt} = f(t) e^{xt}$, 从而

$$e^{xt - \frac{1}{2}t^2} = e^{-\frac{1}{2}t^2} e^{xt} = e^{-\frac{1}{2}\partial_x^2} \cdot e^{xt},$$

在 $t = 0$ 处展开即得 $\mathfrak{h}_k(x) = e^{-\frac{1}{2}\partial_x^2} \cdot x^k$.

最后, 由泰勒公式 $f(x+t) = e^{t\partial_x} f(x)$ 得

$$e^{xt - \frac{1}{2}t^2} = e^{\frac{1}{2}x^2} e^{-\frac{1}{2}(x-t)^2} = e^{\frac{1}{2}x^2} e^{-t\partial_x} e^{-\frac{1}{2}x^2},$$

将上式在 $t = 0$ 处展开可知 $\mathfrak{h}_k(x) = e^{\frac{1}{2}x^2} (-\partial_x)^k e^{-\frac{1}{2}x^2}$. 证毕. □

Hermite 多项式广泛出现于各种数学物理分支, 例如量子力学 (量子谐振子)、组合数学、概率论 (布朗运动) 等.

习题 2.13. (组合计数). $h_n(x)$ 的 x^k 项系数的绝对值恰为将 n 元集合划分为 k 个 1 元子集与 $\frac{n-k}{2}$ 个 2 元子集之无交并的方法数.

证明. 考虑指数生成函数(2.53)

$$\begin{aligned} e^{xt - \frac{1}{2}t^2} &= e^{xt} e^{-\frac{1}{2}t^2} = \left(\sum_{k=0}^{\infty} \frac{x^k}{k!} t^k \right) \left(\sum_{k=0}^{\infty} \frac{(-1)^k}{2^k k!} t^{2k} \right) \\ &= \sum_{n=0}^{\infty} \left(\sum_{\ell=0}^{\lfloor \frac{n}{2} \rfloor} \frac{(-1)^\ell}{2^\ell \ell!} \frac{x^{n-2\ell}}{(n-2\ell)!} \right) t^n, \end{aligned}$$

比较 t^n 的系数得

$$h_n(x) = \sum_{\ell=0}^{\lfloor \frac{n}{2} \rfloor} (-1)^\ell \binom{n}{2\ell} (2\ell-1)!! x^{n-2\ell}.$$

注意 $\binom{n}{2\ell} (2\ell-1)!!$ 恰为将 n 元集合划分为 ℓ 个 2 元子集与 $(n-2\ell)$ 个 1 元子集之无交并的方法数, 从而得证. \square

习题 2.14. 若随机变量 X 服从正态分布 $N(\mu, 1)$, 则

$$\mathbb{E}[h_k(X)] = \mu^k.$$

证明. 随机变量 X 的概率密度 $f(x) = \frac{1}{\sqrt{2\pi}} e^{-\frac{1}{2}(x-\mu)^2}$, 从而

$$\begin{aligned} \sum_{k=0}^{\infty} \frac{\mathbb{E}[h_k(X)]}{k!} t^k &= \int_{\mathbb{R}} \sum_{k=0}^{\infty} \frac{h_k(x)}{k!} t^k f(x) dx \\ &= \frac{1}{\sqrt{2\pi}} \int_{\mathbb{R}} e^{xt - \frac{1}{2}t^2} e^{-\frac{1}{2}(x-\mu)^2} dx = \frac{e^{t\mu}}{\sqrt{2\pi}} \int_{\mathbb{R}} e^{-\frac{1}{2}(x-t-\mu)^2} dx = e^{t\mu}, \end{aligned}$$

之后比较上式两边 t^k 的系数即得证. \square

注记 2.15. Hermite 多项式还有另一个常见的版本:

$$H_k(x) := 2^{\frac{k}{2}} \mathfrak{h}_k(\sqrt{2}x),$$

它所满足的通项公式为

$$H_k(x) = (2x - \partial_x)^k \cdot 1 = e^{x^2} (-\partial_x)^k e^{-x^2} = 2^n e^{-\frac{1}{4}\partial_x^2} x^k.$$

为区分这两者, 人们称 $\mathfrak{h}_k(x)$ 为**概率学家 Hermite 多项式**, 称 $H_k(x)$ 为**物理学家 Hermite 多项式**.

3. Toda 方程簇及其约化

下面浅谈矩阵积分与可积系统的联系. 我们将依次了解矩阵积分 \mathcal{Z}_N 与 **Toda 方程簇**、**等单值全纯 ODE** 以及 **KP 方程簇** 的联系. 大致来说, \mathcal{Z}_N 往往是可积方程簇 (在各种意义下) 的 τ 函数.

3.1 经典 Toda 链

本小节我们通过 **Toda 链** 的例子来介绍可积系统的一些基础知识. 作为必要准备, 这里需要假定读者了解**哈密顿力学**与**辛几何**的基本概念与原理, 这些内容可参考任何一本标准教材, 例如 [19] 等.

所谓 **Toda 链** [21] 是指如下的动力学系统: 考虑位于一条直线上的 n 个质点, 其位置与动量分别依次记为 q^1, \dots, q^n 与 p_1, \dots, p_n . 该系统的哈密顿量为

$$H = \frac{1}{2} \sum_{k=1}^n p_k^2 + \sum_{k=1}^{n-1} e^{2(q^k - q^{k+1})}. \quad (3.1)$$

该系统的相空间自然取为余切丛 $T^*\mathbb{R}^n = \{(\mathbf{q}, \mathbf{p}) \mid \mathbf{q}, \mathbf{p} \in \mathbb{R}^n\}$ 配以典范泊松结构 $\{q^i, q^j\} = \{p_i, p_j\} = 0, \{q^i, p_j\} = \delta_j^i$.

该系统可以用来描述含有 n 个原子的直线形分子的运动: 相邻两个原子 q^k, q^{k+1} 的相互作用势能为 $e^{2(q^k - q^{k+1})}$, 而不相邻的原子之间的相互作用被忽略不计. 容易验证该系统的演化方程 $\frac{d}{dt} = \{\cdot, H\}$ 为

$$\begin{aligned}\dot{q}^k &= p_k, \\ \dot{p}_\ell &= 2 \left(e^{2(q^{\ell-1} - q^\ell)} - e^{2(q^\ell - q^{\ell+1})} \right), \\ \dot{p}_1 &= -2e^{2(q^1 - q^2)}, \quad \dot{p}_n = 2e^{2(q^{n-1} - q^n)},\end{aligned}\tag{3.2}$$

其中 $1 \leq k \leq n, 2 \leq \ell \leq n-1$.

Flaschka[11] 引入如下新变量

$$a_k := e^{q^k - q^{k+1}}, \quad B_\ell := p_{\ell+1},\tag{3.3}$$

其中 $1 \leq k \leq n-1, 0 \leq \ell \leq n-1$, 则演化方程(3.2)可改写为

$$\begin{aligned}\dot{a}_k &= a_k(B_{k-1} - B_k), \\ \dot{B}_\ell &= 2(a_\ell^2 - a_{\ell+1}^2), \\ \dot{B}_0 &= -2a_1^2, \quad \dot{B}_{n-1} = 2a_{n-1}^2.\end{aligned}\tag{3.4}$$

而更有意思的是, 若引入 $n \times n$ 矩阵

$$L := \begin{pmatrix} B_0 & a_1 & & & \\ a_1 & B_1 & \ddots & & \\ & \ddots & \ddots & a_{n-1} & \\ & & a_{n-1} & B_{n-1} \end{pmatrix}, \quad M := \begin{pmatrix} 0 & -a_1 & & & \\ a_1 & 0 & \ddots & & \\ & \ddots & \ddots & -a_{n-1} & \\ & & a_{n-1} & 0 \end{pmatrix},\tag{3.5}$$

则演化方程(3.4)可进一步改写为如下 **Lax** 方程

$$\frac{dL}{dt} = [M, L].\tag{3.6}$$

在可积系统理论中, 上述 L 称为 Toda 链(3.4)的 **Lax 算子**. 根据某些经验, 若演化方程能改写成 **Lax 方程** 的样子, 那我们就有办法构造出该时间演化的一系列对称, 从而该系统某种意义上是可积的.

下面我们来构造 **Toda 方程簇**. 对于任意的 n 阶方阵 $X = (X_{ij}) \in \mathfrak{gl}(n, \mathbb{R})$, 将 X 的 (严格) 上三角部分、对角部分与 (严格) 下三角部分分别记作 X_u, X_d 与 X_l , 并且在本小节临时定义

$$X_{\oplus} := X_l - X_l^T, \quad X_{\ominus} := X_u + X_l^T + X_d, \quad (3.7)$$

它们分别 (临时地) 称为 X 的**正部**与**负部**. 易知 X_{\oplus} 是反对称的, 而 X_{\ominus} 是上三角的. 容易验证 $X = X_{\oplus} + X_{\ominus}$ 诱导线性空间的直和分解

$$\mathfrak{gl}(n, \mathbb{R}) = \mathfrak{o}(n) \oplus \mathfrak{t}(n, \mathbb{R}), \quad (3.8)$$

其中 $\mathfrak{o}(n)$ 为 n 阶反对称实方阵之全体 (正交李代数), 而 $\mathfrak{t}(n, \mathbb{R})$ 为 n 阶上三角实方阵之全体 (上三角李代数), 它们都是 $\mathfrak{gl}(n, \mathbb{R})$ 的李子代数.

例如 Lax 方程(3.6)中的矩阵 M 满足 $M = L_{\oplus}$.

定义 3.1. **Toda 方程簇**是指如下偏微分方程组

$$\frac{\partial L}{\partial t_k} = [(L^k)_{\oplus}, L], \quad 1 \leq p \leq n-1. \quad (3.9)$$

特别地, 当 $p = 1$ 时上述方程恰为(3.6).

注意 L 是对称矩阵, 并且只在主对角线与两条副对角线上才可能有非零元 (即, 矩阵元 $L_{ij} \neq 0$ 仅当 $|i - j| \leq 1$). 而(3.9)等号右边的那个矩阵显然也具有此性质吗? 乍看似乎不太显然.

一方面, 由正部 $(\cdot)_{\oplus}$ 的定义知 $(L^p)_{\oplus}$ 是反对称矩阵; 又因为 L 是对称矩阵, 从而直接验证可知 $[(L^p)_{\oplus}, L]$ 是对称矩阵. 另一方面, 注意

$L^p = (L^p)_\oplus + (L^p)_\ominus$, 而 $[L^p, L] = 0$, 从而

$$[(L^p)_\oplus, L] = -[(L^p)_\ominus, L].$$

注意 $(L^p)_\ominus$ 是上三角阵, 并且当 $i > j + 1$ 时 $L_{ij} = 0$, 从而矩阵乘法直接验证可知当 $i > j + 1$ 时 $[(L^p)_\ominus, L]$ 的 (i, j) 分量也为 0. 综上所述, $[(L^p)_\oplus, L]$ 是对称矩阵, 并且其 (i, j) 分量非零仅当 $|i - j| \leq 1$.

除了上述讨论外, 方程组(3.9)的良好性还需要另一个必要条件:

$$\frac{\partial}{\partial t_p} \frac{\partial L}{\partial t_q} = \frac{\partial}{\partial t_q} \frac{\partial L}{\partial t_p}, \quad (3.10)$$

换言之, 流 $\{\frac{\partial}{\partial t_p}\}_{1 \leq p \leq n-1}$ 两两交换, $[\frac{\partial}{\partial t_p}, \frac{\partial}{\partial t_q}] = 0$. 易验证(3.10)等价于

$$\left[\frac{\partial(L^p)_\oplus}{\partial t_q} - \frac{\partial(L^q)_\oplus}{\partial t_p} + [(L^p)_\oplus, (L^q)_\oplus], L \right] = 0.$$

而我们其实能够证明:

引理 3.2. (零曲率方程). 记号承上, 则成立

$$\frac{\partial(L^p)_\oplus}{\partial t_q} - \frac{\partial(L^q)_\oplus}{\partial t_p} + [(L^p)_\oplus, (L^q)_\oplus] = 0. \quad (3.11)$$

证明. 注意投影算子 $(\cdot)_\oplus$ 显然与微分算子 $\frac{\partial}{\partial t^p}$ 可交换, 从而

$$\frac{\partial(L^p)_\oplus}{\partial t_q} = \left(\frac{\partial L^p}{\partial t_q} \right)_\oplus = \left(\sum_{k=0}^{p-1} L^k [(L^q)_\oplus, L] L^{p-1-k} \right)_\oplus = [(L^q)_\oplus, L^p]_\oplus,$$

并注意 $\mathfrak{o}(n), \mathfrak{t}(n, \mathbb{R})$ 都是李子代数, 于是有

$$\frac{\partial(L^p)_\oplus}{\partial t_q} - \frac{\partial(L^q)_\oplus}{\partial t_p} + [(L^p)_\oplus, (L^q)_\oplus]$$

$$\begin{aligned}
&= [(L^q)_\oplus, L^p]_\oplus - [(L^p)_\oplus, L^q]_\oplus + [(L^p)_\oplus, (L^q)_\oplus] \\
&= -[L^p, (L^q)_\oplus]_\oplus + [(L^p)_\ominus, L^q]_\oplus + [(L^p)_\oplus, (L^q)_\oplus]_\oplus \\
&= [(L^p)_\ominus, L^q]_\oplus - [(L^p)_\ominus, (L^q)_\oplus]_\oplus \\
&= [(L^p)_\ominus, (L^q)_\ominus]_\oplus = 0,
\end{aligned}$$

从而得证. 这表明相容性条件(3.10)确实成立. \square

注记 3.3. Toda 方程簇(3.9)的构造方法可以推广到一般的李代数, 尤其是某些无穷维李代数 (比如形式差分算子代数, 形式拟微分算子代数等). 大致来说, 给定李代数 \mathfrak{g} 的李子代数直和分解 $\mathfrak{g} = \mathfrak{g}_\oplus \oplus \mathfrak{g}_\ominus$, 则可以构造出 \mathfrak{g} 上的偏微分方程组

$$\frac{\partial L}{\partial t_k} = [(f_k(L))_\oplus, L],$$

其中未知函数 $L \in \mathfrak{g}$, 时间变量 t_1, \dots, t_N , 并且 f_k 为某些特定的函数使得 $[f_k(L), L] = 0$. 则用同样方法可以验证这些流两两交换, 即 $[\frac{\partial}{\partial t_p}, \frac{\partial}{\partial t_q}] = 0$. 如此构造可积系统的技巧称为 Adler-Kostant-Symes 构造 [1, 16, 20].

注记 3.4. 我们所谈论的 Toda 链(3.1)涉及有限个质点, 相应的 Toda 方程簇(3.9)涉及有限个时间变量 t_1, \dots, t_{n-1} . 然而, 我们往往更习惯无穷多个时间变量 $\{t_p\}_{p \geq 1}$ 的情形: 只需要把哈密顿量(3.1)改成无穷多个质点的版本, 此时相应的 Lax 算子可表示为无穷矩阵

$$L = \begin{pmatrix} B_0 & a_1 & & \\ a_1 & B_1 & a_2 & \\ & a_2 & B_2 & \ddots \\ & & \ddots & \ddots \end{pmatrix}, \quad (3.12)$$

并且相应的 Toda 方程簇为

$$\frac{\partial L}{\partial t_k} = [(L^k)_\oplus, L], \quad (3.13)$$

其中 $L = L(\mathbf{t})$ 是关于无穷多个时间变量 $\mathbf{t} = (t_1, t_2, \dots)$ 的函数.

注记 3.5. 或许读者已经注意到, Toda 方程簇的 Lax 算子(3.12)的形状与正交多项式的三项递推算子 Q (2.15)完全一样; 此外, 微分递推算子 P (2.35)可用本小节的记号改写为 $P = \frac{1}{2}V'(\mathbf{Q})_{\oplus}$. 这些现象启发我们将 Toda 方程簇与矩阵积分联系起来.

3.2 Toda 方程簇与正交多项式

我们回到对正交多项式的讨论, 并沿用前文第2节的记号. 为方便讨论, 这里不妨将势函数(2.32)取为形式幂级数

$$V(x) = \sum_{k=1}^{\infty} \frac{t_k}{k} x^k, \quad (3.14)$$

其中 $\mathbf{t} = (t_1, t_2, \dots)$ 为无穷多个形变参数. 这其实与 $V(x)$ 是多项式的情形区别不大, 例如可以验证此时(2.35)依然成立.

我们回忆, 正交多项式 $p_k(x)$ 、归一化函数 $\psi_k(x)$ 以及递推算子 Q 等诸多数据都与势函数 $V(x)$ 有关, 势函数的变化会导致 p_k, ψ_k, Q 等数据的变化, 而 $V(x)$ 的形变自然被参数 \mathbf{t} 所刻画. 于是自然要谈论 p_k, ψ_k, Q 与形变参数 \mathbf{t} 的关系.

性质 3.6. 记号承上, 则 $\psi = \psi(\mathbf{t}; x)$ 满足如下形变方程:

$$\frac{\partial \psi}{\partial t_k} = \mathcal{U}_k \psi, \quad k \geq 1, \quad (3.15)$$

其中 \mathcal{U}_k 是反对称无穷矩阵, 满足

$$\mathcal{U}_k = -\frac{1}{2k} ((Q^k)_u - (Q^k)_l) = \frac{1}{2k} (Q^k)_{\oplus}. \quad (3.16)$$

证明. 与性质2.9的证明过程完全类似. 同样的原因可知 \mathcal{U}_k 是反对称的. 另一方面, 由 $\psi_n(x) = \frac{p_n(x)}{\sqrt{h_n}} e^{-\frac{1}{2}V(x)}$ 直接计算得

$$\frac{\partial \psi_n}{\partial t_k}(x) = -\frac{x^k}{2k} \psi_n(x) + q_{n,k}(x) e^{-\frac{1}{2}V(x)}, \quad (3.17)$$

其中 $q_{n,k}(x)$ 是某个关于 x 的次数不超过 n 的多项式. 于是立刻得到 $(\mathcal{U}_k)_u = -\frac{(Q^k)_u}{2k}$. 再结合 \mathcal{U}_k 的反对称性即可得(3.16). \square

于是, 归一化函数 $\psi = \psi(\mathbf{t}; x)$ 满足如下方程组:

$$Q\psi = x\psi, \quad (3.18)$$

$$\frac{\partial \psi}{\partial t_k} = \mathcal{U}_k \psi, \quad k \geq 1. \quad (3.19)$$

$$\frac{\partial \psi}{\partial x} = P\psi, \quad (3.20)$$

其中前两个方程分别是谱问题与时间演化. 既然该方程组的解 $\psi(\mathbf{t}; x)$ 确实存在, 那么该方程组中的各个方程就应该满足相应的相容性条件, 例如由(3.18)与(3.19)可知

$$\begin{aligned} \frac{\partial}{\partial t_k}(Q\psi) &= \frac{\partial Q}{\partial t_k} \psi + Q \frac{\partial \psi}{\partial t_k} = \left(\frac{\partial Q}{\partial t_k} + Q\mathcal{U}_k \right) \psi, \\ \frac{\partial}{\partial t_k}(Q\psi) &= \frac{\partial}{\partial t_k}(x\psi) = x\mathcal{U}_k \psi = (\mathcal{U}_k Q)\psi, \end{aligned}$$

从而得到相容性条件

$$\left(\frac{\partial Q}{\partial t_k} - [\mathcal{U}_k, Q] \right) \psi = 0.$$

注意矩阵 \mathcal{U}_k, Q 的系数都不显含 x , 而 ψ 的各分量作为 x 的函数是线性无关的. 从而由线性无关性立刻得到

$$\frac{\partial Q}{\partial t_k} = [\mathcal{U}_k, Q] = \frac{1}{2k} [(Q^k)_{\oplus}, Q], \quad (3.21)$$

这在相差常数倍意义下 (或者时间伸缩 $t_k \mapsto 2kt_k$) 恰好是 Toda 方程簇(3.13). 此外, (3.19)的相容性给出类似于(3.11)的零曲率方程, 而(3.18)与(3.20)的相容性条件恰为(2.38).

习题 3.7. 对于 $k \geq 1$, 引入记号

$$S_n^{(k)} := (Q^k)_{nn}, \quad \gamma_n^{(k)} := (Q^k)_{n-1,n}, \quad (3.22)$$

特别地有 $S_n^{(1)} = S_n$, $\gamma_n^{(1)} = \gamma_n$. 验证: 方程(3.21)等价于

$$\frac{\partial \gamma_n}{\partial t_k} = \frac{\gamma_n}{2k} \left(S_{n-1}^{(k)} - S_n^{(k)} \right), \quad (3.23)$$

$$\frac{\partial S_n}{\partial t_k} = \frac{1}{k} \left(\gamma_n^{(k)} \gamma_n - \gamma_{n+1}^{(k)} \gamma_{n+1} \right). \quad (3.24)$$

若细抠(3.17)式, 我们还能得到:

习题 3.8. 记 $\phi_n := \log h_n$, 其中 h_n 见(2.2). 证明如下等式:

$$\frac{\partial \phi_n}{\partial t_k} = -\frac{1}{k} S_n^{(k)}, \quad (3.25)$$

从而再次得到(2.41). 特别地, 验证 ϕ_n 满足 Toda 方程

$$\frac{\partial^2 \phi_n}{\partial t_1^2} = e^{\phi_{n+1} - \phi_n} - e^{\phi_n - \phi_{n-1}}, \quad (3.26)$$

并将此式与(3.2)比较.

证明. 注意正交多项式 $p_n(x)$ 的最高此项系数恒为 1, 从而 $\frac{\partial p_n}{\partial t_k}$ 是次数不超过 $n-1$ 的多项式. 于是对(2.4)两边求导得

$$\frac{\partial \psi_n}{\partial t_k} = -\frac{x^k}{2k} \psi_n + \frac{\partial h_n^{-\frac{1}{2}}}{\partial t_k} \sqrt{h_n} \psi_n + \cdots$$

$$= \left(-\frac{1}{2k}(\mathbf{Q}^k)_{nn} - \frac{1}{2} \frac{\partial \log h_n}{\partial t_k} \right) \psi_n + \sum_{m \neq n} c_{m,k} \psi_m,$$

其中 $c_{m,k} = c_{m,k}(\mathbf{t})$ 不显含 x . 结合 \mathcal{U}_k 的定义(3.15)可知

$$(\mathcal{U}_k)_{nn} = -\frac{1}{2k}(\mathbf{Q}^k)_{nn} - \frac{1}{2} \frac{\partial \log h_n}{\partial t_k}$$

又因为 \mathcal{U}_k 反对称, 其对角元 $(\mathcal{U}_k)_{nn} = 0$, 从而(3.25)得证. 最后再由 γ_n 与 h_n 的关系(2.15)容易得到(3.26). \square

习题 3.9. 证明如下等式:

$$k \frac{\partial S_n^{(j)}}{\partial t_k} = j \frac{\partial S_n^{(k)}}{\partial t_j}, \quad (3.27)$$

$$k \frac{\partial}{\partial t_k} (\gamma_n \gamma_n^{(j)}) = j \frac{\partial}{\partial t_j} (\gamma_n \gamma_n^{(k)}). \quad (3.28)$$

证明. 由相容性 $\frac{\partial}{\partial t_k} \left(\frac{\partial \log h_n}{\partial t_j} \right) = \frac{\partial}{\partial t_j} \left(\frac{\partial \log h_n}{\partial t_k} \right)$ 以及(3.25)可得第一个等式; 而由 $\frac{\partial}{\partial t_k} \left(\frac{\partial \operatorname{tr} \mathbf{Q}_{[n]}}{\partial t_j} \right) = \frac{\partial}{\partial t_j} \left(\frac{\partial \operatorname{tr} \mathbf{Q}_{[n]}}{\partial t_k} \right)$ 以及(3.24)可得第二个等式. \square

习题 3.10. 证明如下等式:

$$\mathbb{V}_{-1} \mathbf{Q} = -\mathbf{I} \quad (3.29)$$

$$\mathbb{V}_{-1} S_n^{(k)} = -k S_n^{(k-1)}, \quad (3.30)$$

$$\mathbb{V}_{-1} \gamma_n^{(k)} = -k \gamma_n^{(k-1)}. \quad (3.31)$$

其中 Virasoro 算子 $\mathbb{V}_{-1} = \mathbb{V}_{-1}(\mathbf{t}, \frac{\partial}{\partial \mathbf{t}})$ 的定义如下

$$\mathbb{V}_{-1} := \sum_{k=1}^{\infty} k t_{k+1} \frac{\partial}{\partial t_k}. \quad (3.32)$$

证明. 由(2.35)(3.14)以及(3.15)可知

$$P = \sum_{k=1}^{\infty} kt_{k+1} \mathcal{U}_k, \quad (3.33)$$

再结合(2.38)(3.21)即可得到

$$\mathbb{V}_{-1}Q = \sum_{k=1}^{\infty} kt_{k+1} \frac{\partial Q}{\partial t_k} = \sum_{k=1}^{\infty} kt_{k+1} [\mathcal{U}_k, Q] = [P, Q] = -I.$$

之后注意 $\mathbb{V}_{-1}(Q^k) = kQ^{k-1}(\mathbb{V}_{-1}Q) = -kQ^{k-1}$, 两边取相应矩阵元即可得到(3.30)(3.31). \square

3.3 平移算子表示, tau 函数

本小节以及下一小节将给出关于可积系统的若干注记.

注记 3.11. 把归一化函数 $\psi = \psi(\mathbf{t}; x)$ 满足的方程(3.18)–(3.20) 改写成关于正交多项式 $p(\mathbf{t}; x)$ 的方程, 就能得到 Toda 方程簇的另一种版本.

具体地说, 将(2.4)改写为矩阵形式

$$p = e^{-\frac{1}{2}V} H^{\frac{1}{2}} \psi,$$

其中

$$p := \begin{pmatrix} p_0 \\ p_1 \\ p_2 \\ \vdots \end{pmatrix}, \quad H^{\frac{1}{2}} := \begin{pmatrix} \sqrt{h_0} & & & \\ & \sqrt{h_1} & & \\ & & \sqrt{h_2} & \\ & & & \ddots \end{pmatrix},$$

则易知(3.18)可被改写为

$$\tilde{Q}p = xp, \quad (3.34)$$

其中 **Lax** 矩阵 \tilde{Q} 为

$$\tilde{Q} = \mathbf{H}^{\frac{1}{2}} \mathbf{Q} \mathbf{H}^{-\frac{1}{2}} = \begin{pmatrix} S_0 & 1 & & \\ \gamma_1^2 & S_1 & 1 & \\ & \gamma_2^2 & S_2 & \ddots \\ & & \ddots & \ddots \end{pmatrix}. \quad (3.35)$$

接下来我们把 Q 满足的 Toda 方程簇(3.21)用 \tilde{Q} 来表示. 为此, 先将(3.25)改写为如下的矩阵形式

$$\frac{\partial \mathbf{H}^{\frac{1}{2}}}{\partial t_k} = -\frac{1}{2k} \mathbf{H}^{\frac{1}{2}} (\mathbf{Q}^k)_d, \quad (3.36)$$

其中 $(\cdot)_d$ 表示矩阵的对角部分. 于是

$$\begin{aligned} \frac{\partial \tilde{Q}}{\partial t_k} &= \frac{\partial}{\partial t_k} \left(\mathbf{H}^{\frac{1}{2}} \mathbf{Q} \mathbf{H}^{-\frac{1}{2}} \right) \\ &= \frac{1}{2k} \mathbf{H}^{\frac{1}{2}} \left[(\mathbf{Q}^k)_l - (\mathbf{Q}^k)_u - (\mathbf{Q}^k)_d, \mathbf{Q} \right] \mathbf{H}^{-\frac{1}{2}} \\ &= -\frac{1}{k} \left[(\tilde{Q}^k)_+, \tilde{Q} \right], \end{aligned} \quad (3.37)$$

其中 $(\cdot)_u, (\cdot)_l$ 分别是矩阵的严格上三角部分与严格下三角部分, 而

$$(\cdot)_+ := (\cdot)_u + (\cdot)_d$$

为矩阵的上三角部分 (含对角线). 方程(3.37)是 Toda 方程簇的另一种等价版本, 也是笔者更熟悉的常用版本.

注记 3.12. Toda 方程簇(3.21)(3.37)是关于 Lax 算子 Q (或者 \tilde{Q}) 的矩阵元 $S_n = S_n(\mathbf{t}), \gamma_n = \gamma_n(\mathbf{t})$ 的方程. 我们把其中的下标 n 也看作变量, 即

$$\gamma = \gamma(\mathbf{t}; n), \quad S = S(\mathbf{t}; n),$$

则 n 被视为离散的空间变量, 其取值范围是 \mathbb{Z}_+ 或 $\mathbb{Z}_{\geq 0}$.

一个自然的想法是将空间变量 n 的取值范围延拓到 \mathbb{Z} , 并给出相应版本的 Toda 方程簇. 此时 Lax 算子 \tilde{Q} 的类似版本是如下“双边无穷”矩阵

$$\mathcal{L} = \begin{pmatrix} \ddots & \ddots & & & \\ & \ddots & S_{-1} & 1 & \\ & & \gamma_0^2 & S_0 & 1 \\ & & & \gamma_1^2 & S_1 & \ddots \\ & & & & \ddots & \ddots \end{pmatrix}, \quad (3.38)$$

相应的 Toda 方程簇为

$$\frac{\partial \mathcal{L}}{\partial t_k} = c_k [(\mathcal{L}^k)_+, \mathcal{L}], \quad k \geq 1, \quad (3.39)$$

其中 c_k 为给定的常数. 注意上述 \mathcal{L} 中的矩阵元 S_{-1}, S_{-2}, \dots 以及 $\gamma_0^2, \gamma_{-1}^2, \dots$ 并非来自于正交多项式 (或者矩阵积分). 或许它们可以被视为某种广义的矩阵积分.

“双边无穷矩阵”的语言毕竟不是特别“文明”, 我们最好用线性空间、线性算子的语言来重新表述. 考虑函数空间

$$\mathcal{V} := \{f: \mathbb{Z} \rightarrow \mathbb{C}\},$$

即定义在 \mathbb{Z} 上的 \mathbb{C} -值函数之全体, 它有自然的 \mathbb{C} -线性空间结构. 引入该函数空间上的**平移算子** $\Lambda \in \text{End}(\mathcal{V})$ 如下:

$$(\Lambda f)(n) := f(n+1), \quad (3.40)$$

其中 $f \in \mathcal{V}, n \in \mathbb{Z}$. 此外, 函数 $f \in \mathcal{V}$ 自然也视为 $\text{End}(\mathcal{V})$ 中的元素:

$$(fg)(n) := f(n)g(n), \quad \forall g \in \mathcal{V},$$

这是通常的函数乘法. 我们认为 Lax 算子 $\mathcal{L} \in \text{End}(\mathcal{V})$, 至于(3.38)则是它在 \mathcal{V} 的某“标准基”下的矩阵表示. 而用差分算子的语言, \mathcal{L} 可被改写为如下算子形式 [7]:

$$\mathcal{L} = \Lambda + v + \mathbf{e}^u \Lambda^{-1}, \quad (3.41)$$

在此我们记

$$v(n) := S_n, \quad u(n) := 2 \log \gamma_n = \phi_n - \phi_{n-1}, \quad (3.42)$$

其中 $\phi_n := \log h_n$, 见习题3.8.

Lax 算子 \mathcal{L} 也同样生活在如下的李代数中:

$$\mathfrak{g} := \left\{ \sum_{s=0}^{\infty} a_s \Lambda^{k-s} \mid k \in \mathbb{Z}, a_s \text{ 是关于 } \{\Lambda^p u, \Lambda^p v\}_{p \in \mathbb{Z}} \text{ 的函数} \right\},$$

即关于 Λ^{-1} 的形式 Laurent 级数. \mathfrak{g} 的李括号由线性算子的交换子以及形式幂级数的运算法则自然给出. 该李代数称为形式拟差分算子代数. 对于算子 $X = \sum_{s=0}^{\infty} a_s \Lambda^{k-s} \in \mathfrak{g}$, 定义

$$X_+ := \sum_{s=0}^k a_s \Lambda^{k-s}, \quad X_- := \sum_{s=k+1}^{\infty} a_s \Lambda^{k-s},$$

在“双边无穷矩阵”的语言中它们分别对应矩阵的上三角部分 (含对角线) 以及严格下三角部分. 这自然给出 \mathfrak{g} 的李子代数直和分解 $\mathfrak{g} = \mathfrak{g}_+ \oplus \mathfrak{g}_-$. 在此意义下依然有 Toda 方程簇(3.39).

由于空间变量 $n \in \mathbb{Z}$ 是离散的, 我们习惯称相应的可积系统 (比如 Toda 方程簇) 为离散可积系统. 而在形式拟差分算子代数 \mathfrak{g} 中的 Adler-Kostant-Symes 构造 (注记3.3) 是构造离散可积系统的重要方法, 除了 Toda 方程簇, 还有众多其它的离散可积系统都可由这种方法得到, 不过这超出了本讲义的范围.

注记 3.13. 由(2.3)可得

$$h_n = \frac{\mathcal{Z}_{n+1}}{\mathcal{Z}_n}.$$

依然把 n 视为变量, 则上式可用差分算子的语言改写为

$$\phi = (\Lambda - 1) \log \mathcal{Z},$$

其中 $\phi: n \mapsto \phi_n := \log h_n$. 再结合(3.42)的第二式, 我们有

$$u(n) = \log \frac{\mathcal{Z}_{n+1} \mathcal{Z}_{n-1}}{\mathcal{Z}_n^2},$$

或者用差分算子语言写成如下更紧凑的形式 [7]

$$u = (\Lambda - 1)(1 - \Lambda^{-1}) \log \mathcal{Z}. \quad (3.43)$$

在可积系统理论中, \mathcal{Z} 扮演了 Toda 方程簇 **tau 函数** 的角色. 粗略地说, Toda 方程簇是关于多个 (2 个) 未知函数 u, v (3.42) 的方程组; 而实际上这多个未知函数可以只用一个函数 \mathcal{Z} 来表示, 例如(3.43)给出了未知函数 u 与 **tau 函数** \mathcal{Z} 的关系. 而若要用 \mathcal{Z} 来表示 v , 则需要将 Toda 方程簇进行某种拓展, 得到所谓**拓展 Toda 方程簇** [7], 这超出本讲义的范围.

3.4 Volterra 方程簇与无色散 KdV 方程簇

我们继续补充一些可积系统的内容.

注记 3.14. 若将势函数 $V = V(\mathbf{t}; x)$ 限制在“大相空间” $\{(\mathbf{t}; x)\}$ 的某些特定的“子流形”上, 就能得到 Toda 方程簇的各种约化.

例如将 V 限制在 $\{t_{d+2} = t_{d+3} = \cdots = 0\}$ 上即为(2.32). 而一个更经典的例子是

$$\mathcal{Z}_n^{\text{even}} := \mathcal{Z}_n|_{t_1=t_3=t_5=\cdots=0}, \quad (3.44)$$

其相应的势函数 $V^{\text{even}}(\mathbf{t}; x) = \sum_{k=1}^{\infty} \frac{t_{2k}}{2k} x^{2k}$. 此时可以验证:

习题 3.15. 记号承上, 并且假定积分路径 $\gamma = \mathbb{R}$, 则相应的正交多项式 $p_n(x)$ 满足

$$p_n(-x) = (-1)^n p_n(x).$$

证明. 在(2.7)中考虑换元积分 $\lambda_i \mapsto -\lambda_i$, 并注意 $V^{\text{even}}(x)$ 是偶函数. 细节留给读者. \square

由此, 我们立刻得到

$$\langle xp_n | p_n \rangle = \int_{\mathbb{R}} xp_n^2(x) e^{-V^{\text{even}}(x)} dx = 0,$$

其中我们假定积分路径 $\gamma \subseteq \mathbb{C}$ 为实数轴 \mathbb{R} , 而最后一个等号是因为被积函数是关于 x 的奇函数. 上式表明三项递推算子 \mathbf{Q} 的对角元 S_n 都为 0, 从而 $\tilde{\mathbf{Q}}$ 形如

$$\tilde{\mathbf{Q}} = \begin{pmatrix} 0 & 1 & & \\ \mathbf{e}^{u_1} & 0 & 1 & \\ & \mathbf{e}^{u_2} & 0 & \ddots \\ & & \ddots & \ddots \end{pmatrix},$$

相应的 Lax 算子为

$$\mathcal{L} = \Lambda + \mathbf{e}^u \Lambda^{-1}.$$

由此给出的可积方程簇

$$\frac{\partial \mathcal{L}}{\partial t_{2k}} = c_{2k} \left[(\mathcal{L}^{2k})_+, \mathcal{L} \right], \quad k \geq 1 \quad (3.45)$$

称为 **Volterra 方程簇** (或者离散 **KdV 方程簇**), 它是 Toda 方程簇的约化, 同样也是一个重要的离散可积系统, 并且与 Hodge 积分等众多数学

物理概念联系密切 [9]. 例如, 直接计算可得

$$\mathcal{L}^2 = \Lambda^2 + \left(e^{u^+} + e^u \right) + e^u e^{u^-} \Lambda^{-2},$$

其中 $u^+ := \Lambda u$, $u^{++} := \Lambda^2 u$, $u^- := \Lambda^{-1} u \cdots$ 以此类推. 此外还可以直接写出 \mathcal{L}^4 的表达式 (从略), 从而暴力计算得 Volterra 方程簇(3.45)的前两个方程如下

$$\frac{1}{c_2} \frac{\partial u}{\partial t_2} = e^{u^+} - e^{u^-}, \quad (3.46)$$

$$\frac{1}{c_4} \frac{\partial u}{\partial t_4} = e^{u^+} \left(e^{u^{++}} + e^{u^+} + e^u \right) - e^{u^-} \left(e^u + e^{u^-} + e^{u^{--}} \right). \quad (3.47)$$

其实我们不必如此暴力计算, 只需注意:

习题 3.16. 对于 Volterra 方程簇(3.45)的 Lax 算子 \mathcal{L} , 记

$$\mathcal{L}^k = \sum_{\ell \in \mathbb{Z}} f_\ell^{[k]} \Lambda^\ell,$$

其中系数 $f_\ell^{[k]}$ 是关于 $\dots, u^-, u, u^+, \dots$ 的函数. 证明:

$$\frac{1}{c_{2k}} \frac{\partial u}{\partial t_{2k}} = (1 - \Lambda^{-1}) f_0^{[2k]} = (\Lambda - \Lambda^{-1}) f_{-1}^{[2k-1]} \quad (3.48)$$

证明. 直接比较 $[(\mathcal{L}^{2k})_+, \mathcal{L}]$ 的 Λ^{-1} 系数立刻得到 $\frac{1}{c_{2k}} \frac{\partial u}{\partial t_{2k}} = (1 - \Lambda^{-1}) f_0^{[2k]}$. 另一方面, 比较等式 $\mathcal{L}^{2k} = \mathcal{L} \cdot \mathcal{L}^{2k-1} = \mathcal{L}^{2k-1} \cdot \mathcal{L}$ 的 Λ^0 系数可得

$$\begin{aligned} f_0^{[2k]} &= \left(f_{-1}^{[2k-1]} \right)^+ + e^u \left(f_1^{[2k-1]} \right)^-, \\ f_0^{[2k]} &= e^{u^+} f_1^{[2k-1]} + f_{-1}^{[2k-1]}, \end{aligned}$$

由以上两式容易得到

$$(1 - \Lambda^{-1}) f_0^{[2k]} = \left(f_{-1}^{[2k-1]} \right)^+ - \left(f_{-1}^{[2k-1]} \right)^- = (\Lambda - \Lambda^{-1}) f_{-1}^{[2k-1]},$$

从而得证. □

上述方法当然也可以用来研究 Toda 方程簇(3.39)(3.41), 细节留给感兴趣的读者, 这里从略.

注记 3.17. 对于解析函数 $f(z)$, 我们有

$$(\Lambda f)(z) = f(z+1) = \sum_{k=0}^{\infty} \frac{f^{(k)}(z)}{k!} = e^{\partial_z} f(z),$$

从而 $\Lambda = e^{\partial_z}$. 对于定义在 \mathbb{Z} 上的函数 f , 我们总假装 f 是某个解析函数在 \mathbb{Z} 上的限制, 这也是处理离散空间变量的一种常用观点.

在 Volterra 方程簇(3.45)中, 引入新的时间变量与空间变量

$$\tilde{t}_{2k} := \varepsilon t_{2k}, \quad (3.49)$$

$$x := \varepsilon n, \quad (3.50)$$

其中 ε 为小参数. 则 $\frac{\partial}{\partial t_{2k}} = \varepsilon \frac{\partial}{\partial \tilde{t}_{2k}}$, 并且平移算子 Λ 满足

$$\Lambda = e^{\varepsilon \partial_x}. \quad (3.51)$$

此时方程(3.46)被改写为

$$\begin{aligned} \frac{\varepsilon}{c_2} \frac{\partial u}{\partial \tilde{t}_2} &= (\Lambda - \Lambda^{-1})e^u = 2 \left(\sum_{k=0}^{\infty} \frac{\varepsilon^{2k+1}}{(2k+1)!} \partial_x^{2k+1} \right) e^u \\ &= 2\varepsilon e^u u_x + \frac{\varepsilon^3}{3} e^u (u_{xxx} + 3u_x u_{xx} + u_x^3) + O(\varepsilon^5). \end{aligned}$$

上式两边取极限 $\varepsilon \rightarrow 0$, 则得到微分方程

$$\frac{1}{c_2} \frac{\partial u}{\partial \tilde{t}_2} = 2e^u u_x, \quad (3.52)$$

这称为方程(3.46)的连续极限 (或者无色散极限).

习题 3.18. 利用(3.48)式, 验证: Volterra 方程簇(3.45)的连续极限为

$$\frac{1}{c_{2k}} \frac{\partial u}{\partial \tilde{t}_{2k}} = \binom{2k}{k} (\mathbf{e}^{ku})_x, \quad k \geq 1. \quad (3.53)$$

证明. 对(3.48)取极限 $\varepsilon \rightarrow 0$, 注意 $1 - \Lambda^{-1} = \varepsilon \partial_x + O(\varepsilon^2)$, 从而

$$\begin{aligned} \frac{1}{c_{2k}} \lim_{\varepsilon \rightarrow 0} \frac{\partial u}{\partial \tilde{t}_{2k}} &= \partial_x \left(\lim_{\varepsilon \rightarrow 0} f_0^{[2k]} \right) \\ &= \partial_x \operatorname{Res}_{p=0} \left(p + \frac{\mathbf{e}^u}{p} \right)^{2k} \frac{dp}{p} = \binom{2k}{k} (\mathbf{e}^{ku})_x, \end{aligned}$$

从而得证. □

注记 3.19. 若引入新变量

$$v := \mathbf{e}^u,$$

则方程(3.53)可改写为

$$\frac{\partial v}{\partial \tilde{t}_{2k}} = c_{2k} \binom{2k}{k} k v^k v_x. \quad (3.54)$$

注意 (适当选择常数 c_{2k}) 这恰为无色散 **KdV** 方程簇.

4. Riemann-Hilbert 问题

在本章, 我们给定正整数 d , 并且考虑形如(2.32)的势函数

$$V(x) = \sum_{k=1}^{d+1} \frac{t_k}{k} x^k, \quad (4.1)$$

即 $t_{d+2} = t_{d+3} = \cdots = 0$ 的特殊情况, 并且记 $\mathbf{t} := (t_1, t_2, \dots, t_{d+1})$. 我们将从 **Riemann-Hilbert** 问题的角度来重新认识矩阵积分, 并将矩阵积分 \mathcal{Z}_N 与所谓等单值 **tau** 函数 (isomonodromic tau function) 联系起来.

4.1 折叠矩阵, 微分-差分-形变系统

对于正整数 n , 记 2 维列向量

$$\vec{\psi}_n := \begin{pmatrix} \psi_{n-1} \\ \psi_n \end{pmatrix}, \quad (4.2)$$

其中 $\psi_n = \psi_n(\mathbf{t}; x)$ 是归一化函数(2.4). 给定正整数 N , 由三项递推关系(2.13)(2.18)可知对于任意给定的正整数 N , 以及 $n \geq 0$, 存在关于 x 的多项式 $F_{n,N-1}^{[N]}(x)$, $F_{n,N}^{[N]}(x)$ 使得

$$\psi_n = \begin{pmatrix} F_{n,N-1}^{[N]}, & F_{n,N}^{[N]} \end{pmatrix} \begin{pmatrix} \psi_{N-1} \\ \psi_N \end{pmatrix}. \quad (4.3)$$

满足上述条件的多项式 $F_{n,N-1}^{[N]}(x)$, $F_{n,N}^{[N]}(x)$ 显然并不唯一: 例如

$$\tilde{F}_{n,N-1}^{[N]}(x) := F_{n,N-1}^{[N]}(x) + \frac{p_N(x)}{\sqrt{h_N}}, \quad \tilde{F}_{n,N}^{[N]}(x) := F_{n,N}^{[N]}(x) - \frac{p_{N-1}(x)}{\sqrt{h_{N-1}}}$$

也满足上述条件. 我们将(4.3)用无穷矩阵的语言改写为

$$\boldsymbol{\psi}(x) = \mathbf{F}^{[N]}(x) \vec{\psi}_N(x), \quad (4.4)$$

其中 $\boldsymbol{\psi}$ 为无穷列向量(2.12), 而 $\infty \times 2$ 矩阵

$$\mathbf{F}^{[N]} = \begin{pmatrix} F_{0,N-1}^{[N]} & F_{0,N}^{[N]} \\ F_{1,N-1}^{[N]} & F_{1,N}^{[N]} \\ F_{2,N-1}^{[N]} & F_{2,N}^{[N]} \\ \vdots & \vdots \end{pmatrix} \quad (4.5)$$

称为折叠矩阵 (folding)[6, 10]. 为方便起见, 我们不妨用指标 $N-1$, N 来标记矩阵 $\mathbf{F}^{[N]}$ 的两列. 满足(4.4)且多项式依赖于 x 的矩阵 $\mathbf{F}^{[N]}$ 不唯一, 而我们将在本小节末给出 $\mathbf{F}^{[N]}$ 的一种自然选取.

借助折叠矩阵 $\mathbf{F}^{[N]}$, 我们立刻得到

引理 4.1. 给定正整数 N , 则:

1. 存在 2×2 矩阵 \mathcal{D}_N 使得其矩阵元是 x 的多项式, 并且

$$\frac{d\vec{\psi}_N}{dx} = \mathcal{D}_N \vec{\psi}_N. \quad (4.6)$$

2. 对于 $1 \leq k \leq d+1$, 存在 2×2 矩阵 $\mathcal{C}_{k;N}$ 使得其矩阵元是 x 的多项式, 并且

$$\frac{\partial \vec{\psi}_N}{\partial t_k} = \mathcal{C}_{k;N} \vec{\psi}_N. \quad (4.7)$$

证明. 对于正整数 N , 引入如下 $2 \times \infty$ 窗矩阵 (window):

$$\mathbf{\Gamma}_N := \begin{pmatrix} \cdots & 1 & 0 & \cdots \\ \cdots & 0 & 1 & \cdots \end{pmatrix}, \quad (4.8)$$

其非零元仅在第 $N-1$ 列与第 N 列. 由定义知

$$\vec{\psi}_N = \mathbf{\Gamma}_N \psi. \quad (4.9)$$

从而由(2.34)(3.15)以及折叠矩阵(4.4)可得

$$\frac{d\vec{\psi}_N}{dx} = \mathbf{\Gamma}_N \frac{d\psi}{dx} = \mathbf{\Gamma}_N \mathbf{P} \psi = \mathbf{\Gamma}_N \mathbf{P} \mathbf{F}^{[N]} \vec{\psi}_N,$$

从而矩阵 \mathcal{D}_N 可以取为 $\mathbf{\Gamma}_N \mathbf{P} \mathbf{F}^{[N]}$. 同理 $\mathcal{C}_{k;N}$ 可以取为 $\mathbf{\Gamma}_N \mathcal{U}_k \mathbf{F}^{[N]}$. \square

类似的道理, 满足引理条件的矩阵 $\mathcal{D}_N, \mathcal{C}_{k;N}$ 也并不唯一, 我们将在后文给出它们的典范选取. 此外, 三项递推关系(2.18)也可改写为

$$\vec{\psi}_{N+1} = \mathcal{R}_N \vec{\psi}_N, \quad \text{其中 } \mathcal{R}_N := \begin{pmatrix} 0 & 1 \\ -\frac{\gamma_N}{\gamma_{N+1}} & \frac{x-S_N}{\gamma_{N+1}} \end{pmatrix}. \quad (4.10)$$

类似于3.3小节, 我们将 $N \geq 1$ 视为离散的空间变量, 那么 $\vec{\psi} = \vec{\psi}(N; \mathbf{t}; x)$ 满足如下微分-差分-形变 (differential-difference-deformation) 系统 [5]

$$\begin{cases} \vec{\psi}'_N = \mathcal{D}_N \vec{\psi}_N, \\ \vec{\psi}_{N+1} = \mathcal{R}_N \vec{\psi}_N, \\ \frac{\partial \vec{\psi}_N}{\partial t_k} = \mathcal{C}_{k;N} \vec{\psi}_N, \quad 1 \leq k \leq d+1, \end{cases} \quad (4.11)$$

即(4.6)(4.10)以及(4.7), 其中 $(\cdot)' := \frac{d}{dx}$, 系数矩阵 \mathcal{R}_N 见(4.10). 而系数矩阵 $\mathcal{D}_N, \mathcal{C}_{k;N}$ 待定 (将在后文给出). 我们将第一个方程视为关于自变量 x 的常微分方程, 而 $\mathbf{t} = (t_1, \dots, t_{d+1})$ 被视为形变参数.

考察(4.11)各方程之间的相容性, 容易验证:

$$\left. \begin{aligned} & (\mathcal{D}_{N+1} - \mathcal{R}'_N \mathcal{R}_N^{-1} - \mathcal{R}_N \mathcal{D}_N \mathcal{R}_N^{-1}) \vec{\psi}_{N+1} = 0 \\ & \left(\mathcal{C}_{k;N+1} - \frac{\partial \mathcal{R}_N}{\partial t_k} \mathcal{R}_N^{-1} - \mathcal{R}_N \mathcal{C}_{k;N} \mathcal{R}_N^{-1} \right) \vec{\psi}_{N+1} = 0 \\ & \left(\frac{\partial \mathcal{D}_N}{\partial t_k} - \frac{\partial \mathcal{C}_{k;N}}{\partial x} + [\mathcal{D}_N, \mathcal{C}_{k;N}] \right) \vec{\psi}_N = 0 \\ & \left(\frac{\partial \mathcal{C}_{j;N}}{\partial t_k} - \frac{\partial \mathcal{C}_{k;N}}{\partial t_j} + [\mathcal{C}_{j;N}, \mathcal{C}_{k;N}] \right) \vec{\psi}_N = 0 \end{aligned} \right\}, \quad (4.12)$$

于是有两个自然的问题:

1. 能否选取合适的系数矩阵 $\mathcal{D}_N, \mathcal{C}_{k;N}$ 使得在(4.11)成立的基础上还要满足如下零曲率方程

$$\mathcal{D}_{N+1} = \mathcal{R}'_N \mathcal{R}_N^{-1} + \mathcal{R}_N \mathcal{D}_N \mathcal{R}_N^{-1}, \quad (4.13)$$

$$\mathcal{C}_{k;N+1} = \frac{\partial \mathcal{R}_N}{\partial t_k} \mathcal{R}_N^{-1} + \mathcal{R}_N \mathcal{C}_{k;N} \mathcal{R}_N^{-1}, \quad (4.14)$$

$$\frac{\partial \mathcal{D}_N}{\partial t_k} - \frac{\partial \mathcal{C}_{k;N}}{\partial x} + [\mathcal{D}_N, \mathcal{C}_{k;N}] = 0, \quad (4.15)$$

$$\frac{\partial \mathcal{C}_{j;N}}{\partial t_k} - \frac{\partial \mathcal{C}_{k;N}}{\partial t_j} + [\mathcal{C}_{j;N}, \mathcal{C}_{k;N}] = 0, \quad (4.16)$$

其中 \mathcal{R}_N 已由(4.10)给出.

2. 能否构造出线性微分方程(4.6)的与 $\vec{\psi}_N$ 线性无关的另一个解

$$\vec{\varphi}_N(x) = \begin{pmatrix} \varphi_{N-1}(x) \\ \varphi_N(x) \end{pmatrix} \quad \text{使得} \quad \Psi_N := \begin{pmatrix} \psi_{N-1} & \varphi_{N-1} \\ \psi_N & \varphi_N \end{pmatrix} \quad (4.17)$$

构成(4.11)的一个基础解系.

如果第 2 个问题被解决, 即确实能构造出基础解系 Ψ_N , 则 Ψ_N 也满足(4.12), 从而由矩阵 Ψ_N 的可逆性, 两边消去 Ψ_N 即证明零曲率方程(4.13)–(4.16). 我们将在后文研究上述两个问题.

习题 4.2. 对于(4.10)中的 \mathcal{R}_N , 证明如下等式:

$$\mathbb{V}_{-1} \mathcal{R}_N = \mathcal{R}'_N, \quad (4.18)$$

其中 Virasoro 算子 $\mathbb{V}_{-1} = \sum_{k=1}^d k t_{k+1} \frac{\partial}{\partial t_k}$ 见(3.32), 且 $\mathcal{R}'_N := \frac{d}{dx} \mathcal{R}_N$.

证明. 由(3.29)直接计算得

$$\begin{aligned} \mathbb{V}_{-1} \mathcal{R}_N &= \frac{\partial \mathcal{R}_N}{\partial \gamma_N} (\mathbb{V}_{-1} \gamma_N) + \frac{\partial \mathcal{R}_N}{\partial \gamma_{N+1}} (\mathbb{V}_{-1} \gamma_{N+1}) + \frac{\partial \mathcal{R}_N}{\partial S_N} (\mathbb{V}_{-1} S_N) \\ &= -\frac{\partial \mathcal{R}_N}{\partial S_N} = \begin{pmatrix} 0 & 0 \\ 0 & \frac{1}{\gamma_{N+1}} \end{pmatrix} = \mathcal{R}'_N, \end{aligned}$$

从而得证. □

习题 4.3. (折叠矩阵 $F^{[N]}$ 的构造). 验证: 由递推关系

$$F_{n+1,i}^{[N]} = \frac{x - S_n}{\gamma_{n+1}} F_{n,i}^{[N]} - \frac{\gamma_n}{\gamma_{n+1}} F_{n-1,i}^{[N]}, \quad n \geq 1, i \in \{N-1, N\} \quad (4.19)$$

以及初值条件

$$\begin{pmatrix} F_{N-1,N-1}^{[N]} & F_{N-1,N}^{[N]} \\ F_{N,N-1}^{[N]} & F_{N,N}^{[N]} \end{pmatrix} = \begin{pmatrix} 1 & 0 \\ 0 & 1 \end{pmatrix} \quad (4.20)$$

所唯一确定的 $\infty \times 2$ 矩阵 $\mathbf{F}^{[N]} = \left(F_{n,i}^{[N]} \right)_{n \geq 0, i \in \{N-1, N\}}$ 满足(4.4), 并且各矩阵元都是关于 x 的多项式, 从而是折叠矩阵.

证明. 只需利用(4.10)中的 \mathcal{R}_n 即可. 递推关系(4.19)其实就是

$$\begin{pmatrix} F_{n,N-1}^{[N]} & F_{n,N}^{[N]} \\ F_{n+1,N-1}^{[N]} & F_{n+1,N}^{[N]} \end{pmatrix} = \mathcal{R}_n \begin{pmatrix} F_{n-1,N-1}^{[N]} & F_{n-1,N}^{[N]} \\ F_{n,N-1}^{[N]} & F_{n,N}^{[N]} \end{pmatrix},$$

细节留给读者. □

如此构造的折叠矩阵 $\mathbf{F}^{[N]}$ 的各行 $\{(F_{n,N-1}^{[N]}, F_{n,N}^{[N]})\}_{n \geq 0}$ 与归一化函数 $\{\psi_n\}_{n \geq 0}$ 满足相同的三项递推关系.

4.2 三项递推矩阵的逆

由(2.13)可将 $\psi(x)$ 的三项递推关系改写为 $(x - \mathbf{Q})\psi = \mathbf{0}$. 同样地, 由(4.19)可知习题4.3所确定的折叠矩阵 $\mathbf{F}^{[N]}$ 满足

$$(x - \mathbf{Q})\mathbf{F}^{[N]} = \begin{pmatrix} * & * \\ 0 & 0 \\ 0 & 0 \\ \vdots & \vdots \end{pmatrix},$$

其非零元仅在第 0 行. 这启发我们, 或许可以用 $(x - \mathbf{Q})$ 的“逆矩阵”来给出折叠矩阵 $\mathbf{F}^{[N]}$ 的显式表达.

引理 4.4. 存在唯一的严格下三角 $\infty \times \infty$ 矩阵

$$\mathbf{R} = \begin{pmatrix} 0 & & & \\ R_{10} & 0 & & \\ R_{20} & R_{21} & 0 & \\ \vdots & \vdots & \vdots & \ddots \end{pmatrix} \quad (4.21)$$

使得其矩阵元是关于 x 的多项式, 并且

$$(x - \mathbf{Q})\mathbf{R} = \mathbf{I}. \quad (4.22)$$

证明. 由(4.22)直接计算可知, \mathbf{R} 的矩阵元 R_{nN} 由初始条件

$$R_{N+1,N} = -\frac{1}{\gamma_{N+1}}, \quad N \geq 0 \quad (4.23)$$

与三项递推关系

$$R_{n+1,N} = \frac{x - S_n}{\gamma_{n+1}} R_{nN} - \frac{\gamma_n}{\gamma_{n+1}} R_{n-1,N}, \quad n \geq N+1 \quad (4.24)$$

所唯一确定. 证毕. □

同理, 存在唯一的严格上三角矩阵 \mathbf{L} , 使得其矩阵元是关于 x 的多项式, 并且

$$\mathbf{L}(x - \mathbf{Q}) = \mathbf{I}. \quad (4.25)$$

事实上, 只需要取 \mathbf{R} 的转置

$$\mathbf{L} = \mathbf{R}^T \quad (4.26)$$

即可. 矩阵 \mathbf{L} 与 \mathbf{R} 分别称为 $(x - \mathbf{Q})$ 的典范左逆与典范右逆.

注记 4.5. 无穷矩阵的左逆和右逆一般都不唯一, 并且左逆与右逆一般也不相等. 此外, 无穷矩阵的乘法结合律也未必成立, 例如

$$\begin{aligned} \left(L(x - Q) \right) \psi &= I\psi = \psi, \\ L\left((x - Q)\psi \right) &= L0 = 0. \end{aligned}$$

在涉及无穷矩阵乘法运算时应仔细检查.

习题 4.6. 验证如下关系:

1. 对于 $n, N \geq 0$, 典范右逆 R 的矩阵元 R_{nN} 满足

$$R_{nN} = \begin{cases} -\frac{1}{\gamma_{N+1}\gamma_{N+2}\cdots\gamma_n} \det_{N+1 \leq i, j \leq n-1} (x - Q)_{ij} & n > N + 1, \\ -\frac{1}{\gamma_n} & n = N + 1, \\ 0 & n < N + 1. \end{cases} \quad (4.27)$$

2. 固定 $n \geq 0$, 则 R 的第 n 行各矩阵元满足递推关系

$$R_{n, N-1} = \frac{x - S_N}{\gamma_N} R_{nN} - \frac{\gamma_{N+1}}{\gamma_N} R_{n, N+1}, \quad 1 \leq N \leq n-1. \quad (4.28)$$

证明. 与性质 2.19 的证明类似, 只需比较 $(x - Q)$ 的各主子式之间的递推关系与 R 的矩阵元之间的递推关系(4.24)即可. \square

性质 4.7. 习题(4.3)所定义的折叠矩阵 $F^{[N]}$ 满足

$$F^{[N]} = (L - R)A^{[N]}\Gamma_N^T, \quad (4.29)$$

其中 $A^{[N]}$ 为 Christoeffel-Darboux 矩阵(2.26), Γ_N 为窗矩阵(4.8).

证明. 将(4.28)改写为 $\mathbf{L} = \mathbf{R}^T$ 的矩阵元递推关系

$$L_{n+1,N} = \frac{x - S_n}{\gamma_{n+1}} L_{nN} - \frac{\gamma_n}{\gamma_{n+1}} L_{n-1,N}, \quad (4.30)$$

换言之 \mathbf{L} 的每一列的各元素所满足的递推关系都与 (4.19)(4.24) 相同. 直接计算验证可知(4.29)等号右边满足(4.19)(4.20), 从而得证. \square

除了典范左逆 \mathbf{L} 与典范右逆 \mathbf{R} , 我们还有:

性质 4.8. 引入无穷矩阵

$$\frac{1}{x - \mathbf{Q}} := \int_{\gamma} \frac{\psi(y) \psi^T(y)}{x - y} dy, \quad (4.31)$$

其各矩阵元为 $\mathbb{C} \setminus \gamma$ 上的关于 x 的解析函数, 则成立

$$(x - \mathbf{Q}) \frac{1}{x - \mathbf{Q}} = \frac{1}{x - \mathbf{Q}} (x - \mathbf{Q}) = \mathbf{I}. \quad (4.32)$$

换言之, 矩阵 $\frac{1}{x - \mathbf{Q}}$ 是 $(x - \mathbf{Q})$ 的双边逆.

证明. 由 $y\psi(y) = \mathbf{Q}\psi(y)$ 以及正交关系 $\int_{\gamma} \psi(y) \psi^T(y) = \mathbf{I}$ 得

$$\begin{aligned} (x - \mathbf{Q}) \frac{1}{x - \mathbf{Q}} &= (x - \mathbf{Q}) \int_{\gamma} \frac{\psi(y) \psi^T(y)}{x - y} dy \\ &= \int_{\gamma} \frac{(x - y) \psi(y) \psi^T(y)}{x - y} dy = \mathbf{I}, \end{aligned}$$

同理也有 $\frac{1}{x - \mathbf{Q}} (x - \mathbf{Q}) = \mathbf{I}$, 证毕. \square

4.3 正交多项式的 Hilbert 变换

现在我们来初步回答4.1节的第2个问题, 即构造(4.17)中的 $\varphi_N(x)$.

定义 4.9. 对于 $N \geq 0$, 记归一化函数 $\psi_N(x)$ 的 **Hilbert** 变换

$$\varphi_N(x) := e^{\frac{1}{2}V(x)} \int_{\gamma} \frac{\psi_N(y)}{x-y} e^{-\frac{1}{2}V(y)} dy, \quad (4.33)$$

则 $\varphi_N(x)$ 关于 x 在 $\mathbb{C} \setminus \gamma$ 解析.

此外, 仿照 $\{\psi_N(x)\}$ 的记号(2.12)(4.2), 我们也记

$$\varphi(x) := \begin{pmatrix} \varphi_0(x) \\ \varphi_1(x) \\ \varphi_2(x) \\ \vdots \end{pmatrix}, \quad \vec{\varphi}_N(x) := \begin{pmatrix} \varphi_{N-1}(x) \\ \varphi_N(x) \end{pmatrix}. \quad (4.34)$$

$$\Psi_N(x) := (\vec{\psi}_N(x), \vec{\varphi}_N(x)) = \begin{pmatrix} \psi_{N-1}(x) & \varphi_{N-1}(x) \\ \psi_N(x) & \varphi_N(x) \end{pmatrix}. \quad (4.35)$$

习题 4.10.(三项递推关系与微分递推关系). 证明 $\varphi_k(x)$ 满足如下等式:

$$x\varphi_k(x) = \sum_{j=k-1}^{k+1} Q_{kj}\varphi_j(x) + \frac{\delta_{k,0}}{\psi_0(x)},$$

$$\varphi'_k(x) = \sum_{j=k-d}^{k+d} P_{kj}\varphi_j(x) + \frac{1}{2}e^{\frac{1}{2}V(x)} \int_{\gamma} \frac{V'(x) - V'(y)}{x-y} \psi_k(y) e^{-\frac{1}{2}V(y)} dy,$$

其中 Q_{jk}, P_{jk} 分别为 \mathbf{Q} (2.15), \mathbf{P} (2.35) 的矩阵元. 特别地,

$$(x - \mathbf{Q})\varphi(x) = \begin{pmatrix} \frac{1}{\psi_0(x)} \\ 0 \\ 0 \\ \vdots \end{pmatrix}, \quad \vec{\varphi}_{N+1} = \mathcal{R}_N \vec{\varphi}_N \quad (N \geq 1), \quad (4.36)$$

其中 \mathcal{R}_N 见(4.10); 并且当 k 充分大时成立

$$\varphi'_k(x) = \sum_{j=k-d}^{k+d} P_{kj} \varphi_j(x), \quad \forall k \geq d. \quad (4.37)$$

证明. 由定义直接计算即可 (在某处适当地分部积分), 留给读者. 注意 $\frac{V'(x)-V'(y)}{x-y}$ 是关于 y 的 $(d-1)$ 次多项式, 从而由 ψ_k 的正交性可知

$$\int_{\gamma} \frac{V'(x) - V'(y)}{x - y} \psi_k(y) e^{-\frac{1}{2}V(y)} dy = 0, \quad \forall k \geq d,$$

从而得到(4.37). □

习题 4.11. 证明 $\det \Psi_N = -\frac{1}{\gamma_N}$, 从而 Ψ_N 非退化.

证明. 对 N 归纳. 由递推关系(2.13)(4.36)可知 $\begin{cases} \psi_1 = \frac{x-S_0}{\gamma_1} \psi_0, \\ \varphi_1 = \frac{x-S_0}{\gamma_1} \varphi_0 - \frac{1}{\gamma_1 \psi_0} \end{cases},$

因此 $\det \Psi_1 = \begin{vmatrix} \psi_0 & \varphi_0 \\ \psi_1 & \varphi_1 \end{vmatrix} = \begin{vmatrix} \psi_0 & \varphi_0 \\ 0 & -\frac{1}{\gamma_1 \psi_0} \end{vmatrix} = -\frac{1}{\gamma_1}$. 进而由归纳假设知

$$\det \Psi_{N+1} = \det (\mathcal{R}_N \Psi_N) = \begin{vmatrix} 0 & 1 \\ -\frac{\gamma_N}{\gamma_{N+1}} & \frac{x-S_N}{\gamma_{N+1}} \end{vmatrix} \cdot \frac{-1}{\gamma_N} = -\frac{1}{\gamma_{N+1}},$$

从而得证. □

注记 4.12. 同样直接计算可得

$$\frac{\partial \varphi(x)}{\partial t_k} = \mathcal{U}_k \varphi(x) + \frac{e^{\frac{1}{2}V(x)}}{2k} \int_{\gamma} \frac{x^k - y^k}{x - y} \psi(y) e^{-\frac{1}{2}V(y)} dy, \quad (4.38)$$

其中 \mathcal{U}_k 见(3.15)(3.16). 由 $\{\psi_N\}$ 的正交性可知, 当 N 充分大 ($N \geq k$) 时上式右边第二项的第 N 行为 0. 可见 $\varphi(x)$ 也“基本上”满足方程组(3.18)–(3.20). 我们将在后文给出系数矩阵 \mathcal{D}_N (4.6)与 $\mathcal{C}_{k;N}$ (4.7)的典范构造, 并断言当 N 充分大时 $\Psi_N(x)$ (4.35) 是微分-差分-形变系统(4.11)的一组基础解系.

习题 4.13.(与逆矩阵的关系). 证明 $(x - Q)$ 的逆(4.21)(4.25)(4.31)满足

$$\begin{aligned}\frac{1}{x - Q} &= \psi(x)\varphi^T(x) + R(x) \\ &= \varphi(x)\psi^T(x) + L(x),\end{aligned}\tag{4.39}$$

$$R(x) = -H^{-\frac{1}{2}} \left(\int_{\gamma} \frac{\mathbf{p}(x) - \mathbf{p}(y)}{x - y} \mathbf{p}^T(y) e^{-V(y)} dy \right) H^{-\frac{1}{2}}, \tag{4.40}$$

其中 H 见(2.2), 而 $\mathbf{p} := (p_0, p_1, \dots)^T = e^{\frac{1}{2}V} H^{\frac{1}{2}} \psi$.

证明. 直接计算得

$$\begin{aligned}\frac{1}{x - Q} &= \int_{\gamma} \frac{\psi(y)\psi^T(y)}{x - y} dy = \psi(x)e^{\frac{1}{2}V(x)} \int_{\gamma} \frac{\psi^T(y)}{x - y} e^{-\frac{1}{2}V(y)} dy \\ &\quad + \int_{\gamma} \frac{\left(\psi(y) - \psi(x)e^{\frac{1}{2}V(x) - \frac{1}{2}V(y)} \right)}{x - y} \psi^T(y) dy \\ &= \psi(x)\varphi^T(x) - H^{-\frac{1}{2}} \left(\int_{\gamma} \frac{\mathbf{p}(x) - \mathbf{p}(y)}{x - y} \mathbf{p}^T(y) e^{-V(y)} dy \right) H^{-\frac{1}{2}}.\end{aligned}$$

显然上式最右边第二项, 即(4.40)的右边, 的各矩阵元都是关于 x 的多项式; 又注意 $\frac{p_k(x) - p_k(y)}{x - y}$ 是关于 y 的 $(k - 1)$ 次多项式, 从而由 $\{p_k\}$ 的正交性易知(4.40)的右边是严格下三角矩阵. 此外, 由 $(x - Q)\psi(x) = \mathbf{0}$ 可知

$$(x - Q) \left(\frac{1}{x - Q} - \psi(x)\varphi^T(x) \right) = I - (x - Q)\psi(x)\varphi^T(x) = I,$$

从而由典范右逆 $\mathbf{R}(x)$ 的唯一性 (引理4.4) 即得(4.40), 进而(4.39)的第一个等号成立. 同理 (取矩阵转置) 可知(4.39)的第二个等号也成立. \square

习题 4.14.(与折叠矩阵的关系). 利用本小节的结论再次证明(4.29) 所给出的 $\mathbf{F}^{[N]}$ 满足

$$\psi(x) = \mathbf{F}^{[N]}(x)\vec{\psi}_N(x).$$

证明. 由(2.26)直接验证得 $\mathbf{A}^{[N]} \left(\Gamma_N^T \vec{\psi}_N \right) = \mathbf{A}^{[N]} \psi$, 因此由(4.36)(4.39) (2.25) 并注意 $(x - \mathbf{Q})\psi = \mathbf{0}$ 可知

$$\begin{aligned} \mathbf{F}^{[N]} \vec{\psi}_N &= (\mathbf{L} - \mathbf{R}) \mathbf{A}^{[N]} \psi = (\psi \varphi^T - \varphi \psi^T) [\Pi_N, \mathbf{Q}] \psi \\ &= (\varphi \psi^T - \psi \varphi^T) (\Pi_N(x - \mathbf{Q}) - (x - \mathbf{Q}) \Pi_N) \psi \\ &= \psi \varphi^T (x - \mathbf{Q}) \Pi_N \psi = \psi \left(\frac{1}{\psi_0}, 0, 0, \dots \right) \psi = \psi, \end{aligned}$$

从而得证. \square

习题 4.15.(渐近行为). 证明: 当 $x \rightarrow \infty$ 时成立

$$\varphi_k(x) = \frac{\sqrt{h_k}}{x^{k+1}} \mathbf{e}^{\frac{1}{2}V(x)} \left(1 + O\left(\frac{1}{x}\right) \right). \quad (4.41)$$

证明. 当 $x \rightarrow \infty$ 时, 注意

$$\frac{1}{x-y} = \frac{1}{x} \frac{1}{1 - \frac{y}{x}} = \sum_{j=0}^{\infty} \frac{y^j}{x^{j+1}},$$

以及 $\{\psi_k(x)\}$ 的正交性, 从而有

$$\varphi_k(x) = \mathbf{e}^{\frac{1}{2}V(x)} \int_{\gamma} \frac{\psi_k(y)}{x-y} \mathbf{e}^{-\frac{1}{2}V(y)} \mathrm{d}y$$

$$\begin{aligned}
&= e^{\frac{1}{2}V(x)} \int_{\gamma} \sum_{j=0}^{\infty} \psi_k(y) \frac{y^j}{x^{j+1}} e^{-\frac{1}{2}V(y)} dy \\
&= e^{\frac{1}{2}V(x)} \int_{\gamma} \psi_k(y) \frac{y^k}{x^{k+1}} \left(1 + O\left(\frac{1}{x}\right)\right) e^{-\frac{1}{2}V(y)} dy \\
&= \frac{\sqrt{h_k}}{x^{k+1}} e^{\frac{1}{2}V(x)} \left(1 + O\left(\frac{1}{x}\right)\right),
\end{aligned}$$

从而得证. □

与 $p_k(x)$ 类似, $\varphi_k(x)$ 也有相应的 Heine 公式与行列式公式:

性质 4.16. (Heine 公式). 对于 $k \geq 1$, 成立

$$\varphi_{k-1}(x) = \sqrt{h_{k-1}} e^{\frac{1}{2}V(x)} \left\langle \frac{1}{\det(x - H)} \right\rangle_k. \quad (4.42)$$

证明. 由(4.33)以及 $p_k(x)$ 的 Henie 公式(2.7)直接计算得

$$\begin{aligned}
\varphi_{k-1}(x) &= \frac{e^{\frac{1}{2}V(x)}}{\sqrt{h_{k-1}}} \int_{\gamma} \frac{p_{k-1}(y)}{x - y} e^{-V(y)} dy \\
&= \frac{e^{\frac{1}{2}V(x)}}{\sqrt{h_{k-1}}} \frac{1}{(k-1)! \mathcal{Z}_{k-1}} \int_{\gamma^k} \frac{1}{x - y} \Delta(\lambda_0, \dots, \lambda_{k-2})^2 \\
&\quad \times \left(\prod_{i=0}^{k-2} (y - \lambda_i) e^{-V(\lambda_i)} d\lambda_i \right) e^{-V(y)} dy \\
&= \frac{e^{\frac{1}{2}V(x)}}{\sqrt{h_{k-1}}} \frac{1}{(k-1)! \mathcal{Z}_{k-1}} \int_{\gamma^k} \frac{1}{x - \lambda_{k-1}} \Delta(\lambda_0, \dots, \lambda_{k-2})^2 \\
&\quad \times \prod_{i=0}^{k-2} (\lambda_{k-1} - \lambda_i) \cdot \prod_{i=0}^{k-1} e^{-V(\lambda_i)} d\lambda_i
\end{aligned}$$

$$\begin{aligned}
&= \frac{e^{\frac{1}{2}V(x)}}{\sqrt{h_{k-1}}} \frac{1}{(k-1)! \mathcal{Z}_{k-1}} \int_{\gamma^k} \frac{1}{x - \lambda_{k-1}} \prod_{i=0}^{k-2} \frac{1}{\lambda_{k-1} - \lambda_i} \\
&\quad \times \Delta(\lambda_0, \dots, \lambda_{k-1})^2 \prod_{i=0}^{k-1} e^{-V(\lambda_i)} d\lambda_i \\
&= \frac{e^{\frac{1}{2}V(x)}}{\sqrt{h_{k-1}}} \frac{1}{(k-1)! \mathcal{Z}_{k-1}} \int_{\gamma^k} \frac{1}{k} \sum_{j=0}^{k-1} \left(\frac{1}{x - \lambda_j} \prod_{i \neq j} \frac{1}{\lambda_j - \lambda_i} \right) \\
&\quad \times \Delta(\lambda_0, \dots, \lambda_{k-1})^2 \prod_{i=0}^{k-1} e^{-V(\lambda_i)} d\lambda_i \\
&= \frac{e^{\frac{1}{2}V(x)}}{\sqrt{h_{k-1}}} \frac{1}{k! \mathcal{Z}_{k-1}} \int_{\gamma^k} \left(\prod_{j=0}^{k-1} \frac{1}{x - \lambda_j} \right) \Delta(\lambda_0, \dots, \lambda_{k-1})^2 \prod_{i=0}^{k-1} e^{-V(\lambda_i)} d\lambda_i \\
&= \sqrt{h_{k-1}} e^{\frac{1}{2}V(x)} \left\langle \frac{1}{\det(x - H)} \right\rangle_k,
\end{aligned}$$

从而得证. □

性质 4.17. (行列式公式). 对于 $k \geq 1$, 成立

$$\varphi_{k-1}(x) = \sqrt{h_{k-1}} e^{\frac{1}{2}V(x)} \det \left(\frac{1}{x - \mathbf{Q}} \right)_{[k]}. \quad (4.43)$$

这里的 $\left(\frac{1}{x - \mathbf{Q}} \right)_{[k]}$ 为(4.31)的左上角 k 阶主子方阵.

证明. 由(4.39)可知

$$\left(\frac{1}{x - \mathbf{Q}} \right)_{[k]} = (\boldsymbol{\psi}^T(x) \boldsymbol{\varphi}(x))_{[k]} + \mathbf{R}(x)_{[k]}.$$

分别(临时地)记 a_0, \dots, a_{k-1} 与 b_0, \dots, b_{k-1} 为矩阵 $(\boldsymbol{\psi}^T(x) \boldsymbol{\varphi}(x))_{[k]}$ 与 $\mathbf{R}(x)_{[k]}$ 的各列, 这里 a_i, b_j 是 k 维列向量. 注意 $(\boldsymbol{\psi}^T(x) \boldsymbol{\varphi}(x))_{[k]}$ 的任何两列都线

性相关, 而 $\mathbf{R}(x)_{[k]}$ 严格下三角, $b_{k-1} = 0$, 从而由行列式的运算性质得

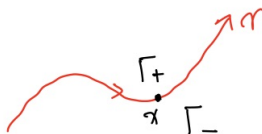
$$\begin{aligned} \det \left(\frac{1}{x - \mathbf{Q}} \right)_{[k]} &= \det(a_0 + b_0, a_1 + b_1, \dots, a_{k-1} + b_{k-1}) \\ &= \det(b_0, \dots, b_{k-2}; a_{k-1}) \\ &= \det \left(\begin{array}{cccc|c} 0 & & & & \psi_0 \varphi_{k-1} \\ -\frac{1}{\gamma_1} & 0 & & & * \\ * & -\frac{1}{\gamma_2} & 0 & & * \\ \vdots & \vdots & \ddots & \ddots & \vdots \\ * & * & \dots & -\frac{1}{\gamma_{k-1}} & * \end{array} \right) \\ &= (-1)^{k+1} \psi_0(x) \varphi_{k-1}(x) \prod_{i=1}^{k-1} \left(-\frac{1}{\gamma_i} \right) = \frac{e^{-\frac{1}{2}V(x)}}{\sqrt{h_{k-1}}} \varphi_{k-1}(x), \end{aligned}$$

从而得证. □

4.4 等单值性与 Riemann-Hilbert 问题

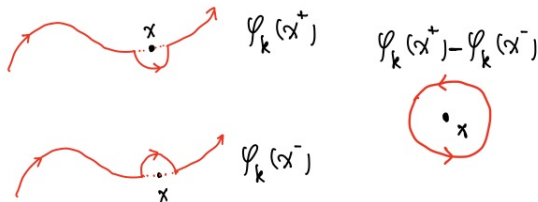
微分-差分-形变系统(4.11)的基础解系 $\Psi_N(x)$ (4.35) 也可以被某个 **Riemann-Hilbert 问题** 所唯一确定. 本小节为说明这一点, 首先考虑函数 $\varphi_k(x)$ 在积分路径 γ 附近的性质.

我们回忆, $\varphi_k(x)$ 在 $\mathbb{C} \setminus \gamma$ 全纯, 而在 γ 上暂无定义. 对于 $x \in \gamma$, 定向曲线 γ 将 x 的邻域分为正、负两侧 Γ_{\pm} (如图).



考虑 $x' \in \mathbb{C} \setminus \gamma$ 分别从正, 负侧趋于 x 时 $\varphi_k(x')$ 的极限

$$\varphi_k(x^+) := \lim_{\Gamma_+ \ni x' \rightarrow x} \varphi_k(x'), \quad \varphi_k(x^-) := \lim_{\Gamma_- \ni x' \rightarrow x} \varphi_k(x'),$$



从而由注记1.8易知

$$\begin{aligned} \varphi_k(x^+) - \varphi_k(x^-) &= e^{\frac{1}{2}V(x)} \oint_{\partial B(x, \varepsilon)} \frac{\psi_k(y)}{x - y} e^{-\frac{1}{2}V(y)} dy \\ &= -2\pi i \psi_k(x). \end{aligned} \quad (4.44)$$

从而 $\Psi_N(x)$ 在 $x \in \gamma$ 处满足

$$\Psi_N(x^+) = \Psi_N(x^-) \mathcal{S}_\gamma, \quad (4.45)$$

这里的系数矩阵

$$\mathcal{S}_\gamma := \begin{pmatrix} 1 & -2\pi i \\ 0 & 1 \end{pmatrix} \quad (4.46)$$

被称为单值矩阵 (monodromy matrix). 由于 \mathcal{S}_γ 不依赖 x , 从而我们称微分方程

$$\Psi'_N(x) = \mathcal{D}_N(x) \Psi_N(x)$$

(即(4.11)的第一个方程) 是等单值的 (isomonodromic); 其中系数矩阵 $\mathcal{D}_N(x)$ 将在下一小节给出. 此外, \mathcal{S}_γ 也不依赖于形变参数 $\mathbf{t} = (t_1, \dots, t_{d+1})$

(换言之, 与势函数 $V(x)$ 的选取无关), 从而 t_1, t_2, \dots, t_{d+1} 也被称为 **等单值的** (isomonodromic).

定理 4.18. 对于 $N \geq 1$, 基本解系 $\Psi_N(x)$ (4.35) 被如下 **Riemann-Hilbert** 问题唯一确定:

1. $\Psi_N(x)$ 在 $\mathbb{C} \setminus \gamma$ 全纯、非退化, 并且在 γ 附近满足(4.45);
2. 存在 2×2 矩阵值函数 $Y_N(x)$ 使得

$$\Psi_N(x) = Y_N(x) \mathbf{e}^{T_N(x)}, \quad (4.47)$$

$$\text{其中 } T_N(x) := \left(N \log x - \frac{1}{2} V(x) \right) \begin{pmatrix} 1 & \\ & -1 \end{pmatrix}, \quad (4.48)$$

而 $Y_N(x)$ 在 $x = \infty$ 附近解析, 且当 $x \rightarrow \infty$ 时

$$Y_N(x) = \begin{pmatrix} 0 & \sqrt{h_{N-1}} \\ \frac{1}{\sqrt{h_N}} & 0 \end{pmatrix} + O\left(\frac{1}{x}\right). \quad (4.49)$$

证明. 由习题4.11, 习题4.15 等前文结果易知 $\Psi_N(x)$ 满足此定理中的条件. 若另有 $\hat{\Psi}_N(x)$ 也满足定理条件, 则易知 $\Psi_N(x) \hat{\Psi}_N^{-1}(x)$ 在 \mathbb{C} 全纯, 并且当 $x \rightarrow \infty$ 时趋于单位阵 I , 因此由复变函数中的 **Liouville** 定理知 $\Psi_N(x) \hat{\Psi}_N^{-1}(x) \equiv I$, 从而 $\Psi_N = \hat{\Psi}_N$. 唯一性得证. \square

注记 4.19. 更一般地, 积分路径 γ 可以取为

$$\gamma = \sum_{i=1}^n c_i \gamma_i,$$

其中 $c_i \in \mathbb{Z}$. 换言之, γ 形如多条定向曲线的 \mathbb{Z} -线性组合. 此时在 $x \in \gamma_i$ 处的单值矩阵 $\mathcal{S}_{\gamma_i} = \begin{pmatrix} 1 & -2\pi i c_i \\ 0 & 1 \end{pmatrix}$.

4.5 零曲率方程, 谱曲线

下面给出系数矩阵 \mathcal{D}_N (4.6) 与 $\mathcal{C}_{k;N}$ (4.7) 的典范选取. 需要注意, 最终给出的取法并非如引理(4.1)的证明过程所述.

由引理4.1的证明过程, 结合(3.16)(4.29)可知

$$\begin{aligned} \frac{\partial \vec{\psi}_N}{\partial t_k} &= \Gamma_N \mathcal{U}_k \mathbf{F}^{[N]} \vec{\psi}_N \\ &= \frac{1}{2k} \Gamma_N ((Q^k)_l - (Q^k)_u) (L - R) \mathbf{A}^{[N]} \Gamma_N^T \vec{\psi}_N. \end{aligned}$$

注意 $(Q^k)_l$ 与 R 都是严格下三角矩阵, 而 $(Q^k)_u$ 与 L 都是严格上三角矩阵, 从而由(2.26)式, 逐矩阵元直接验证易知

$$\Gamma_N (Q^k)_l R \mathbf{A}^{[N]} \Gamma_N^T = \Gamma_N (Q^k)_u L \mathbf{A}^{[N]} \Gamma_N^T = 0,$$

因此

$$\begin{aligned} \frac{\partial \vec{\psi}_N}{\partial t_k} &= \frac{1}{2k} \Gamma_N ((Q^k)_l + (Q^k)_u) (L + R) \mathbf{A}^{[N]} \Gamma_N^T \vec{\psi}_N \\ &= \frac{1}{2k} \Gamma_N ((Q^k - x^k) + (x^k - (Q^k)_d)) (L + R) \mathbf{A}^{[N]} \Gamma_N^T \vec{\psi}_N. \end{aligned}$$

由于 $x^k - (Q^k)_d$ 是对角矩阵, 而由(4.27)(4.26)直接计算得

$$\Gamma_N (L + R) \mathbf{A}^{[N]} \Gamma_N^T = \begin{pmatrix} 1 & \\ & -1 \end{pmatrix},$$

从而有

$$\begin{aligned} \frac{\partial \vec{\psi}_N}{\partial t_k} = & \frac{1}{2k} \begin{pmatrix} x^k - S_{N-1}^{(k)} & \\ & -(x^k - S_N^{(k)}) \end{pmatrix} \vec{\psi}_N \\ & - \frac{1}{2k} \mathbf{\Gamma}_N \mathbf{W}^{(k)}(x - \mathbf{Q})(\mathbf{L} + \mathbf{R}) \mathbf{A}^{[N]} \mathbf{\Gamma}_N^T \vec{\psi}_N, \end{aligned} \quad (4.50)$$

其中 $S_N^{(k)}$ 见(3.22), 以及

$$\mathbf{W}^{(k)}(x) := \frac{x^k - \mathbf{Q}^k}{x - \mathbf{Q}} = \sum_{\ell=0}^{k-1} \mathbf{Q}^{k-1-\ell} x^\ell, \quad (4.51)$$

$$\mathbf{W}(x) := \frac{V'(x) - V'(\mathbf{Q})}{x - \mathbf{Q}} = \sum_{k=0}^d t_{k+1} \mathbf{W}^{(k)}(x). \quad (4.52)$$

最后, 注意 $(x - \mathbf{Q})\mathbf{R} = \mathbf{I}$, 从而

$$\begin{aligned} \mathbf{0} &= (x - \mathbf{Q})\boldsymbol{\psi} = (x - \mathbf{Q})\mathbf{F}^{[N]}\vec{\psi}_N = (x - \mathbf{Q})(\mathbf{L} - \mathbf{R})\mathbf{A}^{[N]}\mathbf{\Gamma}_N^T \vec{\psi}_N \\ \Rightarrow \quad & (x - \mathbf{Q})\mathbf{L}\mathbf{A}^{[N]}\mathbf{\Gamma}_N^T \vec{\psi}_N = (x - \mathbf{Q})\mathbf{R}\mathbf{A}^{[N]}\mathbf{\Gamma}_N^T \vec{\psi}_N = \mathbf{A}^{[N]}\mathbf{\Gamma}_N^T \vec{\psi}_N, \end{aligned}$$

由此将(4.50)进一步化简为

$$\begin{aligned} \frac{\partial \vec{\psi}_N}{\partial t_k} &= \frac{1}{2k} \begin{pmatrix} x^k - S_{N-1}^{(k)} & \\ & -(x^k - S_N^{(k)}) \end{pmatrix} \vec{\psi}_N \\ &\quad - \frac{1}{k} \mathbf{\Gamma}_N \mathbf{W}^{(k)} \mathbf{A}^{[N]} \mathbf{\Gamma}_N^T \vec{\psi}_N \\ &= \frac{1}{2k} \begin{pmatrix} x^k - S_{N-1}^{(k)} & \\ & -(x^k - S_N^{(k)}) \end{pmatrix} \vec{\psi}_N \\ &\quad + \frac{\gamma_N}{k} \begin{pmatrix} -W_{N-1,N}^{(k)} & W_{N-1,N-1}^{(k)} \\ -W_{N,N}^{(k)} & W_{N,N-1}^{(k)} \end{pmatrix} \vec{\psi}_N. \end{aligned}$$

这表明矩阵 $\mathcal{C}_{k;N} = \mathcal{C}_{k;N}(x)$ (4.7) 可以取为

$$\begin{aligned} \mathcal{C}_{k;N} = & \frac{1}{2k} \begin{pmatrix} x^k - S_{N-1}^{(k)} & \\ & -(x^k - S_N^{(k)}) \end{pmatrix} \\ & + \frac{\gamma_N}{k} \begin{pmatrix} W_{N-1,N}^{(k)} & -W_{N-1,N-1}^{(k)} \\ W_{N,N}^{(k)} & -W_{N,N-1}^{(k)} \end{pmatrix}. \end{aligned} \quad (4.53)$$

类似地, 由(2.37)(3.33)容易验证, 矩阵 $\mathcal{D}_N = \mathcal{D}_N(x)$ (4.6) 可以取为

$$\begin{aligned} \mathcal{D}_N &= \sum_{k=1}^d k t_{k+1} \mathcal{C}_{k;N} = \frac{1}{2} V'(x) \sigma_3 - \Gamma_N \mathbf{W} \mathbf{A}^{[N]} \Gamma_N^T \\ &= \frac{1}{2} V'(x) \begin{pmatrix} 1 & \\ & -1 \end{pmatrix} + \gamma_N \begin{pmatrix} W_{N-1,N} & -W_{N-1,N-1} \\ W_{N,N} & -W_{N,N-1} \end{pmatrix}, \end{aligned} \quad (4.54)$$

其中 $\sigma_3 := \begin{pmatrix} 1 & \\ & -1 \end{pmatrix}$ 为 Pauli 矩阵, 而 W_{ij} 是 \mathbf{W} (4.52) 的矩阵元.

从此, 我们将微分-差分-形变系统(4.11)的系数矩阵 $\mathcal{R}_N, \mathcal{D}_N, \mathcal{C}_{k;N}$ 分别取定为 (4.10), (4.54) 与 (4.53). 则在此意义下容易验证:

性质 4.20. 对于足够大的正整数 N , $\Psi_N(x)$ (4.35) 是微分-差分-形变系统(4.11)的一个基本解系, 从而当 N 足够大时, 由(4.10), (4.54) 与 (4.53) 所定义的系数矩阵 $\mathcal{R}_N, \mathcal{D}_N, \mathcal{C}_{k;N}$ 满足零曲率方程 (4.13)–(4.16).

证明. 对任意正整数 N , $\vec{\psi}_N(x)$ 总是满足(4.11); 只需再证明当 N 足够大时 $\vec{\varphi}_N(x)$ 也满足(4.11)即可. 而这由(4.37)(4.38)以及 $\mathcal{C}_{k;N}, \mathcal{D}_N$ 的表达式的推导过程容易验证, 其细节留给读者. 从而得证. \square

事实上, 我们其实能证明

定理 4.21. 对任意正整数 N , 由(4.10), (4.54)与(4.53)所定义的系数矩阵 $\mathcal{R}_N, \mathcal{D}_N, \mathcal{C}_{k;N}$ 满足零曲率方程 (4.13)–(4.16).

换言之, 当 N “不充分大”时零曲率方程(4.13)–(4.16) 也成立, 即使此时 Ψ_N 未必是(4.11)的基础解系. 证明此定理需要复杂且枯燥的暴力验证, 具体细节见后文第4.7小节, 仅留给感兴趣的读者.

性质 4.22. 对任意 $N \geq 1$, 系数矩阵 $\mathcal{D}_N(x)$ (4.54)满足如下等式:

$$\mathrm{tr} \mathcal{D}_N(x) = 0, \quad (4.55)$$

$$\det \mathcal{D}_N(x) = -\frac{1}{4}(V'(x))^2 + \mathrm{tr} \mathbf{W}_{[N]}, \quad (4.56)$$

其中 $\mathbf{W}_{[N]}$ 是矩阵 \mathbf{W} (4.52) 的左上角 $N \times N$ 主子方阵.

由定理2.5可知(4.56)还可以改写为

$$\det \mathcal{D}_N(x) = -\frac{1}{4}(V'(x))^2 + \left\langle \mathrm{tr} \frac{V'(x) - V'(H)}{x - H} \right\rangle_N.$$

证明. 由显式表达式(4.54)可知 $\mathrm{tr} \mathcal{D}_N(x) = 0$ 显然成立. 又因为 $\mathcal{D}_N(x)$ 是 2×2 矩阵, 从而

$$\det \mathcal{D}_N = -\frac{1}{2}\mathrm{tr}(\mathcal{D}_N^2).$$

再由(4.13)可得

$$\begin{aligned} \mathrm{tr}(\mathcal{D}_N^2) &= \mathrm{tr}((\mathcal{D}'_N \mathcal{R}_N^{-1} + \mathcal{R}_N \mathcal{D}_{N-1} \mathcal{R}_N^{-1})^2) \\ &= \mathrm{tr}((\mathcal{R}'_N \mathcal{R}_N^{-1})^2) + 2\mathrm{tr}(\mathcal{R}_N^{-1} \mathcal{R}'_N \mathcal{D}_{N-1}) + \mathrm{tr}(\mathcal{D}_{N-1}^2) \\ &= \mathrm{tr}(\mathcal{D}_{N-1}^2) - 2W_{N-1, N-1}, \end{aligned}$$

反复使用上式得

$$\mathrm{tr}(\mathcal{D}_N^2) = \mathrm{tr}(\mathcal{D}_1^2) - 2 \sum_{j=1}^{N-1} W_{jj}.$$

接下来只需计算 $\mathrm{tr}(\mathcal{D}_1^2)$. 首先由(4.54)可知

$$\mathcal{D}_1 = \begin{pmatrix} \frac{1}{2}V'(x) + \gamma_1 W_{01} & -\gamma_1 W_{00} \\ \gamma_1 W_{11} & -\gamma_1 W_{01} - \frac{1}{2}V'(x) \end{pmatrix}$$

而由(2.37)可知

$$\begin{aligned} -V'(x) &= (V'(\mathbf{Q}) - V'(x))_{00} = (\mathbf{W}(\mathbf{Q} - x))_{00} \\ &= W_{00}(S_0 - x) + W_{01}\gamma_1, \\ \frac{1}{\gamma_1} &= (V'(\mathbf{Q}) - V'(x))_{10} = (\mathbf{W}(\mathbf{Q} - x))_{10} \\ &= W_{10}(S_0 - x) + W_{11}\gamma_1, \end{aligned}$$

由此解得

$$\begin{aligned} \gamma_1 W_{01} &= -V'(x) - W_{00}(S_0 - x), \\ \gamma_1^2 W_{11} &= 1 + (S_0 - x)(V'(x) + W_{00}(S_0 - x)), \end{aligned}$$

从而

$$\begin{aligned} \mathrm{tr}(\mathcal{D}_1^2) &= 2 \left(\frac{1}{2}V'(x) + \gamma_1 W_{01} \right)^2 - 2\gamma_1^2 W_{00} W_{11} \\ &= 2 \left(\frac{1}{2}V'(x) - V'(x) - W_{00}(S_0 - x) \right)^2 \\ &\quad - 2W_{00} \left(1 + (S_0 - x)(V'(x) + W_{00}(S_0 - x)) \right) \\ &= \frac{1}{2}(V'(x))^2 - 2W_{00}. \end{aligned}$$

综上所述, 我们得到

$$\begin{aligned}\det(\mathcal{D}_N) &= -\frac{1}{2}\mathrm{tr}(\mathcal{D}_N^2) = -\frac{1}{2}\left(\mathrm{tr}(\mathcal{D}_1^2) - 2\sum_{j=1}^{N-1}W_{jj}\right) \\ &= -\frac{1}{4}(V'(x))^2 + \sum_{j=0}^{N-1}W_{jj} = -\frac{1}{4}(V'(x))^2 + \mathrm{tr} \mathbf{W}_{[N]},\end{aligned}$$

命题得证. □

本小节最后, 我们称平面代数曲线

$$\det(y - \mathcal{D}_N(x)) = 0 \quad (4.57)$$

为方程(4.6)的谱曲线 (spectral curve), 它记录了算子 $\mathcal{D}_N(x)$ 的谱与 x 的关系. 由性质4.22可知该谱曲线方程可改写为

$$y^2 = \frac{1}{4}(V'(x))^2 - \mathrm{tr} \mathbf{W}_N(x). \quad (4.58)$$

4.6 等单值 tau 函数

对于矩阵微分方程(4.6)(4.7)的满足渐近行为(4.47)的基础解系 $\Psi_N(x)$, 由 Jimbo-Miwa [15] 的相关理论可知存在关于等单值变量 $\mathbf{t} = (t_1, \dots, t_{d+1})$ 的函数 $\tau_N^{\mathrm{IM}}(\mathbf{t})$ 满足

$$\frac{\partial}{\partial t_k} \log \tau_N^{\mathrm{IM}} = -\mathrm{Res}_{x=\infty} \mathrm{tr} \left(Y_N^{-1}(x) Y'_N(x) \frac{\partial T_N(x)}{\partial t_k} dx \right), \quad (4.59)$$

其中 $T_N(x), Y_N(x)$ 见(4.48)–(4.49). 如此 $\tau_N^{\mathrm{IM}}(x)$ 称为基础解系 $\Psi_N(x)$ 的等单值 tau 函数 (isomonodromic tau function).

证明 $\tau_N^{\mathrm{IM}}(\mathbf{t})$ 的存在性只需要验证相容性 $\frac{\partial}{\partial t_k} \frac{\partial}{\partial t_\ell} \tau_N^{\mathrm{IM}} = \frac{\partial}{\partial t_\ell} \frac{\partial}{\partial t_k} \tau_N^{\mathrm{IM}}$, 这里从略, 我们承认之. 本小节将给出 $\tau_N^{\mathrm{IM}}(\mathbf{t})$ 与 $\mathcal{Z}_N(\mathbf{t})$ 之间的联系.

定理 4.23. 记号承上, 则等单值 τ 函数 $\tau_N^{\text{IM}}(\mathbf{t})$ 满足

$$\tau_N^{\text{IM}}(\mathbf{t}) = C \mathcal{Z}_N(\mathbf{t}), \quad (4.60)$$

其中 C 为与 \mathbf{t} 无关的常数.

证明. 直接计算易知(4.59)等价于

$$2k \frac{\partial \log \tau_N^{\text{IM}}}{\partial t_k} = \text{Res}_{x=\infty} \text{tr} \left(Y_N^{-1} Y'_N x^k \boldsymbol{\sigma}_3 dx \right), \quad (4.61)$$

其中 $\boldsymbol{\sigma}_3 = \begin{pmatrix} 1 & \\ & -1 \end{pmatrix}$. 由(4.56)与(2.41)可知

$$\begin{aligned} \text{tr}(\mathcal{D}_N^2) &= \frac{1}{2}(V'(x))^2 - 2 \text{tr} \mathbf{W}_{[N]} \\ &= \frac{1}{2}(V'(x))^2 - 2 \text{tr} \left(\sum_{\ell=1}^d t_{\ell+1} \frac{x^\ell - \mathbf{Q}^\ell}{x - \mathbf{Q}} \right)_{[N]} \\ &= \frac{1}{2}(V'(x))^2 - 2 \sum_{k=0}^{d-1} \left(N t_{k+2} + \sum_{\ell=k+2}^d t_{\ell+1} \text{tr}(\mathbf{Q}^{\ell-k-1})_{[N]} \right) x^k \\ &= \frac{1}{2}(V'(x))^2 + 2 \sum_{k=0}^{d-1} \left(\sum_{\ell=1}^{d-1-k} \ell t_{\ell+k+2} \frac{\partial \log \mathcal{Z}_N}{\partial t_\ell} - N t_{k+2} \right) x^k \\ &= \frac{1}{2}(V'(x))^2 - \frac{2N}{x} V'(x) + \frac{2N t_1}{x} \\ &\quad + 2 \sum_{k=0}^{d-1} \left(\sum_{\ell=1}^{d-1-k} \ell t_{\ell+k+2} \frac{\partial \log \mathcal{Z}_N}{\partial t_\ell} \right) x^k. \end{aligned}$$

而另一方面, 注意

$$T'_N = \left(\frac{N}{x} - \frac{1}{2} V'(x) \right) \boldsymbol{\sigma}_3, \quad (4.62)$$

再由(4.6)与(4.47)可知

$$\mathcal{D}_N = \Psi'_N \Psi_N^{-1} = (Y_N \mathbf{e}^{T_N})' \mathbf{e}^{-T_N} Y_N^{-1} = Y'_N Y_N^{-1} + Y_N T'_N Y_N^{-1},$$

于是有

$$\begin{aligned} \mathrm{tr}(\mathcal{D}_N^2) &= \mathrm{tr}(Y'_N Y_N^{-1} + Y_N T'_N Y_N^{-1})^2 \\ &= \mathrm{tr}((Y'_N Y_N^{-1})^2) + 2 \mathrm{tr}(Y_N^{-1} Y'_N T'_N) + \mathrm{tr}((T'_N)^2) \\ &= \mathrm{tr}((Y'_N Y_N^{-1})^2) + 2 \left(\frac{N}{x} - \frac{1}{2} \sum_{k=0}^d t_{k+1} x^k \right) \mathrm{tr}(Y_N^{-1} Y'_N \boldsymbol{\sigma}_3) \\ &\quad + 2 \left(\frac{N}{x} - \frac{1}{2} V'(x) \right)^2 \\ &= \frac{1}{2} (V'(x))^2 - \frac{2N}{x} V'(x) + \left(\frac{2N}{x} - \sum_{k=0}^d t_{k+1} x^k \right) \mathrm{tr}(Y_N^{-1} Y'_N \boldsymbol{\sigma}_3) \\ &\quad + \frac{2N^2}{x^2} + \mathrm{tr}((Y'_N Y_N^{-1})^2). \end{aligned}$$

因此

$$\begin{aligned} &\sum_{k=0}^{d-1} \left(\sum_{\ell=1}^{d-1-k} \ell t_{\ell+k+2} \frac{\partial \log \mathcal{Z}_N}{\partial t_\ell} \right) x^k + \frac{N t_1}{x} \\ &= \left(\frac{N}{x} - \frac{1}{2} \sum_{k=0}^d t_{k+1} x^k \right) \mathrm{tr}(Y_N^{-1} Y'_N \boldsymbol{\sigma}_3) + \frac{N^2}{x^2} + \frac{1}{2} \mathrm{tr}((Y'_N Y_N^{-1})^2). \end{aligned} \tag{4.63}$$

由(4.49)可知当 $x \rightarrow \infty$ 时 $Y'_N Y_N^{-1} = O(\frac{1}{x^2})$, 于是比较(4.63)两边在 $x = \infty$ 处 Laurent 展开式的 x^k ($0 \leq k \leq d-1$) 系数并注意(4.61)可知

$$\sum_{\ell=1}^{d-1-k} \ell t_{\ell+k+2} \frac{\partial \log \mathcal{Z}_N}{\partial t_\ell}$$

$$\begin{aligned}
&= -\operatorname{Res}_{x=\infty} \left(\left(\frac{N}{x} - \frac{1}{2} \sum_{\ell=0}^d t_{\ell+1} x^\ell \right) \operatorname{tr} (Y_N^{-1} Y'_N \sigma_3) \frac{dx}{x^{k+1}} \right) \\
&= \frac{1}{2} \sum_{\ell=1}^{d-1-k} t_{\ell+k+2} \operatorname{Res}_{x=\infty} \operatorname{tr} (Y_N^{-1} Y'_N x^\ell \sigma_3 dx) = \sum_{\ell=1}^{d-1-k} \ell t_{\ell+k+2} \frac{\partial \log \tau_N^{\operatorname{IM}}}{\partial t_\ell},
\end{aligned}$$

换言之,

$$\sum_{\ell=1}^{d-1-k} \ell t_{\ell+k+2} \frac{\partial}{\partial t_\ell} \left(\log \frac{\tau_N^{\operatorname{IM}}}{\mathcal{Z}_N} \right) = 0, \quad \forall 0 \leq k \leq d-1. \quad (4.64)$$

此外, 比较(4.63) 两边在 $x = \infty$ 处的 x^{-1}, x^{-2} 系数, 我们还能得到

$$\sum_{k=1}^d k t_{k+1} \frac{\partial \log \tau_N^{\operatorname{IM}}}{\partial t_k} = N t_1, \quad \sum_{k=1}^{d+1} k t_k \frac{\partial \log \tau_N^{\operatorname{IM}}}{\partial t_k} = -N^2,$$

再结合(2.39)–(2.40)可得

$$\sum_{k=1}^d k t_{k+1} \frac{\partial}{\partial t_k} \left(\log \frac{\tau_N^{\operatorname{IM}}}{\mathcal{Z}_N} \right) = 0, \quad (4.65)$$

$$\sum_{k=1}^{d+1} k t_k \frac{\partial}{\partial t_k} \left(\log \frac{\tau_N^{\operatorname{IM}}}{\mathcal{Z}_N} \right) = 0. \quad (4.66)$$

再由(4.64)可解得

$$\frac{\partial}{\partial t_1} \left(\log \frac{\tau_N^{\operatorname{IM}}}{\mathcal{Z}_N} \right) = \frac{\partial}{\partial t_2} \left(\log \frac{\tau_N^{\operatorname{IM}}}{\mathcal{Z}_N} \right) = \cdots = \frac{\partial}{\partial t_{d+1}} \left(\log \frac{\tau_N^{\operatorname{IM}}}{\mathcal{Z}_N} \right) = 0,$$

因此存在常数 C 使得(4.60)成立. 定理得证. \square

4.7 附录: 定理4.21的证明

本小节将通过暴力计算来证明定理4.21, 仅留给感兴趣的读者. 首先由性质4.20可知当 N 足够大时零曲率方程(4.13)–(4.16)成立. 而对于

一般的 $N \geq 1$, 我们先暴力验证递推关系(4.13)(4.14), 然后由此对 N 反向归纳以证明(4.15)(4.16), 从而完成最终证明. 我们分若干步进行:

1. 断言: 对任意 $N \geq 1$, 都成立

$$\mathcal{C}_{1;N+1} = \frac{\partial \mathcal{R}_N}{\partial t_1} \mathcal{R}_N^{-1} + \mathcal{R}_N \mathcal{C}_{1;N} \mathcal{R}_N^{-1}, \quad (4.67)$$

即(4.14)的 $k = 1$ 的情形成立. 这是因为, 由(4.53)可知

$$\mathcal{C}_{1;N} = \begin{pmatrix} \frac{x-S_{N-1}}{2} & -\gamma_N \\ \gamma_N & -\frac{x-S_N}{2} \end{pmatrix},$$

从而由(4.10)与(3.23)–(3.24)直接计算得

$$\begin{aligned} \mathcal{R}_N \mathcal{C}_{1;N} \mathcal{R}_N^{-1} &= \frac{1}{2} \begin{pmatrix} x - S_N & -2\gamma_{N+1} \\ \frac{(x-S_N)(S_{N-1}-S_N)+2\gamma_N^2}{\gamma_{N+1}} & 2S_N - S_{N-1} - x \end{pmatrix}, \\ \frac{\partial \mathcal{R}_N}{\partial t_1} &= \begin{pmatrix} 0 & 0 \\ U & V \end{pmatrix}, \end{aligned}$$

$$\text{其中} \quad \begin{cases} U := -\frac{1}{2} \frac{\gamma_N}{\gamma_{N+1}} (S_{N-1} - 2S_N + S_{N+1}), \\ V := \frac{1}{\gamma_{N+1}} (\gamma_{N+1}^2 - \gamma_N^2 - \frac{1}{2}(S_N - S_{N+1})(x - S_N)), \end{cases}$$

因此直接计算得

$$\mathcal{R}_N \mathcal{C}_{1;N} \mathcal{R}_N^{-1} + \frac{\partial \mathcal{R}_N}{\partial t_1} \mathcal{R}_N^{-1} = \begin{pmatrix} \frac{x-S_N}{2} & -\gamma_{N+1} \\ \gamma_{N+1} & -\frac{x-S_{N+1}}{2} \end{pmatrix} = \mathcal{C}_{1;N+1}.$$

2. 断言: 给定正整数 N , 则对任意 $1 \leq k \leq d$ 都有

$$\mathcal{C}_{k+1;N} = \frac{k}{k+1} x \mathcal{C}_{k;N} + \mathcal{W}_{k;N}, \quad (4.68)$$

$$\begin{aligned} \mathcal{W}_{k;N} := & \frac{1}{2(k+1)} \begin{pmatrix} xS_{N-1}^{(k)} - S_{N-1}^{(k+1)} & 0 \\ 0 & S_N^{(k+1)} - xS_N^{(k)} \end{pmatrix} \\ & + \frac{\gamma_N}{k+1} \begin{pmatrix} \gamma_N^{(k)} & -S_{N-1}^{(k)} \\ S_N^{(k)} & -\gamma_N^{(k)} \end{pmatrix}, \end{aligned} \quad (4.69)$$

其中 $S_N^{(k)}, \gamma_N^{(k)}$ 见(3.22). 这由 $\mathcal{C}_{k;N}$ 的定义(4.53)直接验证即可.

3. 断言: 对任意 $N \geq 1$ 以及 $1 \leq k \leq d+1$, 成立

$$\mathcal{C}_{k;N+1} = \frac{\partial \mathcal{R}_N}{\partial t_k} \mathcal{R}_N^{-1} + \mathcal{R}_N \mathcal{C}_{k;N} \mathcal{R}_N^{-1},$$

即零曲率方程(4.14)成立. 为证此断言, 我们对 k 归纳. 起始步 $k=1$ 已证明; 对任意 $k \geq 1$, 若此断言对 k 成立, 则由该归纳假设以及(4.68)可得

$$\begin{aligned} \mathcal{C}_{k+1;N+1} &= \frac{kx}{k+1} \mathcal{C}_{k;N+1} + \mathcal{W}_{k;N+1} \\ &= \frac{kx}{k+1} \left(\frac{\partial \mathcal{R}_N}{\partial t_k} \mathcal{R}_N^{-1} + \mathcal{R}_N \mathcal{C}_{k;N} \mathcal{R}_N^{-1} \right) + \mathcal{W}_{k;N+1} \\ &= \frac{kx}{k+1} \frac{\partial \mathcal{R}_N}{\partial t_k} \mathcal{R}_N^{-1} + \mathcal{R}_N (\mathcal{C}_{k+1;N} - \mathcal{W}_{k;N}) \mathcal{R}_N^{-1} + \mathcal{W}_{k;N+1}, \end{aligned}$$

因此我们只需验证等式

$$\frac{\partial \mathcal{R}_N}{\partial t_{k+1}} = \frac{kx}{k+1} \frac{\partial \mathcal{R}_N}{\partial t_k} + \mathcal{W}_{k;N+1} \mathcal{R}_N - \mathcal{R}_N \mathcal{W}_{k;N}. \quad (4.70)$$

上式可通过(3.23)–(3.24)以及相关定义直接暴力验证, 在其计算验证过程中需要注意

$$\begin{aligned} S_N^{(k+1)} &= (\mathbf{Q} \cdot \mathbf{Q}^k)_{NN} \\ &= \gamma_N \gamma_N^{(k)} + \gamma_{N+1} \gamma_{N+1}^{(k)} + S_N S_N^{(k)} \end{aligned}$$

以及

$$\begin{aligned}
& \gamma_{N+1}\gamma_{N+1}^{(k+1)} - \gamma_N\gamma_N^{(k+1)} \\
&= \gamma_{N+1}(\mathbf{Q} \cdot \mathbf{Q}^k)_{N,N+1} - \gamma_N(\mathbf{Q}^k \cdot \mathbf{Q})_{N-1,N} \\
&= \gamma_{N+1} \left(\gamma_N(\mathbf{Q}^k)_{N-1,N+1} + S_N\gamma_{N+1}^{(k)} + \gamma_{N+1}S_{N+1}^{(k)} \right) \\
&\quad - \gamma_N \left(S_{N-1}^{(k)}\gamma_N + \gamma_N^{(k)}S_N + (\mathbf{Q}^k)_{N-1,N+1}\gamma_{N+1} \right) \\
&= S_N \left(\gamma_{N+1}\gamma_{N+1}^{(k)} - \gamma_N\gamma_N^{(k)} \right) + \left(S_{N+1}^{(k)}\gamma_{N+1}^2 - S_{N-1}^{(k)}\gamma_N^2 \right).
\end{aligned}$$

具体计算细节留给感兴趣者, 这里从略.

4. 对任意 $N \geq 1$, 由(4.18)与(4.54)可知

$$\begin{aligned}
\mathcal{D}_{N+1} &= \sum_{k=1}^d kt_{k+1}\mathcal{C}_{k;N+1} \\
&= \sum_{k=1}^d kt_{k+1} \left(\frac{\partial \mathcal{R}_N}{\partial t_k} \mathcal{R}_N^{-1} + \mathcal{R}_N \mathcal{C}_{k;N} \mathcal{R}_N^{-1} \right) \\
&= \mathcal{R}'_N \mathcal{R}_N^{-1} + \mathcal{R}_N \mathcal{D}_N \mathcal{R}_N^{-1}.
\end{aligned}$$

至此, 我们已完成(4.13)–(4.14)的证明.

5. 最后我们来验证零曲率方程(4.15)–(4.16), 从而最终完成定理证明. 对 N 反向归纳: 当 N 足够大时, 性质4.20表明(4.16)成立; 若(4.16)对 $N+1$ 成立, 则由

$$\mathcal{C}_{k;N} = \mathcal{R}_N^{-1} \mathcal{C}_{k;N+1} \mathcal{R}_N - \mathcal{R}_N^{-1} \frac{\partial \mathcal{R}_N}{\partial t_k}$$

可知

$$\frac{\partial \mathcal{C}_{j;N}}{\partial t_k} = \frac{\partial}{\partial t_k} \left(\mathcal{R}_N^{-1} \mathcal{C}_{j;N+1} \mathcal{R}_N - \mathcal{R}_N^{-1} \frac{\partial \mathcal{R}_N}{\partial t_j} \right)$$

$$\begin{aligned}
&= \left[\mathcal{R}_N^{-1} \mathcal{C}_{j;N+1} \mathcal{R}_N, \mathcal{R}_N^{-1} \frac{\partial \mathcal{R}_N}{\partial t_k} \right] - \mathcal{R}_N^{-1} \frac{\partial^2 \mathcal{R}_N}{\partial t_j \partial t_k} \\
&\quad + \mathcal{R}_N^{-1} \frac{\partial \mathcal{C}_{j;N+1}}{\partial t_k} \mathcal{R}_N + \mathcal{R}_N^{-1} \frac{\partial \mathcal{R}_N}{\partial t_k} \mathcal{R}_N^{-1} \frac{\partial \mathcal{R}_N}{\partial t_j},
\end{aligned}$$

结合归纳假设可得

$$\begin{aligned}
&\frac{\partial \mathcal{C}_{j;N}}{\partial t_k} - \frac{\partial \mathcal{C}_{k;N}}{\partial t_j} \\
&= \left[\mathcal{R}_N^{-1} \mathcal{C}_{j;N+1} \mathcal{R}_N, \mathcal{R}_N^{-1} \frac{\partial \mathcal{R}_N}{\partial t_k} \right] + \left[\mathcal{R}_N^{-1} \frac{\partial \mathcal{R}_N}{\partial t_j}, \mathcal{R}_N^{-1} \mathcal{C}_{k;N+1} \mathcal{R}_N \right] \\
&\quad + \mathcal{R}_N^{-1} \left(\frac{\partial \mathcal{C}_{j;N+1}}{\partial t_k} - \frac{\partial \mathcal{C}_{k;N+1}}{\partial t_j} \right) \mathcal{R}_N \\
&\quad - \left[\mathcal{R}_N^{-1} \frac{\partial \mathcal{R}_N}{\partial t_j}, \mathcal{R}_N^{-1} \frac{\partial \mathcal{R}_N}{\partial t_k} \right] \\
&= \left[\mathcal{R}_N^{-1} \mathcal{C}_{j;N+1} \mathcal{R}_N, \mathcal{R}_N^{-1} \frac{\partial \mathcal{R}_N}{\partial t_k} \right] + \left[\mathcal{R}_N^{-1} \frac{\partial \mathcal{R}_N}{\partial t_j}, \mathcal{R}_N^{-1} \mathcal{C}_{k;N+1} \mathcal{R}_N \right] \\
&\quad - \mathcal{R}_N^{-1} [\mathcal{C}_{j;N+1}, \mathcal{C}_{k;N+1}] \mathcal{R}_N - \left[\mathcal{R}_N^{-1} \frac{\partial \mathcal{R}_N}{\partial t_j}, \mathcal{R}_N^{-1} \frac{\partial \mathcal{R}_N}{\partial t_k} \right] \\
&= - \left[\mathcal{R}_N^{-1} \mathcal{C}_{j;N+1} \mathcal{R}_N - \mathcal{R}_N^{-1} \frac{\partial \mathcal{R}_N}{\partial t_j}, \mathcal{R}_N^{-1} \mathcal{C}_{k;N+1} \mathcal{R}_N - \mathcal{R}_N^{-1} \frac{\partial \mathcal{R}_N}{\partial t_k} \right] \\
&= - [\mathcal{C}_{j;N}, \mathcal{C}_{k;N}].
\end{aligned}$$

同理也能证明(4.15). 综上所述, 定理4.21得证.

5. KP 方程簇与 Hirota 双线性方程

本章我们考虑无穷多个时间变量

$$V(\mathbf{t}; x) = \sum_{k=1}^{\infty} \frac{t_k}{k} x^k$$

的情形, 即回到(3.14). 此时记 $\mathbf{t} = (t_1, t_2, t_3, \dots)$.

5.1 正交多项式的 Sato 公式

正交多项式 $p_N = p_N(\mathbf{t}; x)$ 与配分函数 $\mathcal{Z}_N(\mathbf{t})$ 满足如下关系:

定理 5.1. (正交多项式的 Sato 公式) 记号承上, 则对 $N \geq 1$ 成立

$$p_N(\mathbf{t}; x) = x^N \frac{\mathcal{Z}_N(\mathbf{t} + \llbracket x \rrbracket)}{\mathcal{Z}_N(\mathbf{t})}, \quad (5.1)$$

其中对于参数 x , 引入记号

$$\llbracket x \rrbracket := \left(\frac{1}{x}, \frac{1}{x^2}, \frac{1}{x^3}, \dots \right). \quad (5.2)$$

证明. 由正交多项式的 Heine 公式(2.7)直接计算得

$$\begin{aligned} p_N(x) &= \frac{1}{N! \mathcal{Z}_N(\mathbf{t})} \int_{\gamma^N} \Delta(\lambda_0, \dots, \lambda_{N-1})^2 \prod_{i=0}^{N-1} (x - \lambda_i) e^{-V(\lambda_i)} d\lambda_i \\ &= \frac{x^N}{N! \mathcal{Z}_N(\mathbf{t})} \int_{\gamma^N} \Delta(\lambda_0, \dots, \lambda_{N-1})^2 \prod_{i=0}^{N-1} e^{\log(1 - \frac{\lambda_i}{x}) - V(\lambda_i)} d\lambda_i \\ &= \frac{x^N}{N! \mathcal{Z}_N(\mathbf{t})} \int_{\gamma^N} \Delta(\lambda_0, \dots, \lambda_{N-1})^2 \prod_{i=0}^{N-1} e^{-\sum_{k=1}^{\infty} \frac{\lambda_i^k}{k} (t_k + \frac{1}{x^k})} d\lambda_i \\ &= x^N \frac{\mathcal{Z}_N(\mathbf{t} + \llbracket x \rrbracket)}{\mathcal{Z}_N(\mathbf{t})}, \end{aligned}$$

从而得证. □

若熟悉 **KP 方程簇** 的相关理论 (例如 [14]), 则从(5.1)容易看出 $\mathcal{Z}_N(\mathbf{t})$ 似乎扮演了 KP 方程簇的 **tau 函数** 的角色. 我们将在后文继续讨论之.

习题 5.2. 对于 $N \geq 1$, 用完全类似的方法验证如下 Sato 型公式:

$$\frac{e^{-\frac{1}{2}V(\mathbf{t};x)}}{\sqrt{h_{N-1}(\mathbf{t})}}\varphi_{N-1}(\mathbf{t};x) = x^{-N} \frac{\mathcal{Z}_N(\mathbf{t} - \llbracket x \rrbracket)}{\mathcal{Z}_N(\mathbf{t})}, \quad (5.3)$$

$$K_N(\mathbf{t}; x, y) = \frac{e^{-\frac{1}{2}V(\mathbf{t};x)}e^{-\frac{1}{2}V(\mathbf{t};y)}}{h_{N-1}(\mathbf{t})}x^{N-1}y^{N-1} \frac{\mathcal{Z}_{N-1}(\mathbf{t} + \llbracket x \rrbracket + \llbracket y \rrbracket)}{\mathcal{Z}_{N-1}(\mathbf{t})}, \quad (5.4)$$

其中 φ_N 与 K_N 的定义分别见(4.33)与(1.36).

提示. 用相应的 Heine 公式(4.42)(2.28)即可. □

5.2 双线性方程

将 $p_N(\mathbf{t}; x)$ 的正交性与 Sato 公式(5.1)相结合, 能够导出配分函数 $\mathcal{Z}_N(\mathbf{t})$ 自身所满足的某些约束条件, 即所谓 **Hirota 双线性方程**.

给定参数 $\mathbf{u} = (u_1, u_2, u_3, \dots)$, 我们记

$$V^+(\mathbf{t}; x) := \sum_{k \geq 1} \frac{t_k + u_k}{k} x^k = V(\mathbf{t} + \mathbf{u}; x), \quad (5.5)$$

$$V^-(\mathbf{t}; x) := \sum_{k \geq 1} \frac{t_k - u_k}{k} x^k = V(\mathbf{t} - \mathbf{u}; x), \quad (5.6)$$

相应的正交多项式及其相关数据类似记作 $p_N^\pm, \varphi_N^\pm, h_N^\pm$ 等等. 则由多项式 $p_n^\pm(x)$ 的正交性可以得到:

定理 5.3. 记号承上, 则对任意 \mathbf{t}, \mathbf{u} 以及任意 $0 \leq m \leq n$, 配分函数 \mathcal{Z}_N 满足如下双线性方程:

$$\begin{aligned} & \delta_{mn} \mathcal{Z}_n(\mathbf{t} + \mathbf{u}) \mathcal{Z}_{m+1}(\mathbf{t} - \mathbf{u}) \\ &= - \operatorname{Res}_{x=\infty} \left(\frac{dx}{x^{m+1-n}} e^{2 \sum_{k=1}^{\infty} \frac{u_k}{k} x^k} \mathcal{Z}_n(\mathbf{t} - \mathbf{u} + \llbracket x \rrbracket) \mathcal{Z}_{m+1}(\mathbf{t} + \mathbf{u} - \llbracket x \rrbracket) \right) \end{aligned} \quad (5.7)$$

证明. 对于 $m \leq n$, 由 $\{p_N^-\}$ 的正交性以及(5.1)–(5.3)可得

$$\begin{aligned}
h_m^- \delta_{mn} &= \int_{\gamma} p_n^-(y) p_m^+(y) e^{-V^-(y)} dy \\
&= \int_{\gamma} \operatorname{Res}_{x=y} \left(\frac{dx}{x-y} e^{V^+(x)-V^-(x)} p_n^-(x) \right) p_m^+(y) e^{-V^+(y)} dy \\
&= - \int_{\gamma} \operatorname{Res}_{x=\infty} \left(\frac{dx}{x-y} e^{V^+(x)-V^-(x)} p_n^-(x) \right) p_m^+(y) e^{-V^+(y)} dy \\
&= - \operatorname{Res}_{x=\infty} \left(e^{V^+(x)-V^-(x)} p_n^-(x) dx \int_{\gamma} \frac{p_m^+(y)}{x-y} e^{-V^+(y)} dy \right) \\
&= - \sqrt{h_m^+} \operatorname{Res}_{x=\infty} \left(e^{\frac{1}{2}V^+(x)-V^-(x)} p_n^-(x) \varphi_m^+(x) dx \right) \\
&= - \sqrt{h_m^+} \operatorname{Res}_{x=\infty} \left(e^{\frac{1}{2}V^+(x)-V^-(x)} x^n \frac{\mathcal{Z}_n(\mathbf{t} - \mathbf{u} + \llbracket x \rrbracket)}{\mathcal{Z}_n(\mathbf{t} - \mathbf{u})} \right. \\
&\quad \left. \times \sqrt{h_m^+} e^{\frac{1}{2}V^+(x)} \frac{\mathcal{Z}_{m+1}(\mathbf{t} + \mathbf{u} - \llbracket x \rrbracket)}{\mathcal{Z}_{m+1}(\mathbf{t} + \mathbf{u})} \frac{dx}{x^{m+1}} \right),
\end{aligned}$$

由此得到

$$\begin{aligned}
&\delta_{mn} \mathcal{Z}_n(\mathbf{t} - \mathbf{u}) \mathcal{Z}_{m+1}(\mathbf{t} + \mathbf{u}) \\
&= - \frac{h_m^+}{h_m^-} \operatorname{Res}_{x=\infty} \left(\frac{dx}{x^{m+1-n}} e^{2 \sum_{k=1}^{\infty} \frac{u_k}{k} x^k} \mathcal{Z}_n(\mathbf{t} - \mathbf{u} + \llbracket x \rrbracket) \mathcal{Z}_{m+1}(\mathbf{t} + \mathbf{u} - \llbracket x \rrbracket) \right).
\end{aligned}$$

再注意

$$\begin{aligned}
&\delta_{mn} \mathcal{Z}_n(\mathbf{t} - \mathbf{u}) \mathcal{Z}_{m+1}(\mathbf{t} + \mathbf{u}) = \delta_{mn} (h_0^- \cdots h_{m-1}^-) (h_0^+ \cdots h_m^+) \\
&= \delta_{mn} \mathcal{Z}_n(\mathbf{t} + \mathbf{u}) \mathcal{Z}_{m+1}(\mathbf{t} - \mathbf{u}) \frac{h_m^+}{h_m^-},
\end{aligned}$$

从而定理得证. □

5.3 Hirota 导数与 KP 方程

引入一元光滑函数空间 $C^\infty(\mathbb{R})$ 上的 **Hirota** 双线性导数

$$\begin{aligned} D_x: C^\infty(\mathbb{R}) \times C^\infty(\mathbb{R}) &\rightarrow C^\infty(\mathbb{R}), \\ (f, g) &\mapsto D_x f \cdot g \end{aligned} \quad (5.8)$$

如下:

$$\begin{aligned} (D_x f \cdot g)(x) &:= \left. \frac{d}{dy} \right|_{y=0} f(x+y)g(x-y) \\ &= f'(x)g(x) - f(x)g'(x). \end{aligned} \quad (5.9)$$

上式可以改写为如下更紧凑的形式

$$D_x f \cdot g = f(\overleftarrow{\partial}_x - \overrightarrow{\partial}_x)g, \quad (5.10)$$

由此可见

$$D_x = \overleftarrow{\partial}_x - \overrightarrow{\partial}_x. \quad (5.11)$$

对于正整数 n , 自然令 $D_x^n := (\overleftarrow{\partial}_x - \overrightarrow{\partial}_x)^n$, 例如

$$D_x^2 f \cdot g = f''g - 2f'g' + fg''.$$

与前文所述平移算子 Λ 完全类似 (见注记3.17), 泰勒展开易知

$$f(x+y)g(x-y) = (e^{yD_x} f \cdot g)(x), \quad (5.12)$$

这可以看作 **Hirota** 双线性导数 D_x 的等价定义. 此外容易验证, 对任意多项式 $P \in \mathbb{C}[x]$ 都有

$$P(D_x)f \cdot g = P(-D_x)g \cdot f, \quad (5.13)$$

特别地, 当 n 为奇数时 $D_x^n f \cdot f = 0$.

多元函数 (乃至关于无穷多个变量的函数) 的 Hirota 导数可以完全类似定义, 即某一类 “平移算子” 的无穷小生成元. 容易验证, 双线性方程(5.7)可改写为如下紧凑形式:

$$\delta_{mn} e^{D_u} (\mathcal{Z}_n \cdot \mathcal{Z}_{m+1}) = - \operatorname{Res}_{x=\infty} \left(\frac{dx}{x^{m+1-n}} e^{2 \sum_{k=1}^{\infty} \frac{u_k}{k} x^k} e^{-D_u + D_{[x]}} \mathcal{Z}_n \cdot \mathcal{Z}_{m+1} \right),$$

其中等号两边视为关于 \mathbf{t} 的函数, 且

$$D_u := \sum_{k=1}^{\infty} u_k D_{t_k}, \quad D_{[x]} := \sum_{k=1}^{\infty} \frac{D_{t_k}}{x^k}. \quad (5.14)$$

特别地, 当 $m+1=n$ 时我们有

$$\begin{aligned} 0 &= - \operatorname{Res}_{x=\infty} \left(e^{2 \sum_{k=1}^{\infty} \frac{u_k}{k} x^k} e^{D_{[x]} - D_u} \mathcal{Z}_n \cdot \mathcal{Z}_n dx \right) \\ &= \frac{1}{2\pi i} \oint e^{2 \sum_{k=1}^{\infty} \frac{u_k}{k} x^k} \mathcal{Z}_n(\mathbf{t} - \mathbf{u} + [x]) \mathcal{Z}_n(\mathbf{t} + \mathbf{u} - [x]) dx. \end{aligned} \quad (5.15)$$

习题 5.4. 任意给定非负整数序列 (多重指标) $\mu = (\mu_1, \mu_2, \dots)$, 证明

$$\operatorname{Res}_{x=\infty} \left(e^{D_{[x]}} \prod_{k=1}^{\infty} \left(\frac{2x^k}{k} - D_{t_k} \right)^{\mu_k} \mathcal{Z}_n \cdot \mathcal{Z}_n dx \right) = 0. \quad (5.16)$$

证明. 比较(5.15)两边 $\prod_{k=1}^{\infty} \frac{u_k^{\mu_k}}{\mu_k!}$ 项的系数即可. □

例如, 比较 u_1^3 的系数, 即 $\mu = (3, 0, 0, \dots)$ 的情形, 我们有

$$\operatorname{Res}_{x=\infty} \left(e^{D_{[x]}} (2x - D_{t_1})^3 \mathcal{Z}_n \cdot \mathcal{Z}_n dx \right) = 0,$$

直接计算此留数 (建议用计算机) 并注意(5.13), 可将上式化为

$$\left(\frac{1}{3} D_{t_1}^4 - 4 D_{t_1} D_{t_3} + 4 D_{t_2}^2 \right) \mathcal{Z}_n \cdot \mathcal{Z}_n = 0, \quad (5.17)$$

若记

$$v := 2 \frac{\partial^2 \log \mathcal{Z}_n}{\partial t_1^2},$$

则(5.17)可改写为

$$\partial_{t_2}^2 v + \partial_{t_1} \left(\frac{1}{2} \partial_{t_1}^3 v - \frac{1}{2} v \partial_{t_1} v - \partial_{t_3} v \right) = 0,$$

这正是可积系统中著名的 **KP 方程**.

参考文献

- [1] Adler M. *On a trace functional for formal pseudo-differential operators and the symplectic structure of the Korteweg-deVries type equations* [J]. *Inventiones mathematicae*, 1978, 50: 219-248.
- [2] Akemann G, Baik J, Di Francesco P. *The Oxford handbook of random matrix theory* [M]. Oxford University Press, 2011.
- [3] Babelon O, Bernard D, Talon M. *Introduction to classical integrable systems* [M]. Cambridge University Press, 2003.
- [4] Bergere M, Eynard B. *Mixed correlation function and spectral curve for the 2-matrix model* [J]. *Journal of Physics A: Mathematical and General*, 2006, 39(49): 15091.
- [5] Bertola M, Eynard B, Harnad J. *Partition functions for matrix models and isomonodromic tau functions* [J]. *Journal of Physics A: Mathematical and General*, 2003, 36(12): 3067.
- [6] Bertola M, Eynard B, Harnad J. *Semiclassical orthogonal polynomials, matrix models and isomonodromic tau functions* [J]. *Communications in mathematical physics*, 2006, 263(2): 401-437.
- [7] Carlet G, Dubrovin B, Zhang Y. *The extended Toda hierarchy* [J]. *arXiv preprint nlin/0306060*, 2003.
- [8] Deift P. *Orthogonal polynomials and random matrices: A Riemann-Hilbert approach* [M]. American Mathematical Society, 2000.

- [9] Dubrovin B, Liu S Q, Yang D, Zhang Y. *Hodge-GUE correspondence and the discrete KdV equation* [J]. Communications in Mathematical Physics, 2020, 379: 461-490.
- [10] Eynard B, Kimura T, Ribault S. *Random matrices* [J]. arXiv preprint arXiv:1510.04430, 2015.
- [11] Flaschka H. *The Toda lattice. II. Existence of integrals* [J]. Physical Review B, 1974, 9(4): 1924.
- [12] Gerasimov A, Marshakov A, Mironov A, Morozov A, Orlov A. *Matrix models of two-dimensional gravity and Toda theory* [J]. Nuclear Physics B, 1991, 357(2-3): 565-618.
- [13] Hirota R. *The direct method in soliton theory* [M]. Cambridge University Press, 2004.
- [14] Jimbo M, Miwa T, Date E. *Solitons: Differential equations, symmetries and infinite dimensional algebras* [M]. Cambridge university press, 2000.
- [15] Jimbo M, Miwa T, Ueno K. *Monodromy preserving deformation of linear ordinary differential equations with rational coefficients: I. General theory and τ -function* [J]. Physica D: Nonlinear Phenomena, 1981, 2(2): 306-352.
- [16] Kostant B. *The solution to a generalized Toda lattice and representation theory* [J]. Advances in Mathematics, 1979, 34(3): 195-338.
- [17] Menon G, Trogdon T. *Lectures on random matrix theory* [J]. unpublished notes (March 2018), 2015.

- [18] Morozov A Y. *Integrability and matrix models* [J]. Physics-Uspekhi, 1994, 37(1): 1.
- [19] Rudolph G, Schmidt M, Schmidt M. *Differential geometry and mathematical physics* [M]. Springer, 2012.
- [20] Symes W W. *Systems of Toda type, inverse spectral problems, and representation theory* [J]. Inventiones mathematicae, 1980, 59(1): 13-51.
- [21] Toda M. *Wave propagation in anharmonic lattices* [J]. Journal of the Physical Society of Japan, 1967, 23(3): 501-506.
- [22] Witten E. *Two-dimensional gravity and intersection theory on moduli space* [J]. Surveys in differential geometry, 1990, 1(1): 243-310.